



機器分析分野

Division of Instrumental Analysis

〒501-1193 岐阜市柳戸 1 番 1

E-mail : kiki@gifu-u.ac.jp

TEL : 058-293-2035

FAX : 058-293-2036

目 次

1 新任教員の挨拶	95
2 組織	
1. 沿革	96
2. 教職員	96
3. 協力員および協力補助員	96
機器分析分野協力員に関する申し合わせ	96
3 機器紹介	
1. 機器一覧	99
柳戸施設 (99) 医学施設 (100)	
2. 機器配置図	100
柳戸施設 (100) 医学施設 (102)	
3. 機器紹介	102
柳戸施設 (102) 医学施設 (116)	
4. 新機種紹介	119
4 利用の手引き	
1. 機器分析分野利用の手順	122
2. 計測機器の利用に関する申合せ	122
別表1 利用者資格 柳戸施設 (124) 医学施設 (126)	
別表2 機器分析分野利用申請書 柳戸施設 (127) 医学施設 (129)	
別表3 時間外利用	131
3. 受託試験	132
別表 試験等の基本利用料金	133
4. 受託試験等の手続き	134
別紙様式第1号 岐阜大学生命科学総合研究支援センター受託試験依頼書	135
別紙様式第2号 岐阜大学生命科学総合研究支援センター機器等使用申請書	136
5 活動報告	137
1. 機器の利用状況	137
柳戸施設 (137) 医学施設 (145)	
別表 平成23年度 機器分析装置登録者数	146
2. 講習会・講演会等	148
平成23年度 第17回 中学生のための大型機器高度利用公開セミナー	151
平成23年度 第18回 大型機器高度利用公開セミナー	152
3. 利用者研究論文一覧	153
4. 分野教員の教育・研究活動等	157

1 新任教員の挨拶

新任教員の挨拶

機器分析分野 助教 鎌足 雄司

昨年度のはじめ、岐阜大学・人獣感染防御研究センターの廃止に伴い、人獣感染防御研究センターに設置されていた大型の構造生物学研究用機器とともに、生命科学総合研究支援センター・機器分析分野に異動してきました。どうぞよろしく申し上げます。現在、私は医学部棟7Fの機器分析分野・医学施設のオフィスにおり、柳戸施設側から移動してきた犬塚俊康助教とともに、これらの機器の管理や共同利用のサポートをしています。

これらの構造生物学研究用機器は、医学部棟及びその隣の生命科学棟にあり、共同利用されています。特筆すべき装置は、極低温プローブ付きの800MHz核磁気共鳴分光装置（NMR）であり、高感度・高分解能で、世界と十分に競争できる最新の装置です。NMRの特徴は、溶液状態で原子一つ一つを区別して試みる事が出来ることです。この高感度・高分解能の装置により、岐阜大学で生体高分子を対象とした原子レベルの研究が展開できるようになりました。またNMR以外にも、岐阜大学では唯一の、タンパク質用X線結晶回折装置、クライオステージ付きの透過型電子顕微鏡装置等もあります。いずれも最先端の優れた装置です。これらの高価な装置が有効に最大限に利用されるよう努力しています。興味をお持ちの方はお気軽にご連絡ください。

私の主な研究対象はタンパク質であり、上記のような構造生物学研究設備を用い、タンパク質の構造、揺らぎ、相互作用を研究しています。特に最近、プリオンタンパク質の構造変換機構の解明や治療薬開発研究を行ってきました。今後はこれ以外にも、岐阜の地に構造生物学・構造医学・論理的創薬研究を根付かせ発展させていくための共同研究をどんどん展開していきたいと思っています。

どうぞよろしく申し上げます。

2 組織

1. 沿革

昭和55年度 岐阜大学統合移転に伴い、学内共同岐阜大学情報・計測センターを設置。
昭和58年度 岐阜大学計測センター及び岐阜大学情報処理センターに改組。
平成9年度 省令化に伴い、岐阜大学機器分析センターとして新たに発足。
平成15年度 センター統合により生命科学総合実験センター機器分析分野に改名。
平成16年度 大型精密機器高度利用公開セミナー開始。学外向けの受託試験制度を整備。
平成17年度 生命科学総合研究支援センターへ名称変更。
平成23年度 人獣感染防御センターから機器移管により、医学施設を設置。

2. 教職員 ()内は内線番号

(1) 専任教員

准教授(分野長) 近江 靖則 (2037)
助教 鎌足 雄司 (6151)
助教 犬塚 俊康 (6152)

(2) 職員

技術職員 玉川 博康 (2035)
技術補佐員 杉山 知美 (2035)

3. 協力員・協力補助員

機器分析分野協力員に関する申し合わせ

(趣旨)

第1条 この申し合わせは、岐阜大学生命科学総合研究支援センター(以下「センター」という。)に置く機器分析分野協力員(以下「協力員」という。)に関し、必要な事項を定める。

(定義)

第2条 協力員は、センターの機器分析分野が所有する機器及び設備(以下「機器等」という。)を、責任をもって取扱うことができる者とする。

(組織)

第3条 協力員は、機器ごとに置き、センター長が推薦する岐阜大学の専任の教員をもって充て、学長が委嘱する。

(責任者)

第4条 協力員の互選により担当する機器ごとの責任者(以下「責任者」という。)を選出する。

(任務)

第5条 協力員は、センターの教職員と協力して次の内容を協議し、業務を行う。

- ① 機器等の原理・使用法に関する講習会等に関すること。
- ② 機器等の維持管理に関すること。
- ③ 機器等の使用法等相談に関すること。
- ④ その他、機器等の円滑な運用に関すること。

【柳戸施設】 電子スピン共鳴装置 (JES-FA 100・ESR) 【医学施設】 電子スピン共鳴装置 (EMX Micro-6/1・ESR)	◎山家 光男 杳水 祥一 山内 亮 桑田 一夫	3052 2573 2930 6143	工学部 〃 応用生物科学部 連合創薬
【柳戸施設】 誘導結合プラズマ発光分析装置 (ULTIMA2 堀場)	◎櫻田 修 粕谷 志郎 小村 賢一 宮本 学 小山 博之 八代田 真人	2574 3073 2600 2588 2911 2867	工学部 地域科学部 工学部 〃 応用生物科学部 〃
【柳戸施設】 走査型プローブ顕微鏡システム (SPI 3800・SPM)	◎武野 明義 大矢 豊 石黒 亮 松木 伸行	2629 2589 2607 2693	工学部 〃 〃 〃
【柳戸施設】 超高速度現象解析システム (UHC・HV・II・PG・TC)	◎高橋 周平 今尾 茂樹 宮坂 武志	2539 2521 2523	工学部 〃 〃
【柳戸施設】 蛍光分光光度計 蛍光寿命測定装置 (Quantaurus-Tau) 絶対 PL 量子収率測定装置 (Quantaurus-Qy) 分光蛍光光度計 (FP-8600)	◎山家 光男 亀山 啓一 窪田 裕大 桑田 一夫	3052 2608 2596 6145	工学部 〃 〃 連合創薬
【柳戸施設】 小型機器 (UV-Vis・FT-IR・顕微 FT-IR・ReactIR・IlluminatIR・CD・旋光度計)	◎杳水 祥一 佐藤 節子 恵良 聖一 石黒 亮 芝原 文利 柳瀬 笑子	2573 2254 6239 2607 2616 2914	工学部 教育学部 医学部 工学部 〃 応用生物科学部
【柳戸施設】 有機微量元素分析装置 (CHNOS) (JMS-10、JMSU 10)	◎吉松 三博 古山 浩子 瀨瀬 守 海老原昌弘 船曳 一正 喜多村徳昭	2251 6505 2619 2572 2599 2641	教育学部 医学部 工学部 〃 〃 〃
【柳戸施設】 顕微レーザーラマン分光システム (NRS-1000)	◎久米 徹二 武野 明義 神原 信志	2681 2629 2581	工学部 〃 〃
【柳戸施設】 熱分析システム (DSC・TMA・TG-DTA) (EXSTAR-6000) レオメーター (AR-G II KG) 動的粘弾性測定装置 (DMA Q 800 KG)	◎杳水 祥一 武野 明義 櫻田 修 木村 浩 宮本 学 西津 貴久 岩本 悟志	2573 2629 2574 2622 2588 2888 2924	工学部 〃 〃 〃 〃 〃 応用生物科学部 〃
【柳戸施設】 フェムト秒ファイバーレーザー (BS-60-YS) テラヘルツ分光走査型顕微鏡	◎吉田 弘樹 山家 光男	2706 3052	工学部 〃
【柳戸施設】 3次元物質微細構造解析システム X線マイクロCTスキャン (Skyscan 1172) 粒子径・粒子形状測定装置 (FPIA-3000) (ゼータサイザーナノ ZS) デジタルマイクロスコープ (ライカ DVM-5000)	◎西津 貴久 武野 明義 伴 隆幸 植松 美彦 吉田 道之 岩本 悟志 中野 浩平 桑田 一夫	2888 2629 2585 2501 2566 2924 2897 6145	応用生物科学部 工学部 〃 〃 〃 〃 応用生物科学部 〃 連合創薬
【医学施設】 X線結晶解析装置 (FR-E Super Bright)	◎海老原昌弘 海老原章郎 桑田 一夫	2572 2907 6145	工学部 応用生物科学部 連合創薬

3 機器紹介

1. 機器一覧

【柳戸施設】

H23. 4 現在

品名	納入年度	規格
1. 大型電子顕微鏡 (TEM) 大型電子顕微鏡 (TEM) STEM、EDX 付 ガラスナイフ作製器 〃 超ミクロトーム 真空蒸着装置 フリーズレプリカ装置 実体顕微鏡 イオンスパッタ ネオオスミウムコーター ディンプルグラインダー イオンミリング装置 精密イオンポリッシング装置 超音波ディスクカッター ダイヤモンドワイヤーソー スパッタコーター カーボンコーター 走査型電子顕微鏡 (FE-SEM) EDX 付 走査型電子顕微鏡 (N-SEM) 高分解能電界放出型走査電子顕微鏡 (FE-SEM)	H21年度 〃 S60年度 H9年度 〃 S59年度 S60年度 H9年度 H8年度 H17年度 H5年度 H19年度 H21年度 H22年度 〃 〃 〃 H14年度 H15年度 H19年度	日立 H-7000 日本電子 JEM-2100 三慶科学メッサー C ライカ ガラスナイフメーカー EM KMR ライカ ULTRACUT-UCT 日立 HUS-5GB 日立 HFZ-1 ニコン SMZ 日立 E-102、E-201 盟和商事 NE-01044 ガタン MODEL 656 N 日立 E-3500形 ガタン MODEL 601 ガタン MODEL 601 メイワフォーシス DWS3242 メイワフォーシス SC200 メイワフォーシス CADE-EHS 日立 S-4300、堀場 EMAX EX-220 日立 S-3000N 日立 S-4800
2. 走査型 X 線光電子分光分析装置	H19年度	アルバック・ファイ Quanterra SXM-GS
3. 高分解能質量分析装置 (MS) 〃 〃	H13年度 H15年度 〃	日本電子 GCmate 日本電子 JMS-700 日本電子 AMSUN200 (K9)
4. 液体クロマトグラフ	H15年度	Agilent1100 MS-52011LC
5. フーリエ変換核磁気共鳴装置 (FT-NMR) 内訳：500 MHz 400 MHz 600 MHz 固体測定補助装置付 (500 MHz)	H14年度 H18年度 〃 〃	日本電子 JNM ECA500 (500MHz) 日本電子 JNM ECX400P (400MHz) 日本電子 JNM ECA600 (600MHz) 日本電子 固体測定補助装置付 (500 MHz)
6. 電子スピン共鳴装置 (ESR)	H14年度	日本電子 JES FA100
7. 誘導結合プラズマ発光分析装置 (ICP-AES)	H20年度	堀場 JOVIN YBON ULTIMA2
8. 走査型プローブ顕微鏡システム (SPM)	H12年度	エス・アイ・アイ SPI3800 多機能型ユニット SPA400 環境制御ユニット SPA300V
9. 超高速現象解析システム 内訳：超高速撮影装置 光増幅光学装置 高速度ビデオ装置 パルスジェネレータ 熱画像解析装置 PIV システム 〃	H10年度 〃 〃 〃 〃 〃 H15年度 〃 〃	NAC FS501 NAC ILS NAC HS-4540-2 NAC DG-535 ニコン LAIRD 3ASH カンテル社 TwinsUltra120 (レーザー) オックスフォードレーザー社 ES1. 0-NII1422(カメラ) 日本レーザー社 VPP-2D (プロセッサ)
10. 紫外可視分光光度計 (UV-Vis) フーリエ変換型赤外分光光度計 (FT-IR) 透過型分光計 顕微・反射型分光計 プローブ式分光計 顕微・接触型分光計 旋光度計	H22年度 H22年度 H14年度 H15年度 〃 H22年度	パーキンエルマー ラムダ950 パーキンエルマー Spectrum100 日本分光 460Plus 米国 ASI Applied Systems 社 ReactIR 400F-GU 米国 SensIR Technologies 社 IlluminatIR 日本分光 P-2300
11. 円二色性分散計 (CD)	H13年度	日本分光 J-820P

12. 有機微量元素分析装置 (CHNO) オートサンプラー	H12年度 〃	ヤナコ分析工業 MT-6 ヤナコ分析工業 MTA-620
13. 顕微レーザーラマン分光システム	H14年度	日本分光 NRS-1000
14. 熱分析システム (DSC、TMA、TG/DTA) レオメーター (AR-GII KG) 動的粘弾性測定装置 (DMA Q800 KG)	H15年度 H22年度 〃	エス・アイ・アイ EXSTAR6000 TA・インスツルメント AR-G2 KG TA・インスツルメント DMA Q800 KG
15. フェムト秒ファイバーレーザー テラヘルツ分光走査型顕微鏡	H17年度 H19年度	アイシン精機 フェムトライト BS-60-YS オザワ THz-TDS
16. 3次元物質微細構造解析システム 内訳：X線マイクロCT スキャナ フロー式粒子解析装置 粒子径・ゼータ電位・分子量測定装置 デジタルマイクロスコープ	H22年度 〃 〃 〃	東洋テクニカ SKYSCAN1172-GU Malvern社 FPIA-3000 〃 ゼータサイザーナノ ライカ DVM5000
17. その他 超音波洗浄器 直示天秤	H7年度 〃	BRANSONIC 220 メトラー AG245

【医学施設】

H23. 4 現在

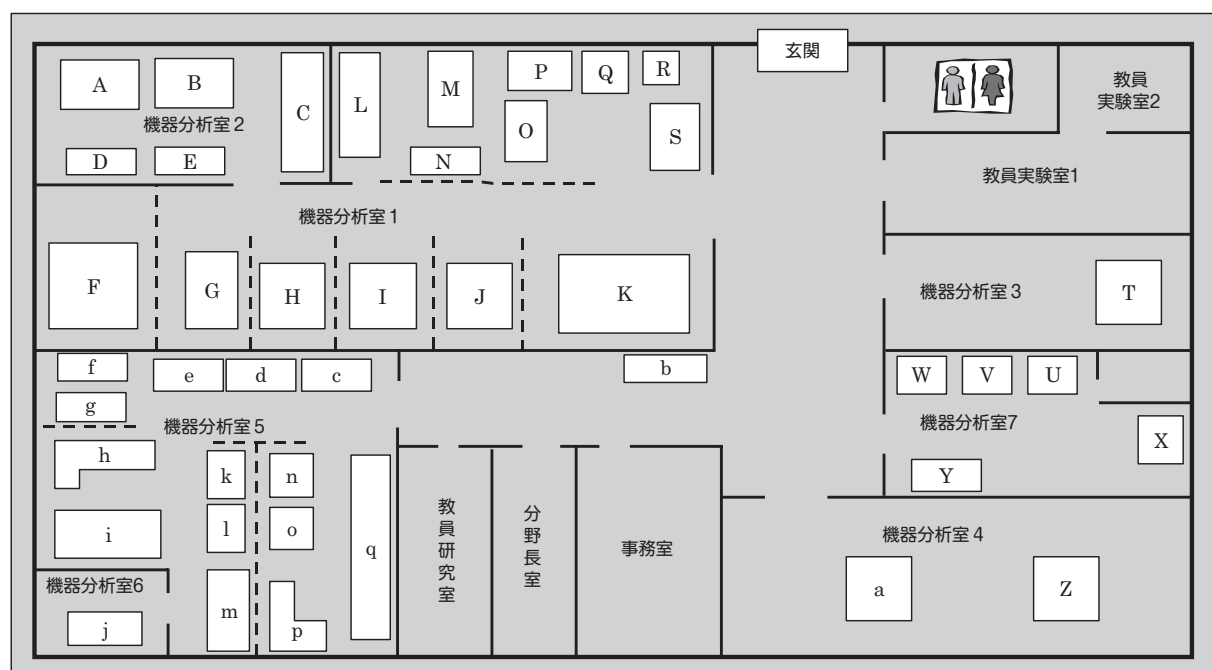
品 名	納入年度	規 格
1. 核磁気共鳴分光装置 (NMR) 内訳：800MHz 600MHz 500MHz	H21年度 〃 〃	Bruker Biospin AVANCE III 800 Bruker Biospin AVANCE III 600 Bruker Biospin AVANCE III 500
2. 電界放射型透過電子顕微鏡	H20年度	JEOL JEM-2100FGK
3. 超高輝度X線回折装置	H17年度	Rigaku FR-E SuperBright
4. 電子スピン共鳴装置 (ESR)	H21年度	Bruker Biospin EMXmicro
5. ルーチン用クリオスタット	H21年度	LEICA CM1850

2. 機器配置図

【柳戸施設】

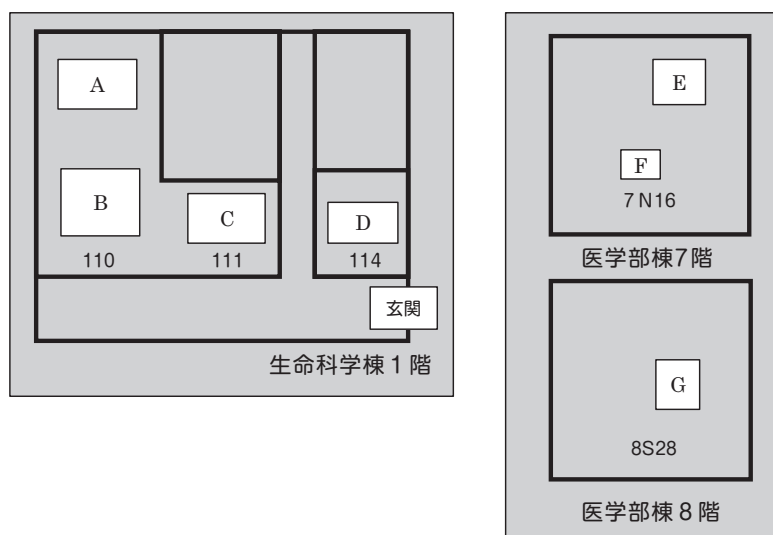
機 器 名	メーカー・型番	場 所
電子スピン共鳴装置 (ESR)	日本電子 JES-FA100	A
デジタルマイクロスコープ	ライカマイクロシステムズ DVM-5000	B
走査型プローブ顕微鏡システム (SPM)	SII SPI3800N	C
ガラスナイフ作製機	三慶科学 メッサー C ライカ ガラスナイフメーカー EM	D
超マイクロトーム	ライカ ULTRACUT-UCT	
実体顕微鏡	ニコン SMZ	E
顕微・接触型分光計	センサーテクノロジーズ Illuminat IR	
透過型電子顕微鏡 (TEM)	日本電子 JEM-2100	F
透過型電子顕微鏡 (TEM)	日立製作所 H-7000	G
走査型電子顕微鏡 (FE-SEM)	日立製作所 S-4300	H
エネルギー分散型X線分析装置	堀場製作所 EX-220	
高分解能電界放射型走査電子顕微鏡	日立製作所 S-4800	I
走査型電子顕微鏡 (N-SEM)	日立製作所 S-3000N	J
ネオオスミウムコーター	メイワフォーシス NE-01044	K
イオンミリング装置	日立製作所 E-3500	
ディンプルグラインダー	ガタン MODEL 656N	
精密イオンポリッシング装置	ガタン MODEL 691	
超音波ディスクカッター	ガタン MODEL 601	
ダイヤモンドワイヤーソー	メイワフォーシス DWS3242	
イオンスパッター	日立製作所 E-102、E-201	
スパッタコーター	POLARON SC7640	
	メイワフォーシス SC200	

カーボンコーター	メイワフォーシス CADE-EHS	
フリーズレプリカ装置	日立製作所 HFZ-1	
真空蒸着装置	日立製作所 HUS-5GB	L
有機微量元素分析装置 (CHNO)	J・Science・Lab CHNS コーダー/JMSU10	
顕微レーザーラマン分光システム	日本分光 NRS-1000	M
プローブ式分光計	ASI Applied Systems ReactIR 4100F-GU	N
質量分析装置 (MS)	日本電子 GCmate II	O
	日本電子 JMS-AMSUN200 (K-9)	P
	日本電子 JMS-T100LP (AccuTOF LC-plus)	Q
液体クロマトグラフ	アジレント MS-52011LC	R
質量分析装置 (MS)	日本電子 JMS-700	S
フーリエ変換核磁気共鳴装置 (FT-NMR)	日本電子 JMN ECA-500・固体	T
分光蛍光光度計 (FL)	日本分光 FP-8600	U
蛍光寿命測定装置	浜松ホトニクス Quantaaurus-Tau	V
絶対 PL 量子収率測定装置 (QY)	浜松ホトニクス Quantaaurus-Qy	W
超高速撮影装置	NAC FS501	X
熱画像解析装置	セキテクノトロン SC7500STEC	Y
	島津製作所 HyperVision HPV-2A	
フーリエ変換核磁気共鳴装置 (FT-NMR)	日本電子 JMN ECX-400P	Z
	日本電子 JMN ECA-600	a
PIV 測定装置	日本レーザー Visi Vector	b
超高速撮影装置	NAC・ILS、MEMECAM GX-8	
熱画像解析装置	ニコン LAIRD 3ASH	c
紫外可視分光光度計 (UV-Vis)	パーキンエルマー ラムダ950	
顕微フーリエ変換赤外分光光度計 (顕微 IR)	日本分光 460Plus、IRT-30	d
フーリエ変換赤外分光光度計 (FT-IR)	パーキンエルマー Spectrum100	e
円二色性分散計 (CD)	日本分光 J-820P	f
旋光計	日本分光 P-2300	g
X線マイクロCT スキャン	SKYSCAN SKYSCAN1172-GU	h
走査型X線光電子分光分析装置	アルバック・ファイ Quantera SXM-GS	i
テラヘルツ分光走査型顕微鏡	オザワ THz-TDS	j



【医学施設】

機 器 名	メーカー・型番	場 所
核磁気共鳴分光装置 (NMR)	Bruker Biospin AVANCE III 600	A
	Bruker Biospin AVANCE III 800	B
電子スピン共鳴装置 (ESR)	Bruker Biospin EMXmicro	C
超高輝度X線回折装置	Rigaku FR-E SuperBright	D
電界放射型透過電子顕微鏡	JEOL JEM-2100FGK	E
ルーチン用クリオスタット	LEICA CM1850	F
核磁気共鳴分光装置 (NMR)	Bruker Biospin AVANCE III 500	G



3. 機器紹介

【柳戸施設】

1. 大型電子顕微鏡

当分野には、1台の透過型電子顕微鏡および3台の走査型電子顕微鏡が設置されている。

I) 3次元透過型電子顕微鏡 (TEM) 日本電子 JEM-2100、日立 H-7000 (機器分析室1)

当分野に設置されている電子顕微鏡 (日本電子 JEM-2100、日立 H-7000) は、高分解能観察、電子線回折、フィルムを用いずに CCD カメラに像が撮影 (フィルムでの観察可能) を行うことができる。日本電子 JEM-2100は、STEM による観察、EDX による元素分析、対象を3次元で観察できる3D トモグラフィも可能である。また、分解能も高く、STEM 像も CCD で撮影可能であり、EDX ではホウ素より重い元素なら分析可能である。医学・生物科学および材料科学における試料の総合的分析が可能になっており、下記のような分析が日常的に行われている。

1) 透過像観察 (TEM) (機器分析室1)

生物材料および非生物材料の超薄切片を100倍から100万倍に拡大し、内部の微細構造を観察することができる。分解能は、 1.44 \AA (格子像) から 2.1 \AA (点観察像) である。加速電圧は200kVまで上げることが出来、いろいろな種類の試料が使用可能である。透過型電子顕微鏡は電子を透過して観察する装置であるから、電子が透過するくらいの厚さまで試料を薄くすることが前処理として重要である。この前処理用の設備も備えている。また、試料の観察は蛍光板上に投影された像を見て行い、記録したい像は写真フィルムで撮影する。撮影した後は現像・定着等おこない、ネガフィルムを得る。これらの操作には若干の熟練を要する。生物材料の場合には、通常、切片を種々の金属で染色して観察するが、染色操作を避けたい場合は、走査透過像 (STEM) 機能により、無染色の切片を明視野像として観察することもできる。また、傾斜角度を変えることにより、準超薄切片からステレオ電子顕

微鏡写真を作製することも可能である。さらに生きた細胞の内部構造を調べるためのフリーズエッチングや生体膜の内部構造を調べるためのフリーズフラクチャーも可能である。切片作製のための超マイクローム（機器分析室2）および真空蒸着装置（機器分析室1）も分野に設置してある。



TEMで可能な観察方法には、通常の明視野像、試料によって散乱された電子線のみを結像させる暗視野像、さらに電子線を絞って試料に走査して像を得る走査透過像（STEM）等がある。試料が結晶質であれば、結晶からのブラッグ反射を結像させると電子線回折像が得られ、これは結晶相の同定や結晶方位の決定などに用いられる。JEM-2100では、実像と回折像がよく調和するようにコンピュータで制御されている。

2) X線分析（EDX）（機器分析室1）

試料に電子ビームを当てると、試料中の元素から特性X線が放出される。このX線のエネルギーをシリコン検出器で分光し、スペクトルを得ることで含まれる元素の分析を行うことができる。STEM像、TEM像を観察しながら希望の部位に電子線を絞って照射し、その部位の点分析を行ったり、絞った電子線で試料を走査して面分析を行うことができる。また、フィルム上にSTEM像と、元素の分布を重ね合わせるなどいろいろな表現方法が可能である。

3) ディンプルグラインダー（Gatan Model 656/3）（機器分析室1）

セラミックス、半導体などの透過電子顕微鏡観察用の薄片試料作成のために用いる。試料表面をダイヤモンドペーストあるいはアルミナペーストで研磨し、球面状の窪みを作成することができる。主として次項で述べるイオンミリング処理の前処理に用いる。通常、最小厚さ部分が $20\mu\text{m}$ ～ $50\mu\text{m}$ まで研磨が可能であるが、注意深い操作により $5\mu\text{m}$ まで薄くすることが可能である。

4) イオンミリング装置（Gatan PIPS-691）（機器分析室1）

主としてセラミックス、半導体などの透過電子顕微鏡観察用試料の作成の最終処理に用いられる。あらかじめ数十 μm 以下の厚さにした試料表面に、高真空中で加速されたアルゴンイオンを照射し、試料に穴を開ける。この時、イオンビームをある角度で照射すると、穴のエッジ部分が数十～数百nmの厚さとなり、透過電子顕微鏡観察が可能となる。当分野に設置されているGatan PIPS-691は同時に加工できる試料数は1個であるが、加工スピードが著しく向上した。酸化物の試料でも数時間でTEMによる観察が可能な状態である。

II) 走査型電子顕微鏡（SEM）日立 S-4300、S-3000N、S-4800、E-3500（機器分析室1）

当分野に設置してある走査型電子顕微鏡は、日立製作所製S4800、S-4300およびS3000-Nである。S-4300は、電界放出型電子銃（FEG）を備えた装置であり、高輝度・高分解能観察が可能で、EDXによる元素分析も可能な機種である。S-3000Nは、ESEDや反射電子検出器を備えており、270Paの低真空度での観察や無蒸着観察ができる機種である。

電界放出型電子顕微鏡 S-4300（機器分析室1）

この電子顕微鏡は冷陰極電界放出型電子銃を備えた装置であり、加速電圧が $0.5\sim 30\text{kV}$ の範囲で可変可能であり、倍率が $20\sim 500,000$ 倍、分解能が 1.5nm （ 15kV ）および 5.0nm （ 1kV ）である。高輝度電子銃であり、低加速電圧例えば 1kV でも高分解像を得ることが可能である。また低加速電圧

では、無蒸着観察できる試料もある。さらに装備されているEDXは炭素からの分析が可能なタイプであり、定性・定量分析はもちろん、画像をパソコンに取り込んで組成像との合成も可能である。このSEMはすべてパソコンで制御できるタイプであり、撮影した像もデジタル情報として得られる。操作上注意すべき点は、EDXのX線取り込み窓が非常に薄く、微粒子でさえ容易に破損の原因となることであり、試料を本体に挿入する前にはエアブローワーで微粒子を取り除くことを励行する。また、電子銃近傍は非常に高い真空度に保つ必要があり、試料も前もって十分脱気する必要がある。



低真空電子顕微鏡 S-3000N (機器分析室1)

この電子顕微鏡は通常のタングステンヘアピンフィラメントを備えた装置であり、加速電圧が0.3~30kVの範囲で可変可能、倍率が5~300,000倍、二次電子像分解能は3.0nm(高真空モード、加速電圧25kV)、反射電子像分解能は4.0nm(低真空モード、加速電圧25kV)である。この電子顕微鏡の特徴は、低真空270Pa(約2 torr)で試料の観察が可能なことである。含水量が少ない試料では、そのまま試料室に入れて無蒸着での観察が可能である。この観察には“環境SED、ESED”または反射電子線検出器を用いる。生体試料はもちろん、ポリマーや通常の状態ではチャージアップが甚だしいものの観察を得意としている。また試料室も大きく、観察範囲は2x6cmと広い。さらにパソコンによる自動化が進んでおり、初心者でも容易に鮮明な画像を得ることが可能である。また、この電子顕微鏡は高真空では普通のタングステンフィラメントの電子顕微鏡としても十分な能力がある。通常のタングステンフィラメントに必要な飽和点の検出やバイアスなどもすべて自動化されている、非常に使い勝手の良い装置であり、電子の加速電圧は1kV以下から30kVまで広い範囲で使用可能である。



電界放出型電子顕微鏡 S-4800 (機器分析室1)

この電界放出型電子顕微鏡は、S-4300より性能と使い勝手が向上した装置であり、以下にこの装置の特徴を示す。

1. 15kVで1.0nm、1kVでも2nm(リターディング機能を使うと1.4nm)の高分解能
2. 信号検出器が対物レンズの上下に各一個有り、2次電子線や反射電子線の信号の組合せが可能
3. 試料の出し入れがボタンスイッチ(レバーを操作する必要がない)
4. 試料のX-Y移動および回転の3軸が電動

これらの特徴を利用することで、非常に良い画像を撮影可能である。例えば、検出器や2次電子線と反射電子線を選択することで、エッジ効果がほとんど無い像を得ることが出来る。リターディング機能を使えば分解能が高くなるだけでなく、高電圧での電子線照射で問題になる試料のダメージも大幅に軽減できる。また、試料室はターボ分子ポンプで排気しており、液体窒素のアンチコンタミネーショントラップを併用して清浄な雰囲気での観察が出来る。試料台は4mmφのネジでセットできるが、ワーキングディスタンスが小さく、背の高い試料は観察できないこともある。



アルゴンイオンミリング装置 E-3500 (機器分析室 1)

このイオンミリング装置は、イオンガン中でアルゴンガスを放電・イオン化し、高電圧を印加してイオンを引き出して試料に衝突させ、研磨する装置である。試料の一部は遮蔽板で保護し、この遮蔽板によってきれいな断面の形成が可能になる。また、研磨速度も、ガラスやシリコンなどでは1時間に100 μm と、イオンシニング装置より格段に大きいミリングレートが得られる。また、研磨された面は非常に平滑である。

2. 材料電子状態解析装置：X線光電子分析装置 (ESCA、XPS)

当分野にはアルバック・ファイ Quantera-SXM-GS の表面分析装置が設置されている。表面分析では、固体表面の最表面の数原子層についての化学組成分析が可能となる。X線光電子分光分析(XPS)は、ESCAとも言われ、表面分析の中でも最も広く使用されている分析法の一つである。超高真空中でAl-K α 線あるいはMg-K α 線といった軟X線を試料表面に照射した時に試料表面から出る光電子の結合エネルギーをエネルギー・アナライザーで測定する。光電子ピークの結合エネルギーと強度から、元素の同定、定量分析の他、結合エネルギーの微妙なシフトから化学状態分析ができることが特徴である (Electron Spectroscopy for Chemical Analysis、ESCA)。XPSの応用範囲は、高分子、触媒、半導体、電子材料といった様々な工業製品など多岐にわたり、今日必要不可欠な装置となっている。表面分析法で分析できる深さは0.5~5 nmほどであることから、走査電子顕微鏡に取り付けられたエネルギー分散型X線分析装置(SEM-EDX)やフーリエ変換赤外分光分析装置(FT-IR)と比べて試料の極表面だけの化学組成を分析するのに適している。極表面の情報しか得ることができないので、Arイオンを照射によって表面をエッチングして測定することを繰り返すことによって、深さ方向で化学状態がどのように変化するかを追跡することもできる。

アルバック・ファイ Quantera-SXM-GS (走査型X線光電子分光分析装置) (機器分析室 5)

X線源：分光されたAl-K α 線／測定モード：XPS／(ESCA)
(微小領域、線分析、面分析)

X線の照射径を9 μm ~100 μm で可変し、走査して試料表面に照射することが可能

標準試料台 75 \times 75mm (試料厚さ<20mm)

加熱・冷却測定



3. 高分解能質量分析装置 (MS)

質量分析装置は、有機化合物の同定に不可欠である。試料分子をイオン化させて生じる分子イオンやフラグメントイオンを測定する。

当分野に設置されている装置では、分析に必要な試料の量は数ナノグラムである。試料は、直接、間接、ガスクロマトグラフィー (GC) 等で導入され、主に、電子衝撃 (EI) 法、化学イオン化 (CI) 法、高速原子衝突 (FAB) 法でイオン化される。

以下に示す3種類の装置が設置されている。化合物の種類や測定の目的別に機種を選択することができる。

1) JMS-MStation700 (日本電子) (二重収束) (機器分析室 1)

【仕様】

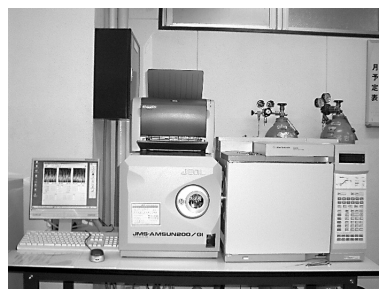
測定質量範囲：1-2,400ダルトン (加速電圧1kVで24000) / 分解能：60,000 / 試料導入：直接、間接、GC (LC) / イオン源：EI、CI、FAB / 測定モード：低分解能測定、高分解能測定、正・負イオン / その他：リンクトスキャン



2) JMS-AMSUN200/GI (K9) (日本電子) (四重極型) (機器分析室 1)

【仕様】

測定質量範囲：1 - 1,000ダルトン / 分解能：>2,000 / 試料導入：GC / イオン源：EI、CI / 測定モード：低分解能測定



3) GC Mate II GCMS システム (日本電子) (機器分析室 1)

【仕様】

測定質量範囲：1 - 1,000ダルトン (加速電圧2.5kV)、1 - 2000ダルトン (加速電圧1.25kV) / 分解能：500、1000、3000、5000 (コンピュータコントロール4段切り替え) / 試料導入：直接導入、GC / イオン源：EI、CI、FAB / 測定モード：低分解能測定、正、負イオン検出可



4. 液体クロマトグラフ (HPLC)

この HPLC は、検出器として、紫外可視分光検出器(190~600nm)、蛍光検出器(280~900nm)、示差屈折率検出器(屈折率1.00~1.75; 室温+5~55℃以上の範囲で一定に設定可能)を備えています。これらの検出器を使いこなすことによって、ほとんどの有機物の高感度検出が可能になります。また、HPLC と質量分析計とを接続することにより、流出物の連続質量分析が可能です (LC-MS)。



HPLC 本体は、次のような部分から成り立っています。

- コントロールモジュール、制御 PC 及びソフト
- ミクロデガッサ (溶媒中のガスを取り除き泡が出ないようにする)
- バイナリーポンプ (高圧 2 液混合によってグラジエントを作り 0.001~5 ml/min の流量を調節できる)
- カラム恒温槽 (カラム温度を室温、-10~80℃以上の範囲で一定に保つ)
- フラクションコレクター (サンプルを分取する)

HPLC で物質の分離を成功させるには、カラムの選択が重要です。

現在の HPLC においてはそのカラムでの分離モードとしては次の 4 種類が主に適用され、分析用と分取用があります。

- (1) 順相クロマトグラフィー
- (2) 逆相クロマトグラフィー
- (3) サイズ排除クロマトグラフィー
- (4) イオンクロマトグラフィー

この中で、特に頻繁に使われるのは逆相クロマトグラフィーです。

使用するカラムは各自用意してください。また廃液は各自持ち帰るようにして、実験終了後は流路などをメタノールで洗浄しておいてください。

5. フーリエ変換核磁気共鳴装置 (FT-NMR)

現在、核磁気共鳴 (NMR) は分子の構造や物性を知る最も重要な分析法の一つで、有機化学、物理化学のみならず農学、医学などの生命科学の研究にも広く使われている。さらに、天然物化学への寄与、医療分野での NMR イメージング (MRT 断層映像) などでも話題になっている。

物質を磁場の中に置いたとき、 ^1H 、 ^{13}C といった原子の原子核の状態はいくつかのエネルギー準位に分裂し、これに共鳴周波数のラジオ波を照射することでその準位間の遷移が起こる。その遷移エネルギー（すなわちラジオ波の共鳴周波数）は原子核の電子状態により微妙に異なっており（これを化学シフトという）。このことから各々の原子の状態、あるいはその原子を含む原子団（置換基）の化学的性質を知ることができる。

超電導磁石による高磁場の実現、フーリエ変換法およびコンピュータなどの進歩により、ラジオ波パルスによる測定が可能になり、種々の対象物を容易にかつ高精度に分析することが可能になった。

当分野には、次の3種の FT-NMR が設置されている。



1) 日本電子 ECA-600 (600MHz) (機器分析室 4)

通常測定 (^1H 、 ^{13}C 、DEPT、COSY など) はもとより、パルス磁場勾配法 (PFG) を用いることにより、効率的な2次元の測定や HMBC、HMQC、TOCSY、DOSY を含むインバース測定などのいろいろな測定手法を実施することができる。当分野でも最高峰の機種であり、高い分解能を有している。

超伝導マグネット基準磁場：14.09T / ボア径：54mm / プローブ：オートチューン 5 mmFG/TH チューナブルプローブ / 観測核 (プローブ)： ^1H 、 ^{19}F 、 ^{15}N ~ ^{31}P / 温度可変範囲 (プローブ)：-100°C ~ +150°C

2) 日本電子 ECX-400P (400MHz) (機器分析室 4)

上述の ECA-600 と同様に用いられている機種であり、こちらもいろいろな測定手法を実施することができる。

超伝導マグネット基準磁場：9.39T / ボア径：54mm / プローブ：オートチューン 5 mmFG/TH チューナブルプローブ / 観測核 (プローブ)： ^1H 、 ^{19}F 、 ^{15}N ~ ^{31}P / 温度可変範囲 (プローブ)：-100°C ~ +150°C



3) 日本電子 ECA-500 (500MHz) (機器分析室 3)

通常測定 (^1H 、 ^{13}C 、DEPT、COSY、HMBC、HMQC、差 NOE など) のみならず、パルス磁場勾配法 (PFG) を用いることにより、効率的な2次元の測定、各種多核の測定、温度可変測定も非常に簡便に測定できる。また、固体 NMR 測定ユニットが装備され、固体化学、生体高分子分野にも応用可能である。

固体 NMR 測定ユニット (NM-93030CPM) / プローブ：4 mm 径 CP/MAS プローブ / 観測核 (プローブ)： ^1H 、 ^{15}N 、 ^{29}Si ~ ^{31}P



6. 電子スピン共鳴装置 (ESR) (機器分析室 2)

電子スピン共鳴 (Electron Spin Resonance ; ESR) 装置は、試料の形状 (液体、気体、固体) に影響されることなく、非破壊で、選択的にフリーラジカルを測定できる唯一の手段である。ESR の測定対象は、不対電子 (unpaired electron) であるため、不対電子を持つ物質はすべて測定可能である。鉄や銅などの金属イオンは、古くからそれらを含む錯体の構造解析が行われてきたが、これらの金属

イオンを含むタンパク質も測定可能であり、酵素などの生体試料の構造機能解析に係る研究にも広く用いられるようになった。特に、これらの酵素の一部が生体内で作り出す活性酸素の研究も近年盛んに行われている。この分野で確立されたフリーラジカル測定の技術は、光触媒効果の評価、ソノケミストリー、ダイオキシン分解などの環境関連分野でも利用されるようになっている。また、忘れてはならないのが格子欠陥というタイプの不対電子で、半導体ウェハやガラスファイバーなどの性能に大きく寄与することから、半導体材料の開発にも応用されている。



当分野の機種は、日本電子製 JES-FA100シリーズのもので、フルコンピュータコントロール/Windows オペレーションの最新の ESR 装置である。従来の ESR 装置で、共振周波数を探し、フェーズとカップリングアイリスをマイクロ波のパワーを変えながら調整するのは、ある程度の慣れが必要でしたが、JES-FA100では、ジャストカップリングのためのマイクロ波調整は“AUTOTUNE”ボタンひとつで完了できる。また、Windows オペレーションの画面において、スペクトル取りこみ画面とデータ処理画面のシンプルに構成されている。取りこみ画面では、ESR 測定条件のほか、連続測定—自動保存、測定温度設定（温度可変ユニットはオプション）、積算その他の取り込み条件を各ウィンドウから設定できるようになった。

JES-FA100の基本的な仕様は次のようになる。

- ・感度： 7×10^9 spins/0.1mT（100kHz 磁場変調にて最大出力200mW）
- ・分解能： $2.35\mu\text{T}$ 以上（100kHz 磁場変調にて空洞共振器内 4 mm x 43.5mm）
- ・磁場安定度
 - 短期 1×10^{-6} または $0.3\mu\text{T}$ 以上
 - 長期 5×10^{-6} または $1.5\mu\text{T}$ 以上

7. 誘導結合プラズマ発光分析装置（ICP-AES）（機器分析室 5）

電子材料、セラミックス、超伝導材料等の先端材料や生体試料中に存在する微量元素、水、土壌、大気など環境中に存在する元素を解明することが、物質の諸性質を研究する上でしばしば必要となる。誘導結合プラズマ発光分析法（ICP-AES）は、このような目的に対して有用である。この方法では多元素を同時に極微量から高濃度までの広い濃度範囲にわたって定性的ならびに定量的に分析することができる。



ICPでは、高周波の誘導コイルを使用してアルゴンガス流中に6,000–10,000Kの温度に加熱されたアルゴンイオンを作る（誘導結合プラズマ、ICP）。その高温プラズマが原子の励起を促進し、測定感度を向上する。そのため、測定条件を変更することなしに、1 ppb 以下の極微量から1000ppm またはそれ以上の濃度範囲にある元素を検出可能である。また、高い温度の励起源を用いることで、ほとんどすべての化合物をその構成元素に分解することができるため、他の原子スペクトル法で問題となっていた共存物質の影響や、分子種由来のバックグラウンドの影響を大幅に低減することができる。

観測される発光スペクトルの波長から試料中に存在する元素を特定ができ、その発光強度はその元素の原子数に比例する。それゆえ、個々の波長で光を検出することによって試料の定性分析を、その強度を測定することによって分析対象元素の定量分析を行うことができる。ICP-AESでは、ほとんどの金属元素およびホウ素、炭素、ケイ素、リン、硫黄などのいくつかの非金属元素を含めた70以上の元素を一斉に定性・定量分析が可能である。

当分野には、以下の ICP-AES 装置に加え、試料の調製に必要な超純水の製造装置ならびに試料を分解して液体試料にするためのマイクロ波加熱試料分解装置が設置されている。

1) 堀場 Jobin Yvon ULTIMA 2

高周波電源部：周波数40.68MHz、出力0.8~1.55kW

測定波長範囲：120~800nm

付 属 装 置：超音波ネブライザー、水素化物発生装置、フッ化水素酸試料用トーチ、有機溶媒導入用トーチ、高塩濃度用トーチ

2) マイクロ波加熱試料分解システム (CEM、type MDS-2000)

3) 純水製造装置 (東洋製作所、Advantec RFD250NB)

8. 走査型プローブ顕微鏡システム (SPM) (機器分析室 2)

走査型プローブ顕微鏡 (SPM) は、測定試料と探針間に働く原子間力またはトンネル電流を検出することにより、試料の表面のミクロな部分の形状、摩擦などの情報を得るものである。当分野の走査型プローブ顕微鏡はセイコーインスツルメンツのSPI3800で、試料の大きさは45mm x 45mm x 5mm程度、面内に0.2nm、垂直方向に0.01nmの装置分解能をもち、条件によっては原子レベルの観察もできる。ユニットの交換により、原子間力顕微鏡 (AFM)、走査型トンネル顕微鏡 (STM)、摩擦力顕微鏡、電気化学 AFM・STM、マイクロ粘弾性 AFM (VE-AFM) などの測定が可能であり、温度可変 (-140℃~300℃) および真空中で測定できる設備を備えている。



本システムは装置制御とデータ処理を行うプローブステーションおよび2台の測定ユニット、多機能型ユニット SPA400と環境制御型ユニット SPA300V からなる。AFM 測定など多くは両方のユニットで測定可能だが、電気化学 AFM・STM は SPA400で、真空中および温度制御には SPA300V を用いる必要がある。それぞれ、光学顕微鏡を備え、装置の調整、試料の位置合わせが容易にできる。データ処理部 (DELL OptiPlex GXa、DOS/V、Windows95) は高速フーリエ変換 (FFT) を始めとする各種のフィルタおよび画像解析プログラムをもち、視覚に訴える3次元画像を作成し、フルカラーでプリント (EPSON PM-750C) することができる。

【測定モード】

コンタクト AFM、液中コンタクト AFM、電流同時測定 AFM、表面電位顕微鏡、DFM (ダイナミックフォースモード、サイクリックコンタクトまたはノンコンタクトモード AFM 測定)、液中 DFM、STM、電気化学 AFM、電気化学 STM、VE-AFM (マイクロ粘弾性測定モード)、FFM (摩擦力顕微鏡)、LM-FFM (横振動摩擦力顕微鏡)

9. 超高速現象解析システム

本システムでは、ナノ秒 (ns) オーダーまでの自然界の様々な超高速現象、たとえば稲妻の伝播過程、材料の破壊過程、乱流の発生過程、さらにはミクロなレベルでの半導体中の電子-正孔反応などを、光もしくは熱によって、あるいはフォトルミネセンス現象を通してリアルタイムで追跡し、解析することができる。大きく分けて超高速撮影カメラ・ビデオシステムと時間分解フォトルミネセンス・蛍光分光光度計の2つのシステムから構成されている。

I) 超高速撮影カメラ・ビデオシステム

1) 超高速撮影装置：ウルトラナック標準セット (機器分析室 7、持出可)

2,000~20,000,000fps (frame per sec、したがって時間分解能は0.5ms~50ns)、8~24枚のフレーミング撮影および1ns/mm~3μs/mmの掃引速度でのストリーク撮影が可能。フレーミング撮影時、露出時間を各フレームごと



に10ns~20 μ s の範囲で1 ns ステップで設定可能。撮影フレーム間隔は40ns~320 μ s の範囲で5 ns ステップで任意に設定可能。レンズはニコン F マウント。撮影はポラロイドフィルムを使用。

2) 高速ビデオ装置：コダック・エクタブロ HS-4540-2 (機器分析室 5、持出可)

白黒で、フルフレーム256 x 256の画素数では4500fps (したがって時間分解能は222 μ s) まで、分割フレームにすることで最高40,500fps (64 x 64画素時、時間分解能は25 μ s) まで撮影可能。撮影枚数は3072 (4,500fps 時に0.68秒間の現象撮影が可能) ~49,152枚 (40,500fps 時に1.21秒間の現象撮影が可能)。GP-IB で外部コンピュータにデータダウンロード可、Tiff format で変換保存可能。NTSC で出力することができる。C マウントまたはアタッチメントを介してF マウントのレンズが装着可能。3の光増幅光学装置、4のレーザー照明装置と組み合わせて使用することにより、高速な現象を高輝度で撮影することが可能。

3) 光増幅光学装置：ILS (機器分析室 5、持出可)

直径40mm、最大光増幅率が10,000倍のイメージインテンシファイヤー。外部同期信号に同期して20ns~1.2ms の範囲で10ns ステップまたはDC (連続) までのゲート時間設定が可能で、ゲートインターバルは5 MHz の外部同期信号まで対応できる。また、外部信号の各パルスに対して63回までの多重露光の設定が可能。

4) 熱画像解析装置：ニコンサーマルビジョン LAIRD 3ASH (機器分析室 7、持出可)

撮影速度は60fps、検出波長は3 μ ~5 μ (PtSi ショットキー型 IR-CCD)。画素は、H768 x V494(シャッター非動作時)、総画素数は41万 (H811 x V508)。また、測定可能温度範囲は-20 $^{\circ}$ C~2000 $^{\circ}$ C (フィルタにより-20~190、150~500、400~2000 $^{\circ}$ C を選択します)。レンズは F1.2、f45mm (F はレンズの明るさ(の逆数)、f は焦点距離)で、最短撮影距離0.5m となっている。出力は NTSC、RS232C、NIKON 専用デジタルコネクタと三種類可能。冷却方式はスターリングクーラ (つまり液体窒素などの供給は不要) で、傾斜使用制限が液体窒素使用と比較して大幅に緩い。

5) PIV (Particle Image Velocimetry) システム (機器分析室 7、持出可)

PIV システムは、ダブルパルス Nd: YAG レーザー、クロスコリレーションカメラおよび解析ソフトからなっており、高速な流れ場の速度情報を瞬時にかつ高分解能で測定することが出来る。カメラの画素数は約1000 x 1000であり、非常に短い時間 (> 2 μ sec) の間隔をあけて2枚の画像を最大15Hz で撮影することが可能である。光源であるレーザーは2つのフラッシュランプを持ち、任意のタイミングでカメラと同期させて作動させることができる。ユーザーは得られた画像の相互相関を解析ソフトにより計算することで、速度場の2次元情報を得る。測定対象は、トレーサーとなるものが存在していれば気体・液体を問わず適用可能である。

この高速度撮影カメラ・ビデオシステムはすべて可搬型となっている。すなわち、測定を機器分析分野で行うのではなく、これを借り出して各自の実験室で測定することが可能である。また、上記の機器のうち、2、4はそれぞれ単独使用するものであり、3は1または2のための附属装置である。

10. 分光光度計 (紫外可視・赤外)

I) 紫外可視分光光度計 (機器分析室 5)

物質による紫外及び可視領域 (約200~700nm) の光の吸収はその分子内の電子構造に依存しており、電子が基底状態における軌道から高いエネルギーの軌道へ遷移することによりおこる。例として、遷移金属化合物における d-d 遷移や二重結合を有する有機化合物の π - π^* があげられる。そのため、紫外可視吸収スペクトルからそのような化合物の同定や定量



が、さらには未知化合物の電子状態の検討が可能である。

当分野にはパーキンエルマー社のラムダ950型自記分光光度計が設置されている。この装置は通常の吸収スペクトルの測定以外に反射スペクトルの測定もできるように設計されている。

II) 赤外分光光度計（機器分析室5）

物質による赤外線（約 $5000\sim 300\text{cm}^{-1}$ ）の吸収はその分子の振動構造に依存しているが、1個の振動エネルギーの変化に伴って多数の回転エネルギー変化が起こるので、振動スペクトルは振動吸収“帯”として現れる。吸収の振動数あるいは波長は、振動部分の換算質量、化学結合の力の定数および原子の幾何学的配置に依存する。したがって、赤外スペクトルから分子構造を解析することができる。

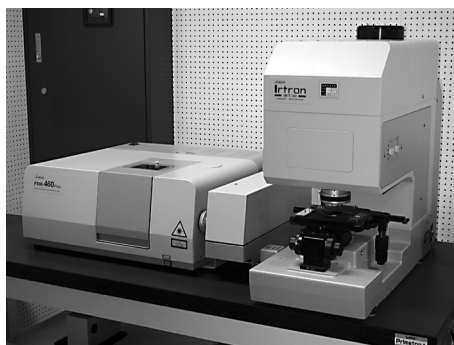


1) 透過型分光計

当分野にはパーキンエルマー Spectrum100型が設置されている。この機器は、マイケルソン型干渉計を用いたフーリエ変換型である。このタイプの装置は、干渉計の制御にレーザー光を、またフーリエ変換という数学的操作を用いることにより高分解能、高い波数精度、高感度が実現でき、スペクトルの積算測定や高速測定が可能となり、またスペクトルの数学的な処理(加減乗除、微分積分など)が容易に行える。また HATR（水平型内部多重反射測定装置）の使用により、従来の赤外分光光度計では測定の難しかった水溶液、ペースト等についてもスペクトルを得ることができる。

2) 顕微・反射型分光計

ナノ材料科学の目覚ましい進歩とともに、極微小領域における新しい表面分析技術はますます重要となっている。材料解析のための分光分析法として理想的なものは、材料の化学組成、その三次元的分布状態及び動的過程の三種の情報である。フーリエ変換顕微赤外分光法は、振動分光法が持つ高い分子識別能と空間分解能を合わせ持つ分析方法であり、材料の構造、分子間の相互作用、化学組成などの情報を得ることができる。



日本分光（株）製 FT-IR-460Plus/IRT-30-16フーリエ変換型顕微赤外分光システムは、微小、微量サンプルだけでなく、従来マクロ分析されていたサンプルも顕微鏡を使用することによってさらに容易に測定できる。そのことによって測定の応用範囲を広げている。例えば、数十 μm 程度の微小・微量サンプル、あるいは不均一試料中の特定部位の非破壊測定が可能であるので、新素材、新しい微細デバイスの表面分析に威力を発揮できる。さらに、本システムは電場 ATR（全反射）ユニットを備えることにより、微小反応場におけるリアルタイムでの計測が可能で、それにより導電性ポリマーの重合過程、タンパク質結晶の成長メカニズム及び微小電極上での電気化学反応などの動的な解析が可能になる。このシステムはコンピュータの CRT 上でサンプルの測定部位を確認できる CCD カメラシステムが内蔵され、マウス操作によりアパーチャの開口面積や角度を自由に制御できるなどの特徴を有しており、初心者でも容易に測定を行える。赤外顕微鏡ユニット IRT-30は透過、反射の測定モードでの測定が可能で、特に透過性の低い金属や無機焼結体などの試料あるいは微量成分の検出に適している。また、試料ステージを1次元あるいは2次的に駆動させ、多点のスペクトルを測定することによって、特定官能基の分布を捕らえることができる。

本システムの OS は、Windows2000を採用しており、優れた操作性を示すと同時に、測定及び解析用ソフトウェアも既にセンターに導入した他の機種との互換性があるので、ユーザーにとって違和感なく使用できると思われる。

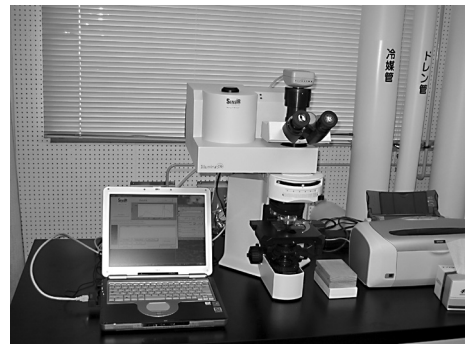
3) プローブ式分光計

当分野にはメトラートレド製 ReactIR 4000が設置されている。このシステムは棒状のプローブ ($\phi 6\text{ mm}$) を溶液中に直接差込んで赤外吸収スペクトルを測定することが可能であり、連続的な測定により実際の反応条件における分子のリアルタイムな動的化学変化を定量的に可視化してくれる。例えば、化学反応中にのみ存在する微量の反応中間体の同定ができ、原料の消失速度、生成物の生成速度をピーク強度の変化から定量的に観察することができるため、化学反応機構、次数の解析に多に役立つ。プローブ部の材質は化学的に極めて安定なダイヤモンド結晶と耐腐食性のハステロイであるため、ダイヤモンドの赤外吸収帯 $2200\text{--}1900\text{ cm}^{-1}$ 付近の測定は原理的に制限されてしまうが、温度範囲 $-80\sim 120^\circ\text{C}$ 、圧力範囲 $0\sim 7$ 気圧、pH 範囲 $1\sim 14$ と極めて幅広い範囲の条件で測定できる。



4) 顕微・接触型分光計

IlluminatIR は顕微 FT-IR の一種であり、 $12\sim 100\mu\text{m}$ の微小・微量サンプルや不均一試料中の特定部位の非破壊測定が可能です。この装置はオリンパス社製の一般的な光学顕微鏡に IR 測定ユニットと CCD カメラを追加しただけであり、操作方法が理解しやすいのが特徴です。この装置も接触式のダイヤモンド ATR センサーで測定するため、赤外反射板などの特殊なステージは必要ありません (通常の反射測定モードもあります)。また、測定部はダイヤモンドを通して直接目視することができるため正確な位置情報が得られ、またその映像は CCD カメラによりデジタルデータとして保存もできます。WindowsXP 上で動作する簡単なオペレーティングソフトウェアで操作できますので、初心者でもすぐに使いこなすことができます。



11. 円二色性分散計 (CD) (機器分析室 5)

分子が鏡に映った鏡像 (対掌体) と重ね合わせることができない立体配置をもつとき、その性質をキラリティーといい、その分子をキラルな分子という。この場合、この分子とその対掌体は光学異性体対をなし、一方の立体配置が R 配置ならば、もう一方の配置は S 配置と呼ばれる。生体物質では、キラリティーをもつ立体配置の一方のみが実現しており、それらを構成する分子鎖が立体的にうまく折り畳まれた状態 (高次構造) においてそれらの分子の固有の機能が発現する。代表的な例は、アミノ酸、ホルモン、酵素、タンパク質、核酸、糖類などに見られる。したがって、生体分子の高次構造の解明においてはこれら対掌体のうちのいずれが存在するかを決定すること (絶対構造の決定) は重要である。キラルな分子は、左回り円偏光と右回り円偏光を異なった強度で吸収する。この性質を円偏光二色性 (optical circular dichroism [CD]) という。左回り円偏光と右回り円偏光に対する吸光度の差を波長に対してプロットしたものが CD スペクトルであるが、これはその分子の絶対配置に固有のパターンを示し、従って、得られた CD スペクトルを絶対構造既知のスペクトルと比較検討することにより、未知物質の絶対配置の決定が可能となる。平成14年3月に当分野に日本分光 J-820円二色性分散計が更新設置された。



【主な仕様】

光源：450W Xe ランプ (水冷方式)

波長測定範囲：163～1100nm

波 長 精 度：163～180nm：±0.2nm；180～250nm：±0.1nm；

250～500nm：±0.3nm；500～800nm：±0.8nm；

800～1100nm：±2nm

波 長 走 査：1～10000nm/min

C Dスケール：±10mdeg；±200mdeg；±200mdeg

入力チャンネル：内部入力チャンネル数：2；外部入力チャンネル数：2

データ処理：スペクトル表示、重ね書き、四則演算、差スペクトル、ベースライン補正、微分、ピーク高さ・面積・半値幅算出、スムージング、拡大縮小、ピーク検出、データ変換（JCAMP-DX、テキスト形式）、印刷レイアウト機能（JASCO Canvas）等。

そ の 他：CD、UV スペクトルの同時測定可能；ペルチェ式温度コントローラ装備

12. 有機微量元素分析装置（機器分析室1）

有機物は完全に燃焼分解すると、 H_2O 、 CO_2 、 N_2 ガスになる。元素分析装置CHNコーダーは、試料を完全燃焼分解し、 H_2O 、 CO_2 、 N_2 ガスをそれぞれ熱伝導度検出器で定量して試料の構成元素C・H・N量を測定するものである。その分析結果によって化合物の純度、組成などを求め、化合物の同定を行う。微量元素分析は化学、医学、薬学及び農学などで広く利用されている。

当分野はヤナコ分析工業（株）製CHNコーダーMT-6元素分析装置と酸素分析キットを所有している。装置の制御及びデータ処理はコンピュータにより容易に行われ、分析データはWordやExcelなどへの貼り付けが可能である。

【仕 様】

測定元素：炭素、水素、窒素、または酸素（酸素分析キット装備）

測定範囲：炭素：3～2600 μ g；水素：0.5～400 μ g；窒素：1～1000 μ g；酸素：50～1000 μ g

測定精度：絶対誤差 0.3%以内

試 料 量：通常2mg前後 微量はかりにて秤量

分析能力：5～10回/時、オートサンプラーにより20検体の連続分析が可能である

安定時間：スイッチオンから約90分で分析可能



13. 顕微レーザーラマン分光システム（機器分析室1）

レーザーラマン分光法は最も汎用性のある分光分析法の一つとして利用できる。この分光法では、照射されたレーザー光と物質との相互作用により散乱されるラマン光を測定することにより、化合物の分子種、原子団の種類、結合結晶構造、分子の配向特性などの情報が得られる。ラマン分光法は、赤外など他の分光法に比べて、サンプリングが容易、固体、液体、気体などを問わずに非破壊分析できる、またはin-situの分析ができるなどの特長を有する。そのため、半導体、ナノ材料、機能性有機高分子の構造解析に不可欠な手段となっている。特に最近、金属、半導体ナノ粒子の表面プラズモン現象を利用した表面増感ラマンでは、シングルDNA分子の検出も可能となり、DNA、タンパク質などの生体分子の機能発現メカニズムに関する研究にも威力を発揮している。従って、レーザーラマン分光技術は、ナノ材料科学と遺伝子工学の双方に有用である。

当分野は日本分光（株）製NRS-1000シリーズ高感度・小型顕微ラマンシステムを所有している。



装置の特徴として以下の5つを挙げることができる。①励起レーザー波長は532nmで、安定的に使用できるように空冷、100Vの電源を使用されている。②レーザー光に対する安全対策としてクラスI (JIS規格) 相当でインターロックシステムに対応している。③高感度冷却型 CCD 検出器が搭載されており、532nm 励起でラマンシフト値は $100\sim 8000\text{cm}^{-1}$ の範囲で測定可能である。④試料室は、マイクロ (後方散乱) とマクロ (擬似後方散乱) の測定に両方対応でき、サンプルを設置したら、切替で両方の測定ができる。⑤内蔵 CCD とビデオキャプチャーにより試料の観察、レーザースポット、アパーチャ像を CRT モニタ上に表示することができ、共焦点光学系により最小 $1\ \mu\text{m}$ までの試料を測定することができる。

本システムは、コンピュータは Windows OS で制御され、また、真空、高圧などを必要とせず、マイクロからマクロ分析まで対応できるなどの特徴がある。この装置によって、今日最も必要とされる有機機能性材料、医薬、生体試料、半導体、環境試料などの分析や構造解析に関わる教育・研究を一層支援することができる。

14. 熱分析システム (DSC、TMA、TG/DTA) (機器分析室 5)

熱分析は、温度変化にともなう物質・材料の構造変化を調べる方法である。当分野には、①熱の出入りを検出する示差走査熱量計 (DSC) ②重量変化を検出する熱重量・示差熱同時測定装置 (TG/DTA) ③硬さや熱膨張、歪みを測定する熱・応力・歪測定装置 (熱機械分析装置; TMA) からなる熱分析システム EXSTAR-6000 (エスアイアイ・ナノテクノロジー製) が設置されている。

このシステムの測定対象は、有機物か無機物であるかを問わず、低分子化合物はもとより高分子材料や医薬品など、あらゆる分野の化合物・材料をカバーしている。本システムは、化合物や材料のさまざまな熱現象 (融解、ガラス転移、結晶化、硬化や重合等の反応、昇華・蒸発、熱分解・脱水、熱膨張・熱収縮、熱履歴など) の解明といった基礎研究における利用はもとより、新規開発材料の熱特性の評価、生産部門での品質管理まで、幅広い研究・開発を支援。

以下に、各測定モードの使用をまとめる。

1) エスアイアイ・ナノテクノロジー DSC6200

温度範囲: $-150\sim 725^{\circ}\text{C}$ 、感度: $1.6\ \mu\text{W}$ 。500 $^{\circ}\text{C}$ までの通常測定では、アルミニウム製試料容器を使用。固体以外に液体も測定可能で、試料量は 5-10mg。試料容器をクリンプあるいはシールするのは、ボタン操作だけで可能な電動サンプルシーラ (左の写真) で行う。温度変化は全自動ガス冷却ユニットによりコンピュータ制御。

2) エスアイアイ・ナノテクノロジー DSC6100

温度範囲: $-150\sim 500^{\circ}\text{C}$ 、感度: $0.2\ \mu\text{W}$ 。生体分野におけるタンパク質溶液等の高感度測定用。冷却は液体窒素溜めクーリングカンを使用。DSC6200と DSC6100は共通のベースユニット (コントロールユニット) を使用。炉体とセンサーのみが別使用。



3) エスアイアイ・ナノテクノロジー TG/DTA6300

水平差動方式、測定範囲: 室温から1500 $^{\circ}\text{C}$ 、感度: $0.2\ \mu\text{g}$ 。試料量は10mg 程度。実際の測定温度範囲に応じて、アルミニウム製、白金製、アルミナ製試料容器を使用。

4) エスアイアイ・ナノテクノロジー TMA/SS6100

温度範囲：-150~600℃

5) エスアイアイ・ナノテクノロジー TMA/SS6300

温度範囲：室温~1500℃

TMA/SS6100と TMA/SS6300は共通の測定ユニットを使用。炉体とプローブのみが別。石英製（1000℃まで）およびアルミナ製膨張圧縮、針入、および引っ張り用プローブを常備。最大試料形状は10φ×25mm、TMA 範囲は± 5 mm。

15. 1) フェムト秒ファイバーレーザー（機器分析分野事務室、持出可）

本レーザーはクラス 3B のフェムト秒ファイバーレーザーであり、波長780nm、1560nm の 2 波長同時出力で、ともにパルス幅<100fs、平均出力>20mW、繰り返し周波数50±2 MHz である。ビームの出力形式はともに空間出力、TEM 00、縦偏光で、ビーム径はそれぞれ2.5±0.5mm (780nm)、4.0±1.0mm (1560nm) である。電源は商用 AC100V のみ、冷却水等は不要で、レーザーヘッドと制御装置のみで動作す



る。基本的に調整箇所と消耗品が無く、メンテナンス・フリーである。寸法はレーザーヘッドが145×98×40mm、制御装置が200×215×89mm で、質量は合計約 3 kg と小型で可搬である。同期信号出力端子（SMA）より、レーザー繰り返し周波数に同期した電気パルス信号が出力されている。リモートコントロールコネクタを介して、レーザー出停止、インタロック、レーザー出射状態のモニターができる。

15. 2) テラヘルツ分光走査型顕微鏡：THz-TDS（機器分析室 5）

この装置で発生・検出する電磁波の周波数帯域は、未開拓領域と呼ばれるテラヘルツ THz（直線偏光）である。これは、電波と赤外線との中間であるため、双方の特徴を合わせ持っている。すなわち、電波のように紙やプラスチックなどを透過し、光のように鏡やレンズで取り扱うことができる。電波より波長が短い分、イメージングにおける空間分解能を期待できる。さらに、材料や試薬などのテラヘルツ帯における吸収スペクトルを計測に用いることができる。



本テラヘルツ分光走査型顕微鏡の特徴を以下に記す。標準的には透過型のテラヘルツ分光走査型顕微鏡であるが、光学系の配置と制御ソフトウェアによって、空間分解の要/不要、透過型/反射型の計測ができる。具体的には、試料によって、空間分解しない/2次元走査/3次元走査と透過/反射が選択できる。光学系の配置を変更する際にはレーザーの精密な調整（<10ミクロン）が必要となるが、その為のレーザーのアライメントモジュールが用意されている。

クラス 3B のレーザーを用いているため、安全面には十分注意する必要がある。また、光学部品を汚損しないようにしなければならないが、それらにさえ留意すれば、容易にテラヘルツ波を扱うことの出来る装置である。

16. 3次元物質微細構造解析システム

1) X線マイクロCTスキャナ（機器分析室 5）

工業材料・食品・生体試料・有機材料・軽金属等のサンプルの3次元内部構造を非破壊で高分解能で観察できるマイクロCTスキャナである。SKYSCAN1172-GU型は撮像の拡大プロセスにおいてサンプルステージとX線カメラが同時に移動する最新の設計アーキテクチャを採用したシステムですので、従来のX線CTと比較して、数倍の速さでスキャンを実行でき、最高空間分解能は1μm以下を

達成する。測定手順は非常に簡単で、サンプルを試料台にセットし、倍率を決め、その透過像が180度または360度回転した時に測定範囲からはみ出ないことを確認すれば、あとは測定開始のコマンドをクリックするのみである。得られたデータの再構成は標準装備の NRecon ソフトウェアか高速再構成ソフトウェアの Instarecon により短時間で行うことができる。Instarecon ソフトウェアを使用すると1K X1K のデータが約25秒で再構成可能であり、再構成されたスライスデータは BMP、TIF、JPG 等のフォーマット及び数値データフォーマットで保存できる。定量解析ソフトウェアも充実しており、CT-Analyzer を用いると、空隙、パーティクルの分布、体積や表面積計算を行うことができる。また、3つの直交象限を同時に表示する DataView では任意の断面情報を観察でき距離を測定出来る。さらに3次元表示ソフトウェアの CT-Volume、CT-Vox により測定結果の3次元表示イメージを作成したり、ビデオイメージを作成することも可能である。SKYSCAN1172-GU には標準ステージの他に、冷却ステージ、加圧・引っ張り試験が可能な各種ステージも用意されている。

2) フロー式粒子解析装置 (機器分析室5)

画像式で粒度分布を測定する装置 (フロー式粒子像分析装置 FPIA-3000) は、これまで利用されてきた粒度分布測定装置とは異なり、粒子画像から粒子形状や径に関する情報を出す装置である。大きさと形の情報を2次元で解析することにより、これまでにない粒子の解析が可能となる。また個々の粒子の情報を計測するのみならず、多量の粒子を一度に測定することができるので、統計的信頼性を確保できる。測定範囲は0.5 μm ~160 μm で、レンズの交換により0.25 μm ~300 μm の範囲の粒子を測定が可能である。また、暗視野コンデンサーを使用することで輪郭が不明確な画像へ対応出来る。1回の測定で、最大約36万個の粒子を短時間(約2分)で測定し、連続測定や結果の合算も可能である。

3) 粒子径・ゼータ電位・分子量測定装置 (機器分析室5)

レーザー散乱光を用いて粒子径を測定する装置 (ゼータサイザーナノ、以下 Zetasizer Nano) は、散乱光検出技術を利用した各種の測定原理によって、ナノサイズ粒子の粒子径測定、ゼータ電位測定、及び分子量が1台で測定可能な装置である。各測定を組み合わせることにより構造や分子レベルでの修飾性の判断も可能である。

4) デジタルマイクロスコープ (機器分析室2)

ライカ DVM5000は高解像モニターが搭載され、高画質ライブ表示で観察ができる。最適な観察倍率に可変できるズーム機構で、従来の顕微鏡では難しかった、大きな対象物の非破壊検査、表面観察も容易に行える。ライカ伝統と実績の高い光学機能に、多機能な計測・解析モジュールを標準搭載したオールインワンシステムにより、2D解析はもちろん、高度な3D解析も可能である。

【医学施設】

1. 核磁気共鳴分光装置 (NMR)

外部静磁場に置かれた原子核が固有の周波数の電磁波と相互作用する現象 (核磁気共鳴) を用い物質を分析する装置。溶液状態で測定が出来、原子レベルの分解能を持つ。医学施設には、下記の3台のNMRが設置されている。

I) Bruker Biospin AVANCE III 800+クライオプローブ (医学生命科学棟 110)

- ・主にタンパク質をはじめとする生体高分子の立体構造解析・運動性の解析、相互作用部位の同定等に使用可能。
- ・磁場強度は18.8テスラ (水素の共鳴周波数800MHz)。
- ・ ^1H 、 ^{13}C 、 ^{15}N 、 ^2H 核を照射し ^1H で高感度の測定を行う多重共鳴測定が可能。



- ・クライオプローブによる測定感度の飛躍的な向上により、少し前では測定が難しいと考えられていたサンプル量でも測定可能となり、測定にかかる時間を飛躍的に短縮、16倍のサンプルスループットを実現している。
- ・検出器の自動最適化が可能。
- ・-5~50℃の温度範囲で±0.1℃以下の温度制御が可能。

II) Bruker Biospin AVANCE III 600+クライオプローブ (医学生命科学棟 110)

- ・主にタンパク質をはじめとする生体高分子の立体構造解析・運動性の解析、相互作用部位の同定等に使用可能。
- ・磁場強度は14.0テスラ (水素の共鳴周波数600MHz)。
- ・ ^1H 、 ^{13}C 、 ^{15}N 、 ^{31}P 、 ^2H 核を照射し ^1H で高感度の測定を行う多重共鳴測定が可能。
- ・クライオプローブにより測定感度は、飛躍的に向上。
- ・検出器の自動最適化が可能。
- ・-5~50℃の温度範囲で±0.1℃以下の温度制御が可能。



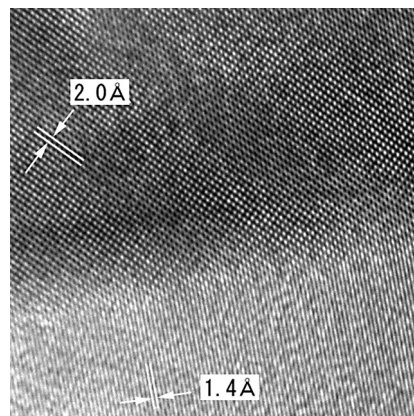
III) Bruker Biospin AVANCE III 500 (医学本館 8 F 8S28)

- ・主に有機化合物を対象とする。化学シフト、スピン-スピン結合、積分強度から分子構造がわかる。
- ・観測可能核種は、 ^1H 、 ^{19}F 、 ^{31}P ~ ^{109}Ag 。
- ・-5~50℃の温度範囲で±0.1℃以下の温度制御が可能。
- ・簡易測定用プログラムによりほぼ全自動で測定が可能。
- ・オートサンプラーにより最大24サンプルまでの全自動測定が可能。



2. 電界放射型透過電子顕微鏡 JEOL JEM-2100FGK (医学本館 7 F 7N16)

- ・ショットキータイプ電界放射型電子銃を搭載。
- ・加速電圧は80kV、100kV、120kV、160kV、200kVに可変。
- ・液体窒素温度 (<-196℃) の冷却試料ステージを使用可能。
- ・タンパク質の水包埋試料に最適化された対物レンズを搭載。一般的な生体関連試料にも対応可能。
- ・光学系はオングストロームオーダーの分解能。
- ・拡大像のほか、電子線回折像も撮影可能。
- ・電子線用 CCD カメラにより、撮影画像をデジタルデータとして取得可能。取得画像データに対し2次元フーリエ変換など各



金結晶薄膜 (直接倍率 x1,000,000)



種解析処理が可能。

- ・フィルム撮像記録にも対応。
- ・最大 $\pm 80^\circ$ までの試料傾斜に対応し、電子線トモグラフィーシステムを搭載。3次元再構成、サーフェスレンダリング、ボリウムレンダリング処理に対応。

3. 超高輝度X線回折装置 Rigaku FR-E SuperBright (医学生命科学棟 114)

- ・回転対陰極式 Cu K α 線光源 (波長 1.54\AA)。
- ・イメージングプレート (R-AXIS VII) によるデジタルデータ取得。
- ・高輝度光源と高感度検出器の組み合わせにより、実験室内機でありながら $\sim 0.5\text{mm}$ 角サイズのタンパク質結晶に対して 1.8\AA 程度以上の高分解能スポットを取得可能。
- ・冷却窒素ガス噴き付け機構により、データ取得中の試料冷却が可能。
- ・タンパク質結晶に最適化されたデータ半自動取得ソフトを搭載。概ね一晩で1セット分の回折データが取得可能。
- ・データ処理は、各回折スポットの積分強度の算出までは対応可能。電子密度マップの算出については、実験手法に大きく依存するので要相談。
- ・タンパク質と阻害剤低分子化合物との複合体の構造解析などに威力を発揮。



4. 電子スピン共鳴装置 (ESR) Bruker Biospin EMXmicro (医学生命科学棟 111)

磁場の影響下に置かれた試料中の不対電子は、ある特定のエネルギーを持つ (周波数の) マイクロ波を吸収し、高いエネルギー準位へと遷移する。この現象を利用することで不対電子の検出を行うのが電子スピン共鳴である。遷移金属イオンもしくは有機化合物中のフリーラジカルの検出に用いられる。



5. ルーチン用クリオスタット LEICA CM1850 (医学本館 7F 7N16)

急速凍結切片の作製のための装置。

- ・試料を -60°C まで急速に凍結できる。
- ・試料薄切厚: $1\sim 60\mu\text{m}$
- ・自動センタリング試料オリエンテーション機構
- ・広い凍結チャンバースペース



4. 新機種紹介

レオメーター---AR-G2 KG

ストレスレオメーターは応力（ストレス）を制御して主に液体サンプルの粘弾性特性を測定する装置です。米国ティー・エイ・インストルメント社製 AR-G2 KG は、幅広いトルク範囲、優れた歪分解能、広範囲な周波数等の特徴を持ち、低粘度溶液、溶融ポリマー、固体、反応物質等、その応用は広く多種多様な粘弾性測定に対応できます。AR-G2 KG は超低ナノトルクコントロールを可能にする磁気浮上方式ベアリングテクノロジーを世界で初めて採用したレオメーターです。ドラッグカップモーター、スマートスワップジオメトリ、イーサネットコミュニケーション等色々な特徴があります。数々の点で改良された AR-G2 KG の性能は突出しており、最も先端を行くストレスレオメーターといえます。



ペルチェプレート

最も一般的な温度コントロールオプションで、測定温度範囲が -40°C ~ 200°C 、昇温速度は最速 $20^{\circ}\text{C}/\text{min}$ 、温度正確性は $\pm 0.1^{\circ}\text{C}$ です。PRT（白金抵抗体サーモメーター）がプレートの中央に設置されているため、正確な温度測定とコントロールを可能にします。

環境テストチャンバー（ETC）

加熱方法としてコンベクション（対流）/ラジエントヒーティング（放射加熱）方式を採用しています。これは特にポリマー評価に適し、パラレルプレート、コーンプレート、ディスクポザブルプレート、と共に使用されます。ETC 使用時の測定温度範囲は -160 ~ 600°C で、昇温速度は最大で $60^{\circ}\text{C}/\text{min}$ です。また、液体窒素タンクを接続して低温測定も可能になります。



界面レオロジー測定用ダブルウォールリングシステム



界面とはある均一な気体、液体や固体の相が他の均一な相と混ざり合わずに接している境界のことです。コロイド系で重要な特徴の一つとなります。従来より、レオメーターは物質のバルク特性を解析するために使用されてきました。医薬品、食品、パーソナルケア製品、コーティングなどの多くの物質には、明らかにレオロジー的な性質を持つ2次元液/液、あるいは気/液相があります。ナノトルク感度を有する AR-G2 KG とダブルウォールリング（DWR）システムとを組み合わせることで、より高精度な界面の粘弾性測定が可能となりました。

共軸円筒

非常に低粘度な溶液、安定性のない分散系測定には共軸円筒を使用します。スマートスワップ共軸円筒は、最速昇温速度 $15^{\circ}\text{C}/\text{min}$ で、 -20 ~ 150°C の測定温度範囲を可能にするペルチェで温度コントロールを行います。



動的粘弾性測定装置---DMA Q800KG

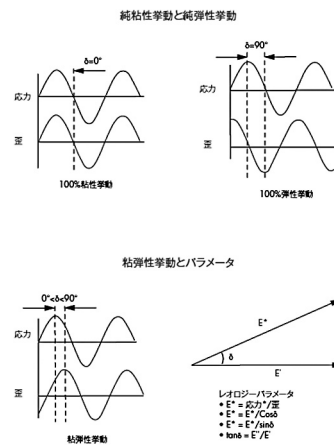
動的粘弾性測定、DMA

DMA は固体材料の粘弾性特性を測定する一般的な測定装置です。材料の弾性と粘性の両方の性質は2つの正弦波（入力と出力）間の位相差で正弦波の歪（応力）と正弦波の応力（歪）を課して調べ

ることができます。位相角は純粋な粘性材料では 0° 、純粋な弾性材料は 90° です。動的粘弾性材料では変形の割合に応じて $0\sim 90^\circ$ の間の位相角を示します。

下に得られたレオロジーパラメータの種類と正弦波の応答を示します。粘弾性パラメータは変形の振幅、周波数、時間、温度の関数として測定され、各々の重要な測定例が示されます。

米国ティー・エイ・インスツルメント社製 Q800シリーズは世界中で販売されている感度の優れたDMAです。非接触式で、応力を正確にコントロールするリニアドライブテクノロジーや低摩擦であるエアベアリング等の最先端技術を搭載しています。歪は感度と分解能の高いオプティカルエンコーダテクノロジーを使って測定します。Q800KGは一段と高い性能を有し、特に複合材料のような固い材料に最適です。
 ガスクーリングアクセサリ



ガスクーリングアクセサリ (GCA) を使用すると -150°C の低温まで測定できるようになります。GCAは液体窒素冷却方式で正確な温度コントロールを可能にします。GCAは、タンク内の液体窒素量が減少すると測定完了後に自動的に液体窒素を補充するので、液体窒素切れのために測定が途中で停止することはありません。DMA Q800KGはGCAを使用することにより $-150\sim 600^\circ\text{C}$ の全温度範囲にわたる測定ができます。

クランプシステム パラレルプレートコンプレッション

サンプルを水平な台に置き、上部から別のプレートで圧縮して測定します。低～中弾性率の物質（発泡剤やエラストマー等）に適しています。膨張または収縮の測定や接着剤のタックテストも可能です。



フィルム/ファイバー引張クランプ

サンプルは固定され、移動可能なクランプとの間で引っ張られます。オシレーション測定中は、わずかな静的応力がサンプルに不えられ。サンプルの弛みがない様に制御されます。フィルムやファイバーの測定に適しています。



小型蛍光寿命測定装置 Quantaurus-Tau C11367-01

Quantaurus-Tau（小型蛍光寿命測定装置）は、サブナノ秒～ミリ秒の蛍光寿命を測定する装置です。試料をサンプル室にセットし、計測ソフトウェアに数項目の指示を入れるだけの簡単操作で、高精度な蛍光寿命・PLスペクトルを短時間で測定することができます。基本的な測定ならば、わずか60秒ほどで解析結果まで導き出すことが可能です。蛍光寿命の応用は多岐に渡りますが、代表的なものとして、有機金属錯体の分子内、分子間電子移動やエネルギー移動反応、有機EL素子の開発に欠かせない材料の蛍光やりん光寿命計測、蛍光蛋白質のFRET（エネルギー移動）、太陽電池やLED用の化合物半導体の良否判定等があります。同じ波長でも蛍光寿命の異なる物が複数存在し、存在比率がどれほどであるかなど、より多くの情報を得ることが可能になります。

特徴

- フォトンカウンティング法による高感度計測
- 100ps～の時間分解能（デコンボリューションによる）
- 極低温（ -196°C ）での測定が可能（対象：溶液）

- りん光計測が可能
- 蛍光異方性の時間分解測定（オプション）
- 蛍光スペクトル測定
- 省スペース、コンパクトな設計

仕様

蛍光測定波長範囲：300nm～800nm

励起光源：LED光源7種類（280nm、340nm、365nm、405nm、470nm、590nm、630nm）

サンプルホルダ：溶液用（標準：10mm角セル対応）

測定時間レンジ：2.5ns～50μs/full scale

りん光計測：50μs～50ms/full scale

りん光励起波長：（280nm、340nm、365nm、405nm、470nm、590nm、630nm）から選択

時間軸チャンネル：512ch、1024ch、2048ch、4096ch

総合時間分解能：< 1 ns（IRFのFWHMにおいて）

解析機能：最大5成分までの指数関数 Fitting による蛍光寿命解析、スペクトル解析

絶対 PL 量子収率測定装置 Quantaurus-QY C11347-01/C11347-02

Quantaurus-QY（絶対 PL 量子収率測定装置）は、フォトルミネッセンス法により、発光量子収率の絶対値を瞬時に測定する装置です。サンプルホルダをセットし、計測ソフトウェアに数項目の指示を入れるだけで、発光量子収率や励起波長依存性、PL 励起スペクトルなどを短時間で測定できます。基本的な測定ならば、わずか1分ほどで解析結果までを導き出すことが可能です。量子収率測定装置は、開発から研究分野における様々な分野で行われています。代表的な物に有機 EL 材料、白色 LED や FPD 用蛍光体など各種発光材料の品質向上、有機金属錯体の研究、色素増感太陽電池用色素の基礎特性の評価、生物分野における蛍光プローブの効率測定などがあります。サンプルは、溶液、粉末、固体、薄膜に対応が可能で、溶液試料を液体窒素温度に冷却する事もできます。

特長

- 発光材料の絶対量子収率を測定（PL 計測）
- 積分球の採用により全光束を測定
- 裏面入射型冷却 CCD センサの採用により、超高感度、高 S/N 測定
- 極低温（-196℃）での測定が可能（対象：溶液）
- 励起波長の自動制御
- 省スペース、コンパクトな設計
- 豊富な解析機能：発光量子収率測定・励起波長依存性
- 発光スペクトル・PL 励起スペクトル

仕様

PL 計測波長範囲：300nm～950nm（C11347-01）

：400nm～1100nm（C11347-02）

励起光源：150W Xe ランプ

励起波長：250nm～850nm（C11347-01）

：375nm～850nm（C11347-02）

バンド波長：FWHM 10nm 以下

励起波長制御：自動

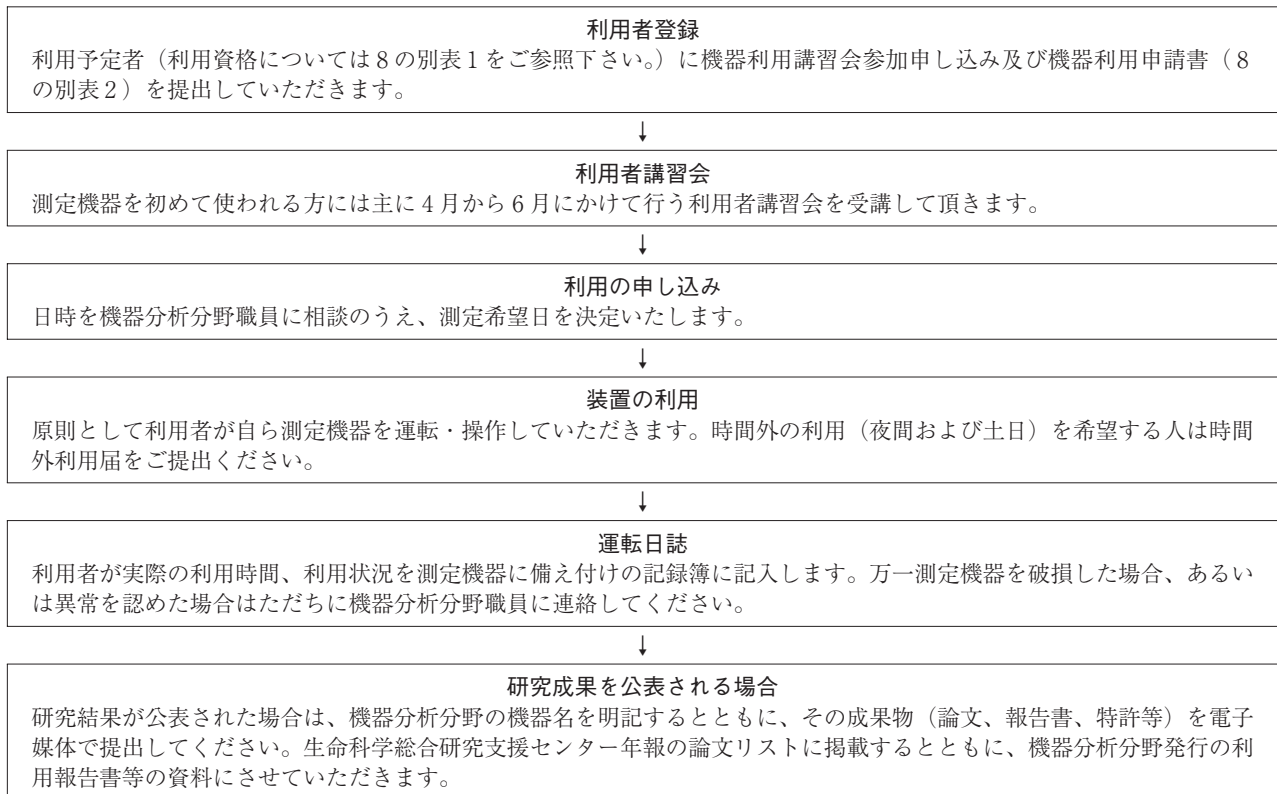
波長分解能：< 2 nm（C11347-01）/< 2.5nm（C11347-02）

A/D 分解能：16bit

ソフトウェア：発光量子収率の測定、蛍光体発光効率測定（量子収率×吸収率）、量子収率の励起波長依存性、発光スペクトル（ピーク波長、FWHM）、PL 励起スペクトル、色計測（色度、色温度、演色性など）再吸収補正

4 利用の手引き

1. 機器分析分野利用の手順



◇それぞれの申込み用紙は機器分析分野のホームページに掲載してあります。

◇各機器の使用の際は、装置に備え付けの簡易マニュアルをご参照下さい。

◇問い合わせ

機器分析分野の利用手順に関する質問 → 機器分析分野専任教員および職員にご相談下さい。

機器分析分野の機器に関する質問(全般) → 機器分析分野専任教員および職員にご相談下さい。なお、利用者が機器分析分野のどの機器を利用してどのような研究を行っているかについては巻末の利用者研究論文一覧（2010）をご参照ください。

機器分析分野の機器の細かい測定のノウハウ・使用手順等 → 機器分析分野専任教員および協力員が相談に応じます。

機器分析分野の運営に関するご意見・ご質問等 → 機器分析分野専任教員、あるいは各部局の運営委員にご連絡下さい。

2. 計測機器の利用に関する申合せ

機器分析分野

（趣旨）

第1条 岐阜大学生命科学総合実験センター機器分析分野（以下「機器分析」という。）に設置され、別表1に定められた計測機器（附属品を含む。以下「計測機器」という。）の利用については、この申合せの定めるところによるものとする。

（管理）

計測機器とその測定室及び測定準備室の管理は、分野長の命により機器分析職員及び各計測機器毎に定められた協力員が行う。

（利用者の資格）

計測機器を利用できる者は、別表1に掲げた利用者の資格に該当する者とする。ただし、機器分析が行う講習会を受講した者に限る。

(利用の申請)

計測機器を利用しようとする者は機器利用講習会参加申し込み及び機器利用申請書を分野長に提出しなければならない。

(利用の承認)

第5条 分野長は、前条の申請が適当であると認めたときには、これを承認するものとする。

(変更の届出)

第6条 前条の承認を得た者は、機器利用講習会参加申し込み及び機器利用申請書の記載事項に変更が生じたときは、速やかにその旨を分野長に届け出なければならない。

(利用手続)

第7条 利用に先立って、利用者は、あらかじめ利用日時を機器分析職員に相談のうえ、測定申込簿に記入し予約しなければならない。

2 前項の予約を変更、若しくは中止する場合は遅滞なく機器分析職員に届け出なければならない。

3 利用者は、測定終了後、直ちに所定の記録簿に利用の項目を記入し、室内の清掃後機器分析職員に連絡しなければならない。

(注意義務)

第8条 利用者は、計測機器の正常運用が維持されるよう万全の注意を払い、かつ測定に関する所定の操作法を厳守しなければならない。万一、異常を認めたときは、直ちに機器分析職員又は協力員に連絡しなければならない。

(経費の負担)

第9条 測定経費は別表2に定める計測機器の測定料金によるものとする。なお予約時間をもって使用時間とし、超過した場合は超過時間を加算するものとする。

2 利用者が、故意又は過失により、装置及び測定室等に障害・破損等を引き起こした場合は、現状に復する費用を負担しなければならない。

(利用時間)

第10条 計測機器の利用時間は原則として機器分析の休業日以外の別表1に定める時間とする。ただし、必要と認められる場合はこの限りではない。

2 利用者が、午後5時から翌朝午前9時までの間に利用を希望する場合は、利用当日の午後4時までに必ず機器分析職員に届け出なければならない。

(利用の取消等)

第11条 利用者が、この申合せに違反し、又は測定機器の正常運用の維持に重大な支障を生じさせた場合、又はそのおそれのある場合は、分野長は利用の承認を取消し、又は一定期間の利用を停止することができる。

(雑則)

第12条 この申合せの実施に関し、必要な事項は分野長が定める。

附 則

この申合せは、平成16年4月1日から施行する。

附 則

この申合せは、平成17年4月1日から施行する。

附 則

この申合せは、平成18年4月1日から施行する。

附 則

この申合せは、平成20年5月1日から施行する。

附 則

この申合せは、平成22年4月1日から施行する。

附 則

この申合せは、平成22年11月1日から施行する。

別表1 利用者資格
(柳戸施設)

計測機器名(略称)	利用者の資格(注1、2)		利用時間および貸出し(注3、4)
透過型電子顕微鏡 (TEM、STEM、EDX)	本学の職員、大学院の学生および教育学部、地域科学部4年生(工学部、応用生物科学部に於いては、資格を有する教員または大学院生の立ち会いのもとで3ヶ月以上使用した者)		月曜日～金曜日 10:00～16:30 金曜日の17:00から月曜日の9:00迄は原則として利用できない。
走査型電子顕微鏡 (SEM)	SEM-4300(EDX付) SEM-4800	本学の職員、大学院の学生および教育学部、地域科学部4年生(工学部、応用生物科学部に於いては、資格を有する教員または大学院生の立ち会いのもとで3ヶ月以上使用した者)	月曜日～金曜日 9:00～17:00
	SEM-3000(N-SEM)	本学の職員、本学4年生以上	
電子顕微鏡関連 小型機器	蒸着装置、イオンスパッター、マイクロトーム、メッサー、ディンプルグラインダー、イオンミリング、精密イオンポリッシング、イオンコーター、カーボンコーター	本学の職員、本学4年生以上	月曜日～金曜日 9:00～17:00
	オスミウムコーター	本学の職員、大学院の学生および教育学部、地域科学部4年生(工学部、応用生物科学部に於いては、資格を有する教員または大学院生の立ち会いのもとで3ヶ月以上使用した者)	
X線光電子分析装置 (XPS)	Quantera-SXM	本学の職員、大学院の学生(4年生に於いては、資格を有する教員または大学院生の立ち会いのもとで3ヶ月以上使用した者)	月曜日～金曜日 9:00～17:00
高分解能質量分析装置 (MS)	JMS-700	本学の職員、資格を有する教員が認めた大学院の学生および4年生	月曜日～金曜日 9:00～17:00 JMS-700においては、各月の最終週をFABイオン源の装着期間とする。
	K9		月曜日～金曜日 9:00～17:00
	GCmate II	本学の職員、資格を有する教員が認めた大学院の学生および4年生	月曜日～金曜日 9:00～17:00 1ヶ月の内、第1週から第3週をGC測定、第4週の月曜日から水曜日の午前までをEI、DIhighmass測定、水曜日の午後から金曜日の夕方までをFAB測定とする。ただし、EI、DIhighmass測定・FAB測定については、前の週の金曜日の午前中までに予約がない場合、引き続き第4週もGC測定の週とする。
	AccuTOF		月曜日～金曜日 9:00～17:00
液体クロマトグラフ (Agilent1100)	本学の職員、資格を有する教員が認めた大学院の学生および4年生		月曜日～金曜日 9:00～17:00
フーリエ変換 核磁気共鳴装置 (FT-NMR)	400MHz 600MHz 500MHz	本学の職員、本学4年生以上	月曜日～金曜日 9:00～20:00
	固体(500MHz)	本学の職員、大学院の学生	
電子スピン共鳴装置 (ESR)	本学の職員、本学4年生以上		月曜日～金曜日 9:00～17:00
誘導結合プラズマ発光 分析装置(ICP-AES)	本学の職員、本学4年生以上		月曜日～金曜日 9:00～17:00
走査型プローブ顕微鏡 システム(SPM)	本学の職員、本学4年生以上		月曜日～金曜日 9:00～17:00

超高速現象解析システム	超高速撮影装置 (UHC)	本学の職員、大学院の学生および本学職員立ち会いのもと本学4年生	月曜日～金曜日 9:00～17:00 貸出し：1日および1週間単位で最大2週間まで延長可 旧装置貸出し：最長2ヶ月(4月～9月)、最長1か月(10月～3月)
	高速ビデオ装置 (HV)		月曜日～金曜日 9:00～17:00 貸出し：1日および1週間単位で最大2週間まで延長可 旧装置貸出し：最長2ヶ月(4月～9月)、最長1か月(10月～3月)
	光増幅光学装置 (II)		月曜日～金曜日 9:00～17:00 貸出し：1日および1週間単位で最大2週間まで延長可 原則として高速ビデオとセットで利用すること。
	パルスジェネレータ (PG)		月曜日～金曜日 9:00～17:00 貸出し：1日および1週間単位で最大2週間まで延長可 原則としてPG単独の貸出しは行わない。
	熱画像解析装置 (TC)		月曜日～金曜日 9:00～17:00 貸出し：1日および1週間単位で最大2週間まで延長可 旧装置貸出し：最長2ヶ月(4月～9月)、最長1か月(10月～3月)
	PIVシステム		月曜日～金曜日 9:00～17:00 貸出し：1日および1週間単位で最大2週間まで延長可
分光蛍光光度計	本学の職員、本学4年生以上	月曜日～金曜日 9:00～17:00	
紫外可視分光光度計 (UV-Vis)	本学の職員、本学4年生以上	月曜日～金曜日 9:00～17:00	
フーリエ変換型赤外分光光度計 (FT-IR)	透過型	本学の職員、本学4年生以上	月曜日～金曜日 9:00～17:00
	顕微反射型		
	プローブ式		
	顕微接触型		
円二色性分散計 (CD)	本学の職員、本学4年生以上	月曜日～金曜日 9:00～17:00	
有機微量元素分析装置 (CHNO)	本学の職員、大学院の学生	月曜日～金曜日 9:00～17:00	
顕微レーザーラマン分光システム	本学の職員、本学4年生以上	月曜日～金曜日 9:00～17:00	
熱分析システム (DSC、TMA、TG/DTA)	本学の職員、大学院の学生 本学4年生は、指導教員が特に許可した者	月曜日～金曜日 9:00～17:00	
フェムト秒ファイバーレーザー	本学の職員、本学4年生以上	月曜日～金曜日 9:00～17:00 貸出し：1日および1週間単位で最大2週間まで延長可	
テラヘルツ分光走査型顕微鏡	本学の職員、本学4年生以上	月曜日～金曜日 9:00～17:00	
X線マイクロCTスキャン	本学の職員、博士課程(工学部に於いては博士後期課程)の学生、修士(博士課程前期)課程は指導教員が任命した研究室代表者)	月曜日～金曜日 9:00～17:00	
デジタルマイクロスコープ	本学の職員、本学4年生以上	月曜日～金曜日 9:00～17:00	
粒子径・ゼーター電位・分子量測定装置	本学の職員、本学4年生以上	月曜日～金曜日 9:00～17:00	
フロー式粒子像分析装置	本学の職員、本学4年生以上	月曜日～金曜日 9:00～17:00	
旋光度計	本学の職員、本学4年生以上	月曜日～金曜日 9:00～17:00	
レオメーター	本学の職員、本学4年生以上	月曜日～金曜日 9:00～17:00	
動的粘弾性測定装置	本学の職員、本学4年生以上	月曜日～金曜日 9:00～17:00	

注1：利用者は、分野長が特に適当と認めた者を利用可能とする。

注2：いずれも大学院の学生には、医学部および応用生物科学部獣医学科の5、6年生を含む。

注3：17：00以降の利用希望者は「時間外利用届」を16：00迄に提出下さい。

注4：貸出しに際しては本学職員の立ち会いのもとに行うこと。2週間を越えてさらに貸出し利用を希望する場合は改めて申請すること。

(医学施設)

計測機器名(略称)	利用者の資格(注1、2)		利用時間および貸出し(注3、4)
フーリエ変換核磁気共鳴装置(FT-NMR)	500MHz	本学の職員、本学4年生以上	月曜日～金曜日 9：00～17：00
	600MHz	本学職員、センター教員および指導教員が許可した大学院生	
	800MHz		
超高輝度X線回折装置	本学の職員、博士課程(工学部に於いては博士後期課程)の学生修士(博士課程前期)課程は指導教員が任命した研究室代表者) 利用する前に、放射線作業従事者の講習会を受講すること		月曜日～金曜日 9：00～17：00
ルーチン用クリオスタット	本学の職員、本学4年生以上		月曜日～金曜日 9：00～17：00
電界放射型透過電子顕微鏡(TEM)	本学の職員、大学院の学生および教育学部、地域科学部4年生(工学部、応用生物科学部に於いては、資格を有する教員または大学院生の立ち会いのもとで3ヶ月以上使用した者)		月曜日～金曜日 10：00～16：30 金曜日の17：00から月曜日の9：00迄は原則として利用できない。
電子スピン共鳴装置(ESR)	本学の職員、本学4年生以上		月曜日～金曜日 9：00～17：00

注1：利用者は、分野長が特に適当と認めた者を利用可能とする。

注2：いずれも大学院の学生には、医学部および応用生物科学部獣医学科の5、6年生を含む。

注3：17：00以降の利用希望者は「時間外利用届」を16：00迄に提出下さい。

別表2 機器分析分野利用申請書
(柳戸施設)

平成24年度 岐阜大学生命科学総合研究支援センター機器分析分野(医学施設)
機器利用講習会参加申し込み及び機器利用申請書

岐阜大学 生命科学総合研究支援センター
機器分析分野長 殿

下記の通り機器分析分野機器を利用したいので、講習会に参加した後、岐阜大学生命科学総合研究支援センター機器分析分野利用規則を遵守し、申請します。

指導教員 (連絡責任者)	(氏名)		印	(職名)		
	(所属)	学部	学科	講座名		
	TEL:					
	電子メールアドレス ()					
経費負担 責任者	(氏名)		印	(職名)		
	(所属)	学部	学科	講座名		
	TEL:					
利用希望 機器名						
申請者	氏名	職名(学年)	内線	電子メールアドレス	講習会参加希望および受講済者	備考

機器分析分野記入欄

受付番号		受付日	
------	--	-----	--

お願い
なお、本研究に関して発表した論文には使用した機器分析分野の機器名を明記することとし、論文別刷り1部または電子ファイルを機器分析分野に提出にご協力をお願いいたします。

岐阜大学生命科学総合研究支援センター 機器分析分野長

- 注意
- 1 機器の使用に当たっては、機器ごとの使用申込書を別途提出してください。
(NMR500・600・800MHz3台利用するといった場合、それぞれ別に提出して下さい)
 - 2 この申請書に登録(氏名)の無い方は利用できません。また、機器を使用するには教員が講習会済みまたは参加希望することを原則とします。講習会の日程は連絡責任者宛にe-mailで連絡します。
 - 3 センターの利用期間は当該年度内としてください。
 - 4 新規利用者又はパスワード変更希望者は下の欄を記入してください。
(装置の予約にログインIDとパスワードが必要です。英数字6文字以上で設定してください。)

ログインID		パスワード	
--------	--	-------	--

(医学施設)

平成 24 年度 岐阜大学生命科学総合研究支援センター機器分析分野(医学施設)
機器利用講習会参加申し込み及び機器利用申請書

岐阜大学 生命科学総合研究支援センター
機器分析分野長 殿

下記の通り機器分析分野機器を利用したいので、講習会に参加した後、岐阜大学生命科学総合研究支援センター機器分析分野利用規則を遵守し、申請します。

指導教員 (連絡責任者)	(氏名)	印	(職名)			
	(所属) 学部	学科	講座名			
	TEL:					
	電子メールアドレス ()					
経費負担 責任者	(氏名)	印	(職名)			
	(所属) 学部	学科	講座名			
	TEL:					
利用希望 機器名						
申請者	氏名	職名(学年)	内線	電子メールアドレス	講習会参加希望および受講済者	備考

機器分析分野記入欄

受付番号		受付日	
お願い なお、本研究に関して発表した論文には使用した機器分析分野の機器名を明記することとし、論文別刷り1部または電子ファイルを機器分析分野に提出にご協力をお願いいたします。 <p style="text-align: center;">岐阜大学生命科学総合研究支援センター 機器分析分野長</p>			

- 注意
- 1 機器の使用に当たっては、機器ごとの使用申込書を別途提出してください。
(NMR500・600・800MHz3台利用するといった場合、それぞれ別に提出して下さい)
 - 2 この申請書に登録(氏名)の無い方は利用できません。また、機器を使用するには教員が講習会済みまたは参加希望することを原則とします。講習会の日程は連絡責任者宛にe-mailで連絡します。
 - 3 センターの利用期間は当該年度内としてください。
 - 4 新規利用者又はパスワード変更希望者は下の欄を記入してください。
(装置の予約にログインIDとパスワードが必要です。英数字6文字以上で設定してください。)

ログインID	
--------	--

パスワード	
-------	--

別表3 時間外利用届

生命科学総合研究支援センター機器分析分野 時間外利用届

指導 教員名		印			
在 室 者	学部				
	学科				
	講座				
	内線		身分 (学年)		氏名
使用する機 器の番号に ○をつけて ください。	1. フーリエ変換超伝導核磁気共鳴装置 (FT-NMR 400・600MHz)				
	2. フーリエ変換超伝導核磁気共鳴装置 (FT-NMR 500MHz・固体)				
	3. 質量分析装置 (MS JMS-700, JMS-K9, GCmate II, AccuTOF, 液クロ)				
	4. 顕微レーザーラマン分光システム				
	5. 有機微量元素分析装置				
	6. 電子顕微鏡 (TEM 日立, TEM 日本電子, SEM4300, SEM4800, SEM3000)				
	7. 蒸着装置・イオンスパッター・ディンプルグラインダー・イオンミリング装置・精密イオンポリッシング・ネオオスミウムコーター・イオンコーター・カーボンコーター・ダイヤモンドワイヤーソー				
	8. 電子スピン共鳴装置 (ESR)				
	9. 走査型プローブ顕微鏡 (SPM)				
	10. ミクロトーム・メッサー				
	11. デジタルマイクロスコープ				
	12. 紫外可視分光光度計 (UV)				
	13. 赤外分光光度計 (パーキン, 日本分光, Illuminat, React)				
	14. 円二色性分散計 (CD)				
	15. X線光電子分析装置 (Quantera)				
	16. テラヘルツ分光走査型顕微鏡				
	17. フェムト秒ファイバーレーザー				
	18. 誘導結合プラズマ発光分析装置 (ICP)				
	19. マイクロウェーブ				
	20. 熱分析システム (DSC, TG/DTA, TMA)				
	21. X線マイクロCT スキャナ				
	22. 粒子径・ゼータ電位・分子量測定装置				
	23. 粒子径・粒子形状測定装置				
	24. 旋光計				
	25. 動的粘弾性測定装置・レオメーター				
	26. 量子収率・蛍光寿命				
	27. 分光蛍光光度計				
利用日時	月 日 () 時 分 ~				
	月 日 () 時 分				

3. 受託試験

岐阜大学生命科学総合研究支援センター受託試験、測定及び検査等取扱要項

(趣旨)

第1 岐阜大学生命科学総合研究支援センター（以下「センター」という。）において、岐阜大学受託研究取扱規則第20条の規定に基づき行う定型的な試験、測定及び検査等の受託研究（以下「試験等」という。）の取扱いについては、この要項の定めるところによる。

(申込みの方法)

第2 試験等の申込みは、別紙様式第1号により行うものとする。

(受入条件)

第3 試験等の受入れの条件は、次の各号に掲げるものとする。

- 一 第6条に定める試験等の料金は原則として前納するものとする。ただし生命科学総合研究支援センター長（以下「センター長」という。）が特別の事由があると認めた場合には後納とすることができる。
- 二 委託者からの申し出により試験等を中止した場合においても料金は返還しない。ただし、特別の事情がある場合には、その全部または一部を返還することがある。
次に掲げる場合には、委託者の受ける損害に対してセンターはその責任を負わない。
イ やむを得ない事由によって試験等を中止したため損害が生じたとき。
ロ 試験等を行うために提出された材料等（以下「材料等」という。）に損害が生じたとき。
ハ 第7号の場合において、センターの機器等を使用する者の責による事由によって損害が生じたとき。
- 三 試験等の実施上センター長が必要と認めたときは、材料等の再提出を求めることができる。
- 四 材料等の搬入及び搬出は、すべて委託者が行うものとする。
- 五 センター長が受入れできないと判断した材料等に係る試験等については、受入れをしないことができる。
- 六 委託者が学内担当者の指導・立会の下で直接センターの機器等を使用する場合は、別紙様式第2号の使用申請書を提出し、同書の確認事項を遵守し試験等を行うこととする。ただし、使用者は、センターが行う機器分析の使用に関する講習会を受講した者に限る。

(受入れ及び結果の通知)

第4 試験等の受入れ及びその結果の通知は、センター長の定める手続を経て行うものとする。

(秘密の保持等)

- 第5 センター及び委託者は、試験等の実施で知り得た相手方の秘密、知的財産等を相手方の書面による同意なしに公開してはならない。
- 2 測定で得られたデータを委託者が公表する場合、原則として岐阜大学名を使用することはできない。また、岐阜大学を特定できる表現も同様とする。ただし、センター長が大学名の使用を許可した場合にはこの限りではない。

(試験等の料金)

第6 試験等の料金は、別表のとおりとする。ただし、研究教育上センター長が必要と認めて試験等のための材料等の提供を要請した場合には料金を収納しないことができる。

- 2 試験等の料金は、岐阜大学が発行する請求書により収納する。

附 則

この要項は、平成16年4月1日から実施する。

附 則

この要項は、平成20年4月1日から実施する。

附 則

この要項は、平成20年11月26日から実施する。

附 則

この要項は、平成22年11月24日から実施する。

別表 試験等の基本利用料金（注1、2）

機 器 名	数 量	料金(円)	
超伝導高分解能フーリエ変換核磁気共鳴装置			
H-NMR	1 検体	22,000	
C-NMR	1 検体	30,000	
2D NMR (COSY)	1 検体	43,000	
その他特殊測定		応相談	
電子スピン共鳴装置 (ESR)	基本測定 1 件	21,000	
	その他特殊測定	応相談	
質量分析装置			
低分解能測定	1 検体	21,000	
高分解能測定	1 検体	30,000	
質量分析装置用液体クロマトグラフ	24時間ごと	30,000	
有機微量元素分析装置	5 検体まで	21,000	
	1 検体追加ごと	4,000	
電子顕微鏡			
透過型電子顕微鏡 (TEM)	1 検体	42,000	
走査型電子顕微鏡 (SEM)	基本測定 1 件	20,000	
	その他特殊測定	応相談	
走査型 X 線光電子分光分析装置 (Quantera)-GS (ワイドスキャンを含む、4 元素まで)		40,000	
	その他の特殊測定	応相談	
超高速現象解析システム	1 検体	31,000	
蛍光分光光度計	基本測定 1 件	21,000	
走査型プローブ顕微鏡 (SPM)	基本測定 1 件	21,000	
	その他特殊測定	応相談	
誘導結合プラズマ発光分析装置 (ICP)	1 検体 (5 元素まで)	20,000	
	1 元素追加ごと	4,000	
フーリエ変換赤外分光光度計	透過型分光計	基本測定 1 件	21,000
	顕微・反射型分光計	基本測定 1 件	21,000
	プローブ式分光計	24時間ごと	33,000
	顕微・接触型分光計	24時間ごと	27,000
	紫外可視分光光度計	基本測定 1 件	21,000
	円二色性分散計	基本測定 1 件	21,000
	熱分析装置	1 検体	21,000
顕微レーザーラマン分光計	基本測定 1 件	21,000	
X 線マイクロ CT スキャン	1 検体	41,000	
粒子形状・粒子径測・ゼータ電位・分子量測定装置	基本測定 1 件	20,000	
デジタルマイクロスコープ	基本測定 1 件	21,000	

(注1) 消費税は料金には含まれておらず、別途請求する。

(注2) 前処理等が必要な場合については、別途相談の上、確定する。

4. 受託試験等の手続き

1. 受託試験等のご相談

受託試験や分析のご相談がありましたら、電話等にてご連絡ください。機器分析分野の職員が適切な機器担当者をご紹介します。

2. 打合せ日の決定

担当職員と試験について打合せを行う日程を調整してください。

3. 試験打合せ

機器分析分野にお越しいただき、担当の職員と試験内容、実施日等の打合せを行ないます。その時に試験サンプルや試験に関する資料がございましたら、一緒にお持ちください。なお、試験の内容や試験サンプルの形状によっては、試験が行なえない場合もあります。

4. 受託試験のお申し込み

受託試験を申し込まれる時は、依頼書にご記入いただき、利用料金をお支払いいただきます。

5. 試験等の実施

試験等実施日には、試験サンプルをお持ち込みいただき測定に同席してください。

6. データの受領

同席していただきながら得られたデータを基に担当の教職員と内容について協議し、データをお持ち帰り下さい。

別紙様式第1号

センター長	研究 支援課長	研究 支援課長補佐	研究施設係長	研究施設係	分野長	機器分析分野

受付番号 号 岐阜大学生命科学総合研究支援センター受託試験等依頼書 平成 年 月 日 国立大学法人岐阜大学生命科学総合研究支援センター長 殿 住所又は所在地 〒 - 企業等名及び代表者名 ⑩ (連絡先) 担当者 (所属・氏名) ⑩ 電話番号 FAX 番号 電子メール 岐阜大学生命科学総合研究支援センター受託試験、測定及び検査等取扱要項 (以下、「取扱要項」) の内容を熟知の上、次のとおり試験等を依頼します。			
供試物品名 及び数量	品 名		数 量
依頼事項 (使用する機器名等をご記入下さい。)			
相談希望日	平成 年 月 日	試験等実施希望日	平成 年 月 日
上記の内容について、取扱要項第3条一項のただし書きによる、取扱を認める。			センター長
試験等料金合計 (① + ②)			
料 金 内 訳	① 別表料金表による試験等の料金内訳	【使用機器 (試験等種別) : 数量 (件数) × 単価 = 円】	
	② 相談等により設定した (その他特殊測定等) 料金内訳	【積算等】 円	
試験等担当者			

※注 太線枠内を記入してください。取扱要項の内容を受け入れられない場合、依頼測定は行われません。

センター長	研究 支援課長	研究 支援課長補佐	研究施設係長	研究施設係	分野長	機器分析分野

岐阜大学生命科学総合研究支援センター分析機器等使用申請書

平成 年 月 日

国立大学法人岐阜大学
生命科学総合研究支援センター長 殿

所属機関（会社）住所 〒

所属機関（会社）名

使用者氏名 印

所属部署
電話番号 ()

下記の確認条項に同意し、分析機器等の使用について申請します。

- 1 分析機器使用・測定については、申込時に使用者が岐阜大学の担当者と十分な相談をして、「岐阜大学生命科学総合研究支援センター受託試験等依頼書」を提出する。
- 2 使用・測定の料金は使用前に納入するものとする。使用・測定を中止した場合においても料金は使用者に返還しない。
- 3 分析装置の故障などで測定できなくなった場合には、測定を延期することがあるが、それに関わる損害を使用者は請求できない。
- 4 センター長及び担当者は、使用者が機器を取り扱うのに十分な資質を有していないと判断したときには、いかなる時点においても作業を制止できる。また、毒物や法律等に触れるもの、さらに、機器を破損する恐れのあるものなどセンター長及び担当者が受入れできないと判断したものについては、測定を拒否する。
- 5 使用・測定については、使用者は単独とするのではなく、岐阜大学の担当者が同席して、担当者の指導・立会いの下で使用者が作業する。使用者の責任で機器を棄損または滅失したときには、使用者がこれを原形に復し、また損害を賠償する。
- 6 使用者は、機器の利用に当たって、関係法律を守り、安全衛生対策、事故防止に十分注意を払うものとする。また、使用者は、指定された場所以外に許可なく出入りすることはできない。
- 7 前記 6 の項目に反して、使用者の過失により本人が怪我または病気をした場合は、岐阜大学は一切責任を負わないものとする。
- 8 使用者は、承認された時間内に清掃を含めてすべての作業を終了する。
- 9 測定で得られたデータは、岐阜大学が保障するものではない。そのため、データの外部への公表において、いかなる場合においても岐阜大学名を使うことはできない。また、その際に岐阜大学を特定できる表現も使えない。ただし、センター長が大学名の使用を許可した場合にはこの限りではない。
- 10 前記 9 の項目に反して、外部に公表したことで岐阜大学が受けた被害及び損害については、使用者及びその会社が賠償するものとする。

5 活動報告

1. 機器の利用状況

(柳戸施設)

1-1 フーリエ変換核磁気共鳴装置 (JNM-ECA400P型 日本電子製)

納入年月日 平成19年3月28日

年度	区分	教育	地域	医	工	応生	連農	流域	生命セ	情報メ	連創	他	計
19	延検体数 (件)	1,301	0	0	812	2,470	0	0	1,360	0	0	0	5,943
	延使用时间(H)	271.5	0.0	0.0	360.5	1,662.5	0.0	0.0	895.0	0.0	0.0	0.0	3,189.5
20	延検体数 (件)	718	0	2	1,319	3,920	0	0	582	0	0	0	6,541
	延使用时间(H)	152.5	0.0	1.0	712.5	2,000.0	0.0	0.0	382.5	0.0	0.0	0.0	3,248.5
21	延検体数 (件)	884	0	0	1,772	3,407	0	0	7	0	0	0	6,070
	延使用时间(H)	349.5	0.0	0.0	979.5	1,993.5	0.0	0.0	4.5	0.0	0.0	0.0	3,327.0
22	延検体数 (件)	1,124	0	4	1,094	1,749	0	0	169	0	0	0	4,140
	延使用时间(H)	339.0	0.0	2.5	938.0	1,104.0	0.0	0.0	94.5	0.0	0.0	0.0	2,478.0
23	延検体数 (件)	3,260	0	0	1,122	933	0	0	3	0	0	0	5,318
	延使用时间(H)	813.5	0.0	0.0	700.5	432.0	0.0	0.0	12.0	0.0	0.0	0.0	1,958.0

1-2 フーリエ変換核磁気共鳴装置 (JNM-ECA600型 日本電子製)

納入年月日 平成19年3月28日

年度	区分	教育	地域	医	工	応生	連農	流域	生命セ	情報メ	連創	他	計
19	延検体数 (件)	2,017	0	0	497	1,896	0	0	723	0	0	0	5,133
	延使用时间(H)	525.0	0.0	0.0	244.0	1,919.0	0.0	0.0	886.5	0.0	0.0	0.0	3,574.5
20	延検体数 (件)	2,308	0	0	345	2,711	0	0	785	0	0	0	6,149
	延使用时间(H)	574.0	0.0	0.0	296.5	1,911.0	0.0	0.0	999.0	0.0	0.0	0.0	3,780.5
21	延検体数 (件)	2,600	0	0	1,104	2,847	0	0	0	0	0	0	6,551
	延使用时间(H)	952.0	0.0	0.0	1,017.0	2,262.0	0.0	0.0	0.0	0.0	0.0	0.0	4,231.0
22	延検体数 (件)	2,349	0	0	510	4,145	0	0	153	0	0	0	7,157
	延使用时间(H)	684.0	0.0	0.0	481.5	2,784.0	0.0	0.0	376.0	0.0	0.0	0.0	4,325.5
23	延検体数 (件)	3,028	0	0	314	2,536	0	0	36	0	0	0	5,914
	延使用时间(H)	956.5	0.0	0.0	228.5	1,995.0	0.0	0.0	208.5	0.0	0.0	0.0	3,388.5

1-3 フーリエ変換核磁気共鳴装置 (JNM-ECA500型 日本電子製)

納入年月日 平成14年9月18日

管理換年月日 平成16年2月27日 (連農)

年度	区分	教育	地域	医	工	応生	連農	流域	生命セ	情報メ	連創	他	計
15	延検体数 (件)	1,838	0	0	963	406	0	0	652	0	0	0	3,859
	延使用时间(H)	666.0	0.0	0.0	572.5	126.5	0.0	0.0	400.5	0.0	0.0	0.0	1,765.5
16	延検体数 (件)	1,723	0	64	1,678	907	0	0	1,508	0	0	0	5,880
	延使用时间(H)	567.0	0.0	27.5	1,079.0	479.5	0.0	0.0	824.5	0.0	0.0	0.0	2,977.5
17	延検体数 (件)	734	0	52	1,415	769	0	0	549	0	0	0	3,519
	延使用时间(H)	241.5	0.0	19.5	967.5	717.0	0.0	0.0	291.0	0.0	0.0	0.0	2,236.5
18	延検体数 (件)	1,776	0	0	1,368	2,011	0	0	1,635	0	11	0	6,801
	延使用时间(H)	569.0	0.0	0.0	932.5	1,474.5	0.0	0.0	916.0	0.0	26.0	0.0	3,918.0
19	延検体数 (件)	845	0	0	375	1,207	0	0	675	0	1	0	3,103
	延使用时间(H)	212.5	0.0	0.0	2,446.5	1,994.5	0.0	0.0	748.5	0.0	2.0	0.0	5,404.0
20	延検体数 (件)	1,241	0	0	218	1,055	0	0	247	0	0	0	2,761
	延使用时间(H)	447.0	0.0	0.0	903.5	1,326.5	0.0	0.0	257.0	0.0	0.0	0.0	2,934.0
21	延検体数 (件)	855	0	0	232	840	0	0	0	0	0	0	1,927
	延使用时间(H)	380.5	0.0	0.0	238.0	1,135.5	0.0	0.0	0.0	0.0	0.0	0.0	1,754.0
22	延検体数 (件)	1,507	0	0	83	905	0	0	59	0	0	0	2,554
	延使用时间(H)	577.5	0.0	0.0	54.0	1,085.5	0.0	0.0	60.5	0.0	0.0	0.0	1,777.5
23	延検体数 (件)	458	0	0	23	143	0	0	12	0	0	0	636
	延使用时间(H)	175.5	0.0	0.0	93.0	263.0	0.0	0.0	15.5	0.0	0.0	0.0	547.0

1-4 フーリエ変換核磁気共鳴装置 (JNM-ESA500型 固体 日本電子製)

納入年月日 平成14年9月18日

管理換年月日 平成16年2月27日 (連農)

年度	区分	教育	地域	医	工	応生	連農	流域	生命セ	情報メ	連創	他	計
20	延検体数 (件)	0	0	0	46	19	0	0	0	0	0	0	65
	延使用时间(H)	0.0	0.0	0.0	826.5	173.0	0.0	0.0	0.0	0.0	0.0	0.0	999.5
21	延検体数 (件)	0	0	0	27	7	0	0	0	0	0	0	34
	延使用时间(H)	0.0	0.0	0.0	347.5	154.5	0.0	0.0	0.0	0.0	0.0	0.0	502.0
22	延検体数 (件)	0	0	0	74	17	0	0	0	0	0	0	91
	延使用时间(H)	0.0	0.0	0.0	784.5	742.5	0.0	0.0	0.0	0.0	0.0	0.0	1,527.0
23	延検体数 (件)	0	0	0	89	11	0	1	16	0	0	0	117
	延使用时间(H)	0.0	0.0	0.0	811.0	100.0	0.0	651.0	107.0	0.0	0.0	0.0	1,669.0

2 電子スピニング装置 (JES-FA100 日本電子製)

納入年月日 平成14年9月18日 管理換年月日 平成16年2月27日 (連農)

年度	区分	教育	地域	医	工	応生	連農	流域	生命七	情報メ	連創	他	計
15	延検体数 (件)	0	0	0	182	0	0	0	0	0	0	0	182
	延使用时间(H)	0.0	0.0	0.0	288.0	0.0	0.0	0.0	0.0	0.0	0.0	0.0	288.0
16	延検体数 (件)	0	0	0	276	0	0	0	0	0	0	0	276
	延使用时间(H)	0.0	0.0	0.0	479.0	0.0	0.0	0.0	0.0	0.0	0.0	0.0	479.0
17	延検体数 (件)	0	0	0	146	0	0	0	1	0	0	0	147
	延使用时间(H)	0.0	0.0	0.0	370.5	0.0	0.0	0.0	2.0	0.0	0.0	0.0	372.5
18	延検体数 (件)	0	0	0	160	0	0	0	0	0	0	0	160
	延使用时间(H)	0.0	0.0	0.0	294.5	0.0	0.0	0.0	0.0	0.0	0.0	0.0	294.5
19	延検体数 (件)	0	0	0	150	0	0	0	0	0	0	0	150
	延使用时间(H)	0.0	0.0	0.0	363.5	0.0	0.0	0.0	0.0	0.0	0.0	0.0	363.5
20	延検体数 (件)	0	0	0	10	0	0	0	0	0	0	0	10
	延使用时间(H)	0.0	0.0	0.0	29.0	0.0	0.0	0.0	0.0	0.0	0.0	0.0	29.0
21	延検体数 (件)	0	0	0	83	0	0	0	0	0	0	0	83
	延使用时间(H)	0.0	0.0	0.0	95.0	0.0	0.0	0.0	0.0	0.0	0.0	0.0	95.0
22	延検体数 (件)	0	0	0	225	0	0	0	0	0	0	0	225
	延使用时间(H)	0.0	0.0	0.0	656.5	0.0	0.0	0.0	0.0	0.0	0.0	0.0	656.5
23	延検体数 (件)	0	0	0	173	0	0	0	12	0	0	0	185
	延使用时间(H)	0.0	0.0	0.0	485.5	0.0	0.0	0.0	13.5	0.0	0.0	0.0	499.0

3-1 高分解能質量分析装置 (JMS-700 日本電子製)

納入年月日 平成16年1月19日

年度	区分	教育	地域	医	工	応生	連農	流域	生命七	情報メ	連創	他	計
16	延検体数 (件)	256	0	1	623	162	0	0	173	0	0	0	1,215
	延使用时间(H)	44.0	0.0	8.0	131.0	62.5	0.0	0.0	31.5	0.0	0.0	0.0	277.0
17	延検体数 (件)	209	0	1	581	93	0	0	30	0	0	0	914
	延使用时间(H)	32.5	0.0	1.5	168.5	45.0	0.0	0.0	9.0	0.0	0.0	0.0	256.5
18	延検体数 (件)	599	0	27	1,037	152	0	0	35	0	0	0	1,850
	延使用时间(H)	90.0	0.0	63.0	248.0	59.5	0.0	0.0	12.5	0.0	0.0	0.0	473.0
19	延検体数 (件)	722	0	8	585	120	0	0	166	0	0	0	1,601
	延使用时间(H)	100.5	0.0	19.5	159.0	63.0	0.0	0.0	54.5	0.0	0.0	0.0	396.5
20	延検体数 (件)	704	0	0	784	99	0	0	243	0	0	0	1,830
	延使用时间(H)	91.5	0.0	0.0	220.5	47.5	0.0	0.0	69.0	0.0	0.0	0.0	428.5
21	延検体数 (件)	751	0	33	1,274	140	0	0	0	0	181	0	2,379
	延使用时间(H)	144.5	0.0	32.0	320.0	69.5	0.0	0.0	0.0	0.0	45.0	0.0	611.0
22	延検体数 (件)	753	0	10	1,207	138	0	0	20	0	73	0	2,201
	延使用时间(H)	117.5	0.0	10.5	275.0	57.0	0.0	0.0	5.0	0.0	21.5	0.0	486.5
23	延検体数 (件)	755	0	6	615	78	0	0	2	0	0	0	1,456
	延使用时间(H)	113.5	0.0	2.5	195.0	18.5	0.0	0.0	0.5	0.0	0.0	0.0	330.0

3-2 四重極型質量分析装置 (JMS-AMSUN200/GI K9 日本電子製)

納入年月日 平成16年1月19日

年度	区分	教育	地域	医	工	応生	連農	流域	生命七	情報メ	連創	他	計
16	延検体数 (件)	0	0	0	0	108	0	0	0	0	0	0	108
	延使用时间(H)	0.0	0.0	0.0	0.0	172.5	0.0	0.0	0.0	0.0	0.0	0.0	172.5
17	延検体数 (件)	0	0	0	0	1	0	0	0	0	0	0	1
	延使用时间(H)	0.0	0.0	0.0	0.0	2.0	0.0	0.0	0.0	0.0	0.0	0.0	2.0
18	延検体数 (件)	0	0	0	110	28	0	0	0	0	0	0	138
	延使用时间(H)	0.0	0.0	0.0	53.5	34.5	0.0	0.0	0.0	0.0	0.0	0.0	88.0
19	延検体数 (件)	0	0	0	162	31	0	0	0	0	0	0	193
	延使用时间(H)	0.0	0.0	0.0	116.0	18.5	0.0	0.0	0.0	0.0	0.0	0.0	134.5
20	延検体数 (件)	0	0	0	96	49	0	0	0	0	0	0	145
	延使用时间(H)	0.0	0.0	0.0	87.5	69.0	0.0	0.0	0.0	0.0	0.0	0.0	156.5
21	延検体数 (件)	0	0	0	107	15	0	0	0	0	0	0	122
	延使用时间(H)	0.0	0.0	0.0	128.5	45.5	0.0	0.0	0.0	0.0	0.0	0.0	174.0
22	延検体数 (件)	0	0	0	105	68	0	0	0	0	0	0	173
	延使用时间(H)	0.0	0.0	0.0	118.0	60.5	0.0	0.0	0.0	0.0	0.0	0.0	178.5
23	延検体数 (件)	0	0	0	255	37	0	0	0	0	0	0	292
	延使用时间(H)	0.0	0.0	0.0	194.0	23.5	0.0	0.0	0.0	0.0	0.0	0.0	217.5

3-3 ガスクロマトグラフ質量分析システム (質量分析装置GC-mate II 日本電子製)

納入年月日 平成13年2月28日 管理換年月日 平成16年3月31日 (工)

年度	区分	教育	地域	医	工	応生	連農	流域	生命七	情報メ	連創	他	計
15	延検体数 (件)	101	278	0	196	276	0	0	0	0	0	0	851
	延使用时间(H)	24.5	110.0	0.0	124.0	318.0	0.0	0.0	0.0	0.0	0.0	0.0	576.5
16	延検体数 (件)	0	183	0	111	82	0	0	0	0	0	0	376
	延使用时间(H)	0.0	83.5	0.0	53.5	82.5	0.0	0.0	0.0	0.0	0.0	0.0	219.5
17	延検体数 (件)	0	56	0	84	37	0	0	0	0	0	0	177
	延使用时间(H)	0.0	19.0	0.0	54.5	81.0	0.0	0.0	0.0	0.0	0.0	0.0	154.5
18	延検体数 (件)	0	6	0	409	20	0	0	46	0	0	0	481
	延使用时间(H)	0.0	2.0	0.0	200.0	51.0	0.0	0.0	141.0	0.0	0.0	0.0	394.0
19	延検体数 (件)	0	1	0	532	9	0	0	23	0	0	0	565
	延使用时间(H)	0.0	1.0	0.0	218.0	9.0	0.0	0.0	53.5	0.0	0.0	0.0	281.5
20	延検体数 (件)	0	17	0	333	0	0	0	0	0	0	0	350
	延使用时间(H)	0.0	28.5	0.0	203.0	0.0	0.0	0.0	0.0	0.0	0.0	0.0	231.5
21	延検体数 (件)	0	40	0	161	0	0	0	0	0	0	0	201
	延使用时间(H)	0.0	47.5	0.0	103.5	0.0	0.0	0.0	0.0	0.0	0.0	0.0	151.0
22	延検体数 (件)	0	16	0	136	0	0	0	0	0	0	0	152
	延使用时间(H)	0.0	5.0	0.0	81.5	0.0	0.0	0.0	0.0	0.0	0.0	0.0	86.5
23	延検体数 (件)	0	0	0	425	0	0	0	0	0	0	0	425
	延使用时间(H)	0.0	0.0	0.0	218.5	0.0	0.0	0.0	0.0	0.0	0.0	0.0	218.5

3-4 液体クロマトグラフ (Agilent1100 アジレント社製)

納入年月日 平成16年3月22日

年度	区分	教育	地域	医	工	応生	連農	流域	生命セ	情報メ	連創	他	計
16	延検体数 (件)	0	0	0	0	1	0	0	0	0	0	0	1
	延使用时间(H)	0.0	0.0	0.0	0.0	4.0	0.0	0.0	0.0	0.0	0.0	0.0	4.0
17	延検体数 (件)	0	0	0	0	1	0	0	0	0	0	0	1
	延使用时间(H)	0.0	0.0	0.0	0.0	2.5	0.0	0.0	0.0	0.0	0.0	0.0	2.5
18	延検体数 (件)	14	0	0	0	0	0	0	0	0	0	0	14
	延使用时间(H)	102.0	0.0	0.0	0.0	0.0	0.0	0.0	0.0	0.0	0.0	0.0	102.0
19	延検体数 (件)	3	0	0	27	4	0	0	0	0	0	0	34
	延使用时间(H)	26.5	0.0	0.0	104.5	14.0	0.0	0.0	0.0	0.0	0.0	0.0	145.0
20	延検体数 (件)	0	0	0	60	2	0	0	0	0	0	0	62
	延使用时间(H)	0.0	0.0	0.0	270.0	7.0	0.0	0.0	0.0	0.0	0.0	0.0	277.0
21	延検体数 (件)	343	0	0	20	0	0	0	0	0	0	0	363
	延使用时间(H)	516.0	0.0	0.0	30.0	0.0	0.0	0.0	0.0	0.0	0.0	0.0	546.0
22	延検体数 (件)	27	0	0	0	24	0	0	32	0	0	0	83
	延使用时间(H)	66.5	0.0	0.0	0.0	31.0	0.0	0.0	277.5	0.0	0.0	0.0	375.0
23	延検体数 (件)	47	0	0	0	22	0	0	12	0	0	0	81
	延使用时间(H)	24.5	0.0	0.0	0.0	93.0	0.0	0.0	94.5	0.0	0.0	0.0	212.0

3-5 AccuTOF (LC-PLUS JMS-T100LP 日本電子製)

納入年月日 平成23年6月29日

年度	区分	教育	地域	医	工	応生	連農	流域	生命セ	情報メ	連創	他	計
23	延検体数 (件)	21	0	0	252	104	0	0	0	0	0	0	377
	延使用时间(H)	10.0	0.0	0.0	169.5	51.0	0.0	0.0	0.0	0.0	0.0	0.0	230.5

4-1 大型電子顕微鏡 (透過型JEM-2100 日本電子製)

納入年月日 平成22年2月26日

年度	区分	教育	地域	医	工	応生	連農	流域	生命セ	情報メ	連創	他	計
22	延検体数 (件)	0	0	0	93	0	0	0	14	0	0	0	107
	延使用时间(H)	0.0	0.0	0.0	188.5	0.0	0.0	0.0	8.0	0.0	0.0	0.0	196.5
23	延検体数 (件)	0	0	0	262	0	0	0	4	0	0	0	266
	延使用时间(H)	0.0	0.0	0.0	761.5	0.0	0.0	0.0	11.0	0.0	0.0	0.0	772.5

4-2 大型電子顕微鏡 (透過型H-7000形 日立製作所製)

納入年月日 平成21年5月12日

年度	区分	教育	地域	医	工	応生	連農	流域	生命セ	情報メ	連創	他	計
21	延検体数 (件)	0	0	0	9	110	0	0	0	0	0	0	119
	延使用时间(H)	0.0	0.0	0.0	11.0	121.0	0.0	0.0	0.0	0.0	0.0	0.0	132.0
22	延検体数 (件)	0	0	0	17	345	0	0	0	0	0	0	362
	延使用时间(H)	0.0	0.0	0.0	14.5	217.0	0.0	0.0	0.0	0.0	0.0	0.0	231.5
23	延検体数 (件)	0	0	0	13	339	0	0	0	0	0	0	352
	延使用时间(H)	0.0	0.0	0.0	12.0	142.0	0.0	0.0	0.0	0.0	0.0	0.0	154.0

4-3 走査型電子顕微鏡 (S-4300型 日立ハイテクノロジーズ製)

納入年月日 平成15年3月5日

年度	区分	教育	地域	医	工	応生	連農	流域	生命セ	情報メ	連創	他	計
15	延検体数 (件)	88	0	0	543	253	0	0	0	0	0	0	884
	延使用时间(H)	369.5	0.0	0.0	1,580.0	468.5	0.0	0.0	0.0	0.0	0.0	0.0	2,418.0
16	延検体数 (件)	161	0	0	1,092	99	0	0	0	1	0	0	1,353
	延使用时间(H)	501.0	0.0	0.0	1,890.5	157.5	0.0	0.0	0.0	4.0	0.0	0.0	2,553.0
17	延検体数 (件)	131	0	0	1,019	131	0	0	0	0	0	0	1,281
	延使用时间(H)	455.5	0.0	0.0	1,781.0	203.0	0.0	0.0	0.0	0.0	0.0	0.0	2,439.5
18	延検体数 (件)	111	0	0	1,415	61	0	0	2	0	0	0	1,589
	延使用时间(H)	305.0	0.0	0.0	2,447.5	115.5	0.0	0.0	3.5	0.0	0.0	0.0	2,871.5
19	延検体数 (件)	252	0	0	1,713	71	0	0	0	0	0	0	2,036
	延使用时间(H)	458.0	0.0	0.0	3,049.0	95.0	0.0	0.0	0.0	0.0	0.0	0.0	3,602.0
20	延検体数 (件)	226	0	0	1,015	75	2	0	0	0	0	0	1,318
	延使用时间(H)	576.5	0.0	0.0	2,316.5	161.5	8.0	0.0	0.0	0.0	0.0	0.0	3,062.5
21	延検体数 (件)	167	0	0	626	92	3	5	1	0	0	0	894
	延使用时间(H)	705.5	0.0	0.0	1,436.0	144.0	10.0	6.5	7.0	0.0	0.0	0.0	2,309.0
22	延検体数 (件)	146	20	0	896	123	0	0	28	0	0	0	1,213
	延使用时间(H)	440.5	65.5	0.0	1,942.0	186.5	0.0	0.0	38.0	0.0	0.0	0.0	2,672.5
23	延検体数 (件)	144	8	0	1,371	86	0	10	0	0	0	0	1,619
	延使用时间(H)	549.5	95.0	0.0	2,061.5	196.5	0.0	10.5	0.0	0.0	0.0	0.0	2,913.0

4-4 走査型電子顕微鏡 (S-4800型 日立ハイテクノロジーズ製)

納入年月日 平成20年3月27日

年度	区分	教育	地域	医	工	応生	連農	流域	生命セ	情報メ	連創	他	計
20	延検体数 (件)	0	0	0	1,234	14	0	0	0	0	0	0	1,248
	延使用时间(H)	0.0	0.0	0.0	1,182.0	13.5	0.0	0.0	0.0	0.0	0.0	0.0	1,195.5
21	延検体数 (件)	0	0	0	1,532	3	0	0	0	0	0	0	1,535
	延使用时间(H)	0.0	0.0	0.0	1,391.5	3.5	0.0	0.0	0.0	0.0	0.0	0.0	1,395.0
22	延検体数 (件)	0	0	0	1,972	20	0	0	76	0	0	0	2,068
	延使用时间(H)	0.0	0.0	0.0	1,845.5	16.0	0.0	0.0	49.0	0.0	0.0	0.0	1,910.5
23	延検体数 (件)	0	0	0	2,525	28	0	3	68	0	0	0	2,624
	延使用时间(H)	0.0	0.0	0.0	2,071.5	38.0	0.0	1.5	33.5	0.0	0.0	0.0	2,144.5

4-5 走査型電子顕微鏡 (S-3000N型 日立ハイテクノロジーズ製)

納入年月日 平成16年3月2日

年度	区分	教育	地域	医	工	応生	連農	流域	生命セ	情報メ	連創	他	計
16	延件体数 (件)	41	0	0	144	88	0	0	3	0	0	0	276
	延使用时间(H)	79.0	0.0	0.0	223.5	108.0	0.0	0.0	4.5	0.0	0.0	0.0	415.0
17	延件体数 (件)	35	66	0	104	44	0	0	0	0	0	0	249
	延使用时间(H)	71.5	61.0	0.0	194.0	49.0	0.0	0.0	0.0	0.0	0.0	0.0	375.5
18	延件体数 (件)	80	0	0	98	21	0	0	0	0	0	0	199
	延使用时间(H)	162.0	0.0	0.0	193.0	24.0	0.0	0.0	0.0	0.0	0.0	0.0	379.0
19	延件体数 (件)	51	0	0	127	129	0	0	9	0	0	0	316
	延使用时间(H)	78.0	0.0	0.0	95.5	181.0	0.0	0.0	16.0	0.0	0.0	0.0	370.5
20	延件体数 (件)	29	0	0	142	95	16	0	0	0	0	0	282
	延使用时间(H)	64.0	0.0	0.0	203.5	156.0	8.5	0.0	0.0	0.0	0.0	0.0	432.0
21	延件体数 (件)	38	0	0	97	56	0	0	0	0	0	0	191
	延使用时间(H)	42.0	0.0	0.0	134.0	49.0	0.0	0.0	0.0	0.0	0.0	0.0	225.0
22	延件体数 (件)	32	0	78	171	94	0	0	0	0	0	0	375
	延使用时间(H)	58.5	0.0	30.5	164.0	82.5	0.0	0.0	0.0	0.0	0.0	0.0	335.5
23	延件体数 (件)	6	0	16	652	37	0	0	0	0	0	0	711
	延使用时间(H)	11.5	0.0	6.0	295.0	46.5	0.0	0.0	0.0	0.0	0.0	0.0	359.0

5 走査型X線光電子分光分析装置 (Quantera SXM-GS アルバック・ファイ製)

納入年月日 平成19年12月21日

年度	区分	教育	地域	医	工	応生	連農	流域	生命セ	情報メ	連創	他	計
20	延件体数 (件)	0	0	0	739	0	0	0	0	0	0	0	739
	延使用时间(H)	0.0	0.0	0.0	3,404.0	0.0	0.0	0.0	0.0	0.0	0.0	0.0	3,404.0
21	延件体数 (件)	0	0	0	625	0	0	0	0	0	0	0	625
	延使用时间(H)	0.0	0.0	0.0	2,152.0	0.0	0.0	0.0	0.0	0.0	0.0	0.0	2,152.0
22	延件体数 (件)	0	0	0	631	5	0	0	0	0	0	0	636
	延使用时间(H)	0.0	0.0	0.0	2,244.0	55.0	0.0	0.0	0.0	0.0	0.0	0.0	2,299.0
23	延件体数 (件)	0	0	0	485	0	0	0	9	0	0	0	494
	延使用时间(H)	0.0	0.0	0.0	2,206.5	0.0	0.0	0.0	183.0	0.0	0.0	0.0	2,389.5

6 走査型プローブ顕微鏡システム (SPI3800 エス・アイ・アイ製)

納入年月日 平成10年12月18日

管理換年月日 平成12年1月28日(工)

年度	区分	教育	地域	医	工	応生	連農	流域	生命セ	情報メ	連創	他	計
15	延検体数 (件)	24	0	7	166	0	0	0	0	0	0	0	197
	延使用时间(H)	25.0	0.0	34.5	184.0	0.0	0.0	0.0	0.0	0.0	0.0	0.0	243.5
16	延検体数 (件)	0	0	0	324	0	0	0	0	0	0	0	324
	延使用时间(H)	0.0	0.0	0.0	497.5	0.0	0.0	0.0	0.0	0.0	0.0	0.0	497.5
17	延検体数 (件)	0	0	0	284	10	0	0	0	0	0	0	294
	延使用时间(H)	0.0	0.0	0.0	549.5	25.0	0.0	0.0	0.0	0.0	0.0	0.0	574.5
18	延検体数 (件)	0	0	0	138	0	0	0	0	0	0	0	138
	延使用时间(H)	0.0	0.0	0.0	235.0	0.0	0.0	0.0	0.0	0.0	0.0	0.0	235.0
19	延検体数 (件)	0	0	0	249	0	0	0	0	0	0	0	249
	延使用时间(H)	0.0	0.0	0.0	417.0	0.0	0.0	0.0	0.0	0.0	0.0	0.0	417.0
20	延検体数 (件)	0	0	0	484	0	0	0	0	0	0	0	484
	延使用时间(H)	0.0	0.0	0.0	1,133.0	0.0	0.0	0.0	0.0	0.0	0.0	0.0	1,133.0
21	延検体数 (件)	0	0	0	565	0	0	0	0	0	0	0	565
	延使用时间(H)	0.0	0.0	0.0	1,233.5	0.0	0.0	0.0	0.0	0.0	0.0	0.0	1,233.5
22	延検体数 (件)	0	0	0	724	0	0	0	2	0	0	0	726
	延使用时间(H)	0.0	0.0	0.0	2,193.5	0.0	0.0	0.0	10.5	0.0	0.0	0.0	2,204.0
23	延検体数 (件)	0	0	0	342	0	0	0	0	0	0	0	342
	延使用时间(H)	0.0	0.0	0.0	926.5	0.0	0.0	0.0	0.0	0.0	0.0	0.0	926.5

7 円二色性分散計 (CD J-820P 日本分光製)

納入年月日 平成14年3月18日

年度	区分	教育	地域	医	工	応生	連農	流域	生命セ	情報メ	連創	他	計
15	延検体数 (件)	0	0	28	1,182	43	0	0	0	0	0	0	1,253
	延使用时间(H)	0.0	0.0	30.5	543.5	19.0	0.0	0.0	0.0	0.0	0.0	0.0	593.0
16	延検体数 (件)	0	0	1	671	88	0	0	0	0	0	0	760
	延使用时间(H)	0.0	0.0	2.0	573.0	40.5	0.0	0.0	0.0	0.0	0.0	0.0	615.5
17	延検体数 (件)	0	0	17	102	57	0	0	0	0	15	0	191
	延使用时间(H)	0.0	0.0	13.5	353.5	32.5	0.0	0.0	0.0	0.0	31.0	0.0	430.5
18	延検体数 (件)	0	0	4	179	61	0	0	2	0	18	0	264
	延使用时间(H)	0.0	0.0	15.0	305.0	45.5	0.0	0.0	4.0	0.0	21.0	0.0	390.5
19	延検体数 (件)	0	0	108	578	95	0	0	0	0	9	0	790
	延使用时间(H)	0.0	0.0	129.5	284.5	64.5	0.0	0.0	0.0	0.0	16.0	0.0	494.5
20	延検体数 (件)	0	0	184	304	39	0	0	21	0	0	0	548
	延使用时间(H)	0.0	0.0	131.5	219.5	34.5	0.0	0.0	7.0	0.0	0.0	0.0	392.5
21	延検体数 (件)	0	0	45	277	68	0	0	0	0	0	0	390
	延使用时间(H)	0.0	0.0	99.0	300.5	58.0	0.0	0.0	0.0	0.0	0.0	0.0	457.5
22	延検体数 (件)	12	0	41	237	27	0	0	0	0	0	0	317
	延使用时间(H)	4.0	0.0	86.5	226.5	28.0	0.0	0.0	0.0	0.0	0.0	0.0	345.0
23	延検体数 (件)	14	0	33	200	18	0	0	0	0	32	28	325
	延使用时间(H)	4.0	0.0	86.0	189.0	21.5	0.0	0.0	0.0	0.0	12.0	13.5	326.0

8 超高速現象解析システム

(超高速映像撮影装置, 超高速ビデオ装置, 増幅装置, 熱画像解析装置, パルスジェネレータ, レーザー照明) 納入年月日 平成11年3月1日
(ハイパービジョン, 超高速ビデオカメラシステム, サーモカメラ) 納入年月日 平成23年7月1日

年度	区分	教育	地域	医	工	応生	連農	流域	生命セ	情報メ	連創	他	計
15	延検体数 (件)	0	0	0	161	0	0	0	0	0	0	0	161
	延使用时间(H)	0.0	0.0	0.0	3,364.0	0.0	0.0	0.0	0.0	0.0	0.0	0.0	3,364.0
16	延検体数 (件)	0	0	0	51	1	0	0	0	0	0	0	52
	延使用时间(H)	0.0	0.0	0.0	9,541.0	72.0	0.0	0.0	0.0	0.0	0.0	0.0	9,613.0
17	延検体数 (件)	0	0	0	2,050	70	0	0	0	0	0	0	2,120
	延使用时间(H)	0.0	0.0	0.0	4,992.0	168.0	0.0	0.0	0.0	0.0	0.0	0.0	5,160.0
18	延検体数 (件)	0	0	0	3,940	10	0	0	0	0	0	0	3,950
	延使用时间(H)	0.0	0.0	0.0	9,456.0	24.0	0.0	0.0	0.0	0.0	0.0	0.0	9,480.0
19	延検体数 (件)	0	0	0	5,160	0	0	0	0	0	0	0	5,160
	延使用时间(H)	0.0	0.0	0.0	12,384.0	0.0	0.0	0.0	0.0	0.0	0.0	0.0	12,384.0
20	延検体数 (件)	10	0	0	2,650	0	0	0	0	0	0	0	2,660
	延使用时间(H)	24.0	0.0	0.0	6,360.0	0.0	0.0	0.0	0.0	0.0	0.0	0.0	6,384.0
21	延検体数 (件)	0	0	0	2,290	0	0	0	0	0	0	0	2,290
	延使用时间(H)	0.0	0.0	0.0	5,496.0	0.0	0.0	0.0	0.0	0.0	0.0	0.0	5,496.0
22	延検体数 (件)	0	0	0	2,000	0	0	0	0	0	0	0	2,000
	延使用时间(H)	0.0	0.0	0.0	4,800.0	0.0	0.0	0.0	0.0	0.0	0.0	0.0	4,800.0
23	延検体数 (件)	0	0	0	4,030	0	0	0	0	0	0	0	4,030
	延使用时间(H)	0.0	0.0	0.0	9,672.0	0.0	0.0	0.0	0.0	0.0	0.0	0.0	9,672.0

9-1 時間分解蛍光分光光度計 (NAES-700 堀場製作所製)

納入年月日 平成11年3月19日
平成23年度 廃棄

年度	区分	教育	地域	医	工	応生	連農	流域	生命セ	情報メ	連創	他	計
15	延検体数 (件)	0	0	0	141	0	0	0	0	0	0	0	141
	延使用时间(H)	0.0	0.0	0.0	573.5	0.0	0.0	0.0	0.0	0.0	0.0	0.0	573.5
16	延検体数 (件)	0	0	0	28	0	0	0	0	0	0	0	28
	延使用时间(H)	0.0	0.0	0.0	75.5	0.0	0.0	0.0	0.0	0.0	0.0	0.0	75.5
17	延検体数 (件)	0	0	0	41	0	0	0	0	0	0	0	41
	延使用时间(H)	0.0	0.0	0.0	212.5	0.0	0.0	0.0	0.0	0.0	0.0	0.0	212.5
18	延検体数 (件)	0	0	0	196	0	0	0	0	0	0	0	196
	延使用时间(H)	0.0	0.0	0.0	272.5	0.0	0.0	0.0	0.0	0.0	0.0	0.0	272.5
19	延検体数 (件)	0	0	0	53	0	0	0	0	0	0	0	53
	延使用时间(H)	0.0	0.0	0.0	62.0	0.0	0.0	0.0	0.0	0.0	0.0	0.0	62.0
20	延検体数 (件)	0	0	0	41	0	0	0	0	0	0	0	41
	延使用时间(H)	0.0	0.0	0.0	161.0	0.0	0.0	0.0	0.0	0.0	0.0	0.0	161.0
21	延検体数 (件)	0	0	0	3	0	0	0	0	0	0	0	3
	延使用时间(H)	0.0	0.0	0.0	1.0	0.0	0.0	0.0	0.0	0.0	0.0	0.0	1.0
22	延検体数 (件)	0	0	9	0	0	0	0	0	0	0	0	9
	延使用时间(H)	0.0	0.0	33.0	0.0	0.0	0.0	0.0	0.0	0.0	0.0	0.0	33.0
23	延検体数 (件)	0	0	1	0	0	0	0	0	0	0	0	1
	延使用时间(H)	0.0	0.0	4.5	0.0	0.0	0.0	0.0	0.0	0.0	0.0	0.0	4.5

9-2 絶対PL量子収率測定装置 (浜松ホトニクス製)

納入年月日 平成23年8月26日

年度	区分	教育	地域	医	工	応生	連農	流域	生命セ	情報メ	連創	他	計
23	延検体数 (件)	0	0	0	188	0	0	0	8	0	0	0	196
	延使用时间(H)	0.0	0.0	0.0	144.0	0.0	0.0	0.0	3.0	0.0	0.0	0.0	147.0

9-3 蛍光寿命測定装置 (浜松ホトニクス製)

納入年月日 平成23年8月26日

年度	区分	教育	地域	医	工	応生	連農	流域	生命セ	情報メ	連創	他	計
23	延検体数 (件)	0	0	0	53	0	0	0	0	0	0	0	53
	延使用时间(H)	0.0	0.0	0.0	136.0	0.0	0.0	0.0	0.0	0.0	0.0	0.0	136.0

9-4 分光蛍光光度計 (日本分光製)

納入年月日 平成23年8月2日

年度	区分	教育	地域	医	工	応生	連農	流域	生命セ	情報メ	連創	他	計
23	延検体数 (件)	0	0	0	352	0	0	0	0	0	0	0	352
	延使用时间(H)	0.0	0.0	0.0	318.0	0.0	0.0	0.0	0.0	0.0	0.0	0.0	318.0

10 誘導結合プラズマ発光分析装置 (ULTIMA2 堀場製作所製)

納入年月日 平成20年10月15日

年度	区分	教育	地域	医	工	応生	連農	流域	生命セ	情報メ	連創	他	計
20	延検体数 (件)	0	88	0	2,044	396	0	0	0	0	0	0	2,528
	延使用时间(H)	0.0	53.5	0.0	291.0	57.0	0.0	0.0	0.0	0.0	0.0	0.0	401.5
21	延検体数 (件)	28	351	0	2,946	203	0	0	0	0	0	0	3,528
	延使用时间(H)	30.0	191.0	0.0	532.5	65.5	0.0	0.0	0.0	0.0	0.0	0.0	819.0
22	延検体数 (件)	101	30	0	13,229	399	0	0	0	0	0	0	13,759
	延使用时间(H)	46.0	32.5	0.0	1,241.5	111.5	0.0	0.0	0.0	0.0	0.0	0.0	1,431.5
23	延検体数 (件)	77	21	0	15,016	92	0	231	0	0	0	0	15,437
	延使用时间(H)	46.5	14.5	0.0	1,052.0	53.0	0.0	44.0	0.0	0.0	0.0	0.0	1,210.0

11 有機微量元素分析装置 (CHNコーダー JM10 ジェイ・サイエンス・ラボ製) 納入年月日 平成23年8月4日
(ヤナコ製 平成13年3月23日納入 平成23年度 廃棄)

年度	区分	教育	地域	医	工	応生	連農	流域	生命セ	情報メ	連創	他	計
15	延検体数 (件)	354	0	12	310	39	0	0	65	0	0	0	780
	延使用时间(H)	116.5	0.0	5.0	129.0	12.5	0.0	0.0	32.0	0.0	0.0	0.0	295.0
16	延検体数 (件)	287	0	88	310	135	0	0	156	0	0	0	976
	延使用时间(H)	90.0	0.0	68.0	144.5	37.5	0.0	0.0	70.5	0.0	0.0	0.0	410.5
17	延検体数 (件)	72	0	39	525	79	0	0	34	0	0	0	749
	延使用时间(H)	25.0	0.0	30.0	212.0	33.0	0.0	0.0	20.5	0.0	0.0	0.0	320.5
18	延検体数 (件)	375	0	90	685	31	0	0	161	0	0	0	1,342
	延使用时间(H)	106.5	0.0	41.0	229.0	10.5	0.0	0.0	34.0	0.0	0.0	0.0	421.0
19	延検体数 (件)	217	0	79	1,274	45	0	0	95	0	0	0	1,710
	延使用时间(H)	69.5	0.0	32.0	415.0	14.0	0.0	0.0	23.0	0.0	0.0	0.0	553.5
20	延検体数 (件)	392	0	124	1,132	132	0	0	0	103	0	0	1,883
	延使用时间(H)	95.0	0.0	43.0	429.0	41.5	0.0	0.0	0.0	35.5	0.0	0.0	644.0
21	延検体数 (件)	441	0	106	597	23	0	478	0	0	0	0	1,645
	延使用时间(H)	116.5	0.0	45.0	261.0	7.0	0.0	128.5	0.0	0.0	0.0	0.0	558.0
22	延検体数 (件)	570	0	42	931	216	0	527	2	0	0	0	2,288
	延使用时间(H)	164.5	0.0	25.0	327.5	65.0	0.0	136.5	1.0	0.0	0.0	0.0	719.5
23	延検体数 (件)	746	0	37	948	354	0	535	0	0	0	0	2,620
	延使用时间(H)	203.5	0.0	9.0	338.0	88.5	0.0	134.5	0.0	0.0	0.0	0.0	773.5

12 フーリエ変換赤外分光光度計 (Spectrum100FT-IRシステム パーキンエルマー社製) 納入年月日 平成23年3月22日
(FT-IR SYSTEM2000 パーキンエルマー社製 納入年月日 平成5年3月10日 管理換年月日 平成8年10月14日 (農) 平成23年度廃棄)

年度	区分	教育	地域	医	工	応生	連農	流域	生命セ	情報メ	連創	他	計
15	延検体数 (件)	137	0	0	312	150	0	0	49	0	0	0	648
	延使用时间(H)	67.0	0.0	0.0	448.0	59.0	0.0	0.0	19.0	0.0	0.0	0.0	593.0
16	延検体数 (件)	117	0	0	594	73	0	0	91	0	0	0	875
	延使用时间(H)	68.5	0.0	0.0	682.5	35.0	0.0	0.0	31.5	0.0	0.0	0.0	817.5
17	延検体数 (件)	28	0	0	479	148	0	0	22	0	0	0	677
	延使用时间(H)	16.5	0.0	0.0	327.5	75.5	0.0	0.0	7.0	0.0	0.0	0.0	426.5
18	延検体数 (件)	2	0	0	315	39	0	0	2	0	0	0	358
	延使用时间(H)	1.5	0.0	0.0	359.0	31.0	0.0	0.0	7.5	0.0	0.0	0.0	399.0
19	延検体数 (件)	0	0	0	363	17	0	0	0	0	0	0	380
	延使用时间(H)	0.0	0.0	0.0	170.5	15.5	0.0	0.0	0.0	0.0	0.0	0.0	186.0
20	延検体数 (件)	6	0	0	163	21	0	0	0	0	0	0	190
	延使用时间(H)	2.5	0.0	0.0	196.0	6.0	0.0	0.0	0.0	0.0	0.0	0.0	204.5
21	延検体数 (件)	84	0	0	158	40	1	0	0	0	0	0	283
	延使用时间(H)	35.0	0.0	0.0	172.5	13.0	1.0	0.0	0.0	0.0	0.0	0.0	221.5
22	延検体数 (件)	0	0	0	148	43	0	0	0	0	0	0	191
	延使用时间(H)	0.0	0.0	0.0	155.5	21.5	0.0	0.0	0.0	0.0	0.0	0.0	177.0
23	延検体数 (件)	10	0	1	114	1,532	0	0	0	0	0	0	1,657
	延使用时间(H)	16.0	0.0	1.5	44.0	132.0	0.0	0.0	0.0	0.0	0.0	0.0	193.5

12-2 フーリエ変換型顕微赤外分光光度計 (FT-IR 460PLUS 日本分光製) 納入年月日 平成15年1月10日

年度	区分	教育	地域	医	工	応生	連農	流域	生命セ	情報メ	連創	他	計
15	延検体数 (件)	137	0	0	312	150	0	0	49	0	0	0	648
	延使用时间(H)	67.0	0.0	0.0	448.0	59.0	0.0	0.0	19.0	0.0	0.0	0.0	593.0
16	延検体数 (件)	256	0	0	130	0	0	0	0	0	0	0	386
	延使用时间(H)	200.0	0.0	0.0	104.0	0.0	0.0	0.0	0.0	0.0	0.0	0.0	304.0
17	延検体数 (件)	123	0	0	93	0	0	0	0	0	0	0	216
	延使用时间(H)	39.5	0.0	0.0	76.0	0.0	0.0	0.0	0.0	0.0	0.0	0.0	115.5
18	延検体数 (件)	644	0	0	134	18	0	0	46	0	0	0	842
	延使用时间(H)	156.0	0.0	0.0	103.0	4.0	0.0	0.0	16.5	0.0	0.0	0.0	279.5
19	延検体数 (件)	632	0	0	331	9	0	0	36	0	0	0	1,008
	延使用时间(H)	152.5	0.0	0.0	187.5	2.0	0.0	0.0	16.5	0.0	0.0	0.0	358.5
20	延検体数 (件)	735	0	0	163	0	0	0	167	0	0	0	1,065
	延使用时间(H)	242.5	0.0	0.0	181.0	0.0	0.0	0.0	31.0	0.0	0.0	0.0	454.5
21	延検体数 (件)	561	0	0	168	17	32	0	0	0	0	0	778
	延使用时间(H)	237.0	0.0	0.0	104.0	17.5	17.5	0.0	0.0	0.0	0.0	0.0	376.0
22	延検体数 (件)	659	0	0	112	5	0	0	0	0	0	0	776
	延使用时间(H)	227.5	0.0	0.0	74.0	1.5	0.0	0.0	0.0	0.0	0.0	0.0	303.0
23	延検体数 (件)	595	0	0	87	108	0	0	1	0	0	0	791
	延使用时间(H)	175.0	0.0	0.0	130.0	20.5	0.0	0.0	0.5	0.0	0.0	0.0	326.0

12-3 化学反応解析システム (プローブ式分光計FT-IR ReactIR4100 F-GU センサーテクノロジー納入年月日 平成16年3月24日)

年度	区分	教育	地域	医	工	応生	連農	流域	生命セ	情報メ	連創	他	計
16	延貸し出し日数(日)	0	0	0	11	0	0	0	0	0	0	0	11
	延使用人数(人)	0.0	0.0	0.0	2.0	0.0	0.0	0.0	0.0	0.0	0.0	0.0	2.0
17	延貸し出し日数(日)	0	0	0	2	0	0	0	0	0	0	0	2
	延使用人数(人)	0.0	0.0	0.0	2.0	0.0	0.0	0.0	0.0	0.0	0.0	0.0	2.0
18	延貸し出し日数(日)	0	0	0	13	0	0	0	0	0	0	0	13
	延使用人数(人)	0.0	0.0	0.0	2.0	0.0	0.0	0.0	0.0	0.0	0.0	0.0	2.0
19	延貸し出し日数(日)	0	0	0	53	0	0	0	11	0	0	0	64
	延使用人数(人)	0.0	0.0	0.0	6.0	0.0	0.0	0.0	7.0	0.0	0.0	0.0	13.0
20	延貸し出し日数(日)	0	0	0	1	0	0	0	0	0	0	0	1
	延使用人数(人)	0.0	0.0	0.0	1.0	0.0	0.0	0.0	0.0	0.0	0.0	0.0	1.0
21	延貸し出し日数(日)	0	0	0	0	0	0	0	0	0	0	0	0
	延使用人数(人)	0.0	0.0	0.0	0.0	0.0	0.0	0.0	0.0	0.0	0.0	0.0	0.0
22	延貸し出し日数(日)	0	0	0	0	0	0	0	0	0	0	0	0
	延使用人数(人)	0.0	0.0	0.0	0.0	0.0	0.0	0.0	0.0	0.0	0.0	0.0	0.0
23	延貸し出し日数(日)	0	0	0	0	0	0	0	0	0	0	0	0
	延使用人数(人)	0.0	0.0	0.0	0.0	0.0	0.0	0.0	0.0	0.0	0.0	0.0	0.0

12-4 赤外線顕微鏡システム (接触型分光計FT-IR I IlluminatiRダイヤモンド ASI Applied Systems納入年月日 平成16年3月24日)

年度	区分	教育	地域	医	工	応生	連農	流域	生命セ	情報メ	連創	他	計
16	延検体数 (件)	0	0	0	193	0	0	0	0	0	0	0	193
	延使用時間(H)	0.0	0.0	0.0	44.0	0.0	0.0	0.0	0.0	0.0	0.0	0.0	44.0
17	延検体数 (件)	0	0	0	252	0	0	0	0	0	0	0	252
	延使用時間(H)	0.0	0.0	0.0	191.0	0.0	0.0	0.0	0.0	0.0	0.0	0.0	191.0
18	延検体数 (件)	0	0	0	323	0	0	0	0	0	0	0	323
	延使用時間(H)	0.0	0.0	0.0	209.0	0.0	0.0	0.0	0.0	0.0	0.0	0.0	209.0
19	延検体数 (件)	0	0	0	646	0	0	0	0	0	0	0	646
	延使用時間(H)	0.0	0.0	0.0	238.0	0.0	0.0	0.0	0.0	0.0	0.0	0.0	238.0
20	延検体数 (件)	0	0	0	308	0	0	0	0	0	0	0	308
	延使用時間(H)	0.0	0.0	0.0	111.0	0.0	0.0	0.0	0.0	0.0	0.0	0.0	111.0
21	延検体数 (件)	0	0	0	1,539	0	0	0	0	0	0	0	1,539
	延使用時間(H)	0.0	0.0	0.0	370.0	0.0	0.0	0.0	0.0	0.0	0.0	0.0	370.0
22	延検体数 (件)	0	0	0	0	0	0	0	0	0	0	0	0
	延使用時間(H)	0.0	0.0	0.0	0.0	0.0	0.0	0.0	0.0	0.0	0.0	0.0	0.0
23	延検体数 (件)	0	0	0	0	0	0	0	0	0	0	0	0
	延使用時間(H)	0.0	0.0	0.0	0.0	0.0	0.0	0.0	0.0	0.0	0.0	0.0	0.0

12-5 紫外可視分光光度計 (UV U4000S型 日立製作所製) 納入年月日 平成10年3月9日

年度	区分	教育	地域	医	工	応生	連農	流域	生命セ	情報メ	連創	他	計
15	延検体数 (件)	4	0	0	1,124	73	0	0	4	0	0	0	1,205
	延使用時間(H)	2.0	0.0	0.0	403.5	19.5	0.0	0.0	1.0	0.0	0.0	0.0	426.0
16	延検体数 (件)	0	0	0	1,783	94	0	0	0	0	0	0	1,877
	延使用時間(H)	0.0	0.0	0.0	526.0	31.0	0.0	0.0	0.0	0.0	0.0	0.0	557.0
17	延検体数 (件)	20	0	2	960	65	0	0	0	0	0	0	1,047
	延使用時間(H)	3.0	0.0	1.0	410.0	32.5	0.0	0.0	0.0	0.0	0.0	0.0	446.5
18	延検体数 (件)	43	0	0	1,087	8	0	0	21	0	0	0	1,159
	延使用時間(H)	9.0	0.0	0.0	426.0	6.5	0.0	0.0	1.0	0.0	0.0	0.0	442.5
19	延検体数 (件)	57	0	0	1,788	17	0	0	223	0	0	0	2,085
	延使用時間(H)	12.0	0.0	0.0	659.0	8.0	0.0	0.0	16.0	0.0	0.0	0.0	695.0
20	延検体数 (件)	45	0	0	1,350	33	0	0	50	0	0	0	1,478
	延使用時間(H)	18.5	0.0	0.0	532.5	9.5	0.0	0.0	1.5	0.0	0.0	0.0	562.0
21	延検体数 (件)	27	0	0	1,286	73	0	0	0	0	0	0	1,386
	延使用時間(H)	9.5	0.0	0.0	392.5	25.5	0.0	0.0	0.0	0.0	0.0	0.0	427.5
22	延検体数 (件)	1	0	0	1,484	49	0	0	0	0	0	0	1,534
	延使用時間(H)	0.5	0.0	0.0	512.0	13.0	0.0	0.0	0.0	0.0	0.0	0.0	525.5
23	延検体数 (件)	5	0	0	1,004	28	0	0	0	0	0	0	1,037
	延使用時間(H)	2.0	0.0	0.0	319.5	6.5	0.0	0.0	0.0	0.0	0.0	0.0	328.0

12-6 紫外可視分光光度計 (ラムダ950UV/VIS/NIR パーキンエルマー製) 納入年月日 平成23年4月6日

年度	区分	教育	地域	医	工	応生	連農	流域	生命セ	情報メ	連創	他	計
23	延検体数 (件)	0	0	20	66	26	0	0	0	0	0	0	112
	延使用時間(H)	0.0	0.0	3.0	44.0	5.0	0.0	0.0	0.0	0.0	0.0	0.0	52.0

13 顕微レーザーラマン分光システム (NRS-1000 日本分光製)

納入年月日 平成15年3月25日

年度	区分	教育	地域	医	工	応生	連農	流域	生命セ	情報メ	連創	他	計
15	延検体数 (件)	0	0	0	70	0	0	0	0	0	0	0	70
	延使用时间(H)	0.0	0.0	0.0	49.5	0.0	0.0	0.0	0.0	0.0	0.0	0.0	49.5
16	延検体数 (件)	0	0	0	71	0	0	0	1	0	0	0	72
	延使用时间(H)	0.0	0.0	0.0	81.5	0.0	0.0	0.0	4.0	0.0	0.0	0.0	85.5
17	延検体数 (件)	0	0	0	169	1	0	0	0	0	0	0	170
	延使用时间(H)	0.0	0.0	0.0	139.0	9.0	0.0	0.0	0.0	0.0	0.0	0.0	148.0
18	延検体数 (件)	0	0	155	96	17	0	0	0	0	0	0	268
	延使用时间(H)	0.0	0.0	47.0	87.0	15.5	0.0	0.0	0.0	0.0	0.0	0.0	149.5
19	延検体数 (件)	0	0	205	723	6	0	0	0	0	0	0	934
	延使用时间(H)	0.0	0.0	37.0	265.0	7.0	0.0	0.0	0.0	0.0	0.0	0.0	309.0
20	延検体数 (件)	0	0	77	162	35	0	0	0	0	0	0	274
	延使用时间(H)	0.0	0.0	15.5	136.0	35.5	0.0	0.0	0.0	0.0	0.0	0.0	187.0
21	延検体数 (件)	0	0	0	121	0	0	0	0	0	0	0	121
	延使用时间(H)	0.0	0.0	0.0	116.0	0.0	0.0	0.0	0.0	0.0	0.0	0.0	116.0
22	延検体数 (件)	0	0	0	156	0	0	0	0	0	0	0	156
	延使用时间(H)	0.0	0.0	0.0	85.0	0.0	0.0	0.0	0.0	0.0	0.0	0.0	85.0
23	延検体数 (件)	0	0	0	294	0	0	0	0	0	0	0	294
	延使用时间(H)	0.0	0.0	0.0	184.5	0.0	0.0	0.0	0.0	0.0	0.0	0.0	184.5

14 熱分析システム (EXSTAR-6000 エス・アイ・アイ製)

納入年月日 平成16年3月19日

年度	区分	教育	地域	医	工	応生	連農	流域	生命セ	情報メ	連創	他	計
16	延検体数 (件)	0	0	0	115	33	0	0	0	0	0	0	148
	延使用时间(H)	0.0	0.0	0.0	286.5	36.0	0.0	0.0	0.0	0.0	0.0	0.0	322.5
17	延検体数 (件)	0	50	0	258	10	0	0	0	0	0	0	318
	延使用时间(H)	0.0	174.5	0.0	751.0	7.0	0.0	0.0	0.0	0.0	0.0	0.0	932.5
18	延検体数 (件)	0	0	0	513	35	0	0	0	0	0	0	548
	延使用时间(H)	0.0	0.0	0.0	1,532.5	56.0	0.0	0.0	0.0	0.0	0.0	0.0	1,588.5
19	延検体数 (件)	0	0	0	393	349	0	0	0	0	0	0	742
	延使用时间(H)	0.0	0.0	0.0	1,034.0	568.5	0.0	0.0	0.0	0.0	0.0	0.0	1,602.5
20	延検体数 (件)	0	0	0	269	253	0	0	0	0	0	0	522
	延使用时间(H)	0.0	0.0	0.0	1,300.0	527.5	0.0	0.0	0.0	0.0	0.0	0.0	1,827.5
21	延検体数 (件)	0	0	0	397	279	0	0	0	0	0	0	676
	延使用时间(H)	0.0	0.0	0.0	4,173.5	739.5	0.0	0.0	0.0	0.0	0.0	0.0	4,913.0
22	延検体数 (件)	0	0	0	410	481	0	0	1	0	0	0	892
	延使用时间(H)	0.0	0.0	0.0	3,149.0	918.0	0.0	0.0	15.5	0.0	0.0	0.0	4,082.5
23	延検体数 (件)	0	0	0	304	190	0	0	3	0	0	0	497
	延使用时间(H)	0.0	0.0	0.0	2,436.5	335.5	0.0	0.0	10.0	0.0	0.0	0.0	2,782.0

15 フェムト秒ファイバーレーザー (フェムトライト BS-60-YS アイシン精機製)

納入年月日 平成18年3月3日

年度	区分	教育	地域	医	工	応生	連農	流域	生命セ	情報メ	連創	他	計
18	延検体数 (件)	0	0	0	7	0	0	0	0	0	0	0	7
	延使用时间(H)	0.0	0.0	0.0	57.5	0.0	0.0	0.0	0.0	0.0	0.0	0.0	57.5
19	延検体数 (件)	0	0	0	3	0	0	0	0	0	0	0	3
	延使用时间(H)	0.0	0.0	0.0	576.0	0.0	0.0	0.0	0.0	0.0	0.0	0.0	576.0
20	延検体数 (件)	0	0	0	0	0	0	0	0	0	0	0	0
	延使用时间(H)	0.0	0.0	0.0	0.0	0.0	0.0	0.0	0.0	0.0	0.0	0.0	0.0
21	延検体数 (件)	0	0	0	0	0	0	0	0	0	0	0	0
	延使用时间(H)	0.0	0.0	0.0	0.0	0.0	0.0	0.0	0.0	0.0	0.0	0.0	0.0
22	延検体数 (件)	0	0	0	0	0	0	0	0	0	0	0	0
	延使用时间(H)	0.0	0.0	0.0	0.0	0.0	0.0	0.0	0.0	0.0	0.0	0.0	0.0
23	延検体数 (件)	0	0	0	0	0	0	0	0	0	0	0	0
	延使用时间(H)	0.0	0.0	0.0	0.0	0.0	0.0	0.0	0.0	0.0	0.0	0.0	0.0

16 テラヘルツ分光走査型顕微鏡 (THz-TDS オザワ科学製)

納入年月日 平成18年3月3日

年度	区分	教育	地域	医	工	応生	連農	流域	生命セ	情報メ	連創	他	計
21	延検体数 (件)	0	0	0	0	0	0	0	0	0	0	0	0
	延使用时间(H)	0.0	0.0	0.0	0.0	0.0	0.0	0.0	0.0	0.0	0.0	0.0	0.0
22	延検体数 (件)	0	0	0	7	0	0	0	0	0	0	0	7
	延使用时间(H)	0.0	0.0	0.0	14.0	0.0	0.0	0.0	0.0	0.0	0.0	0.0	14.0
23	延検体数 (件)	0	0	0	5	0	0	0	0	0	0	0	5
	延使用时间(H)	0.0	0.0	0.0	162.5	0.0	0.0	0.0	0.0	0.0	0.0	0.0	162.5

17 X線マイクロCTスキャナ (東陽テクニカ製)

納入年月日 平成22年11月5日

年度	区分	教育	地域	医	工	応生	連農	流域	生命セ	情報メ	連創	他	計
22	延検体数 (件)	0	0	0	13	123	0	0	0	0	0	0	136
	延使用时间(H)	0.0	0.0	0.0	50.5	219.0	0.0	0.0	0.0	0.0	0.0	0.0	269.5
23	延検体数 (件)	0	0	0	33	343	0	0	9	0	0	0	385
	延使用时间(H)	0.0	0.0	0.0	34.5	985.0	0.0	0.0	45.5	0.0	0.0	0.0	1,065.0

18 デジタルマイクロスコープ (ライカ製)

納入年月日 平成22年11月10日

年度	区分	教育	地域	医	工	応生	連農	流域	生命セ	情報メ	連創	他	計
22	延検体数 (件)	0	0	0	95	37	0	0	0	0	0	0	132
	延使用时间(H)	0.0	0.0	0.0	49.0	23.5	0.0	0.0	0.0	0.0	0.0	0.0	72.5
23	延検体数 (件)	0	0	0	50	35	0	0	0	0	0	0	85
	延使用时间(H)	0.0	0.0	0.0	37.0	7.0	0.0	0.0	0.0	0.0	0.0	0.0	44.0

19 粒子径・ゼータ電位・分子量測定装置 (シスメックス(株)製)

納入年月日 平成22年9月30日

年度	区分	教育	地域	医	工	応生	連農	流域	生命セ	情報メ	連創	他	計
22	延検体数 (件)	0	0	0	26	18	0	0	0	0	0	0	44
	延使用时间(H)	0.0	0.0	0.0	91.5	103.5	0.0	0.0	0.0	0.0	0.0	0.0	195.0
23	延検体数 (件)	7	0	0	53	157	0	0	0	0	0	0	217
	延使用时间(H)	18.5	0.0	0.0	55.5	203.5	0.0	0.0	0.0	0.0	0.0	0.0	277.5

20 粒子形状測定装置 (シスメックス(株)製)

納入年月日 平成22年9月30日

年度	区分	教育	地域	医	工	応生	連農	流域	生命セ	情報メ	連創	他	計
22	延検体数 (件)	0	0	0	0	0	0	0	0	0	0	0	0
	延使用时间(H)	0.0	0.0	0.0	0.0	0.0	0.0	0.0	0.0	0.0	0.0	0.0	0.0
23	延検体数 (件)	0	0	0	7	187	0	0	0	0	0	0	194
	延使用时间(H)	0.0	0.0	0.0	3.5	150.0	0.0	0.0	0.0	0.0	0.0	0.0	153.5

21 レオメーター (ティ・エイ・インストゥルメント社製)

納入年月日 平成23年3月31日

年度	区分	教育	地域	医	工	応生	連農	流域	生命セ	情報メ	連創	他	計
23	延検体数 (件)	0	0	0	0	221	0	0	0	0	0	0	221
	延使用时间(H)	0.0	0.0	0.0	0.0	314.0	0.0	0.0	0.0	0.0	0.0	0.0	314.0

22 動的粘弾性測定装置 (ティ・エイ・インストゥルメント社製)

納入年月日 平成23年3月31日

年度	区分	教育	地域	医	工	応生	連農	流域	生命セ	情報メ	連創	他	計
23	延検体数 (件)	0	0	0	3	218	0	0	0	0	0	0	221
	延使用时间(H)	0.0	0.0	0.0	8.0	320.5	0.0	0.0	0.0	0.0	0.0	0.0	328.5

23 旋光計 (日本分光製)

納入年月日 平成23年3月1日

年度	区分	教育	地域	医	工	応生	連農	流域	生命セ	情報メ	連創	他	計
23	延検体数 (件)	0	0	0	0	0	0	0	3	0	0	0	3
	延使用时间(H)	0.0	0.0	0.0	0.0	0.0	0.0	0.0	1.5	0.0	0.0	0.0	1.5

※ 教育:教育学部, 地域:地域科学部, 医:医学部, 工:工学部, 応生:応用生物科学部, 連農:大学院連合農学研究所, 流域:流域圏科学研究センター
生命セ:生命科学総合研究支援センター, 情報メ:総合情報メディアセンター, 連創:連合創薬医療情報研究科(人獣感染防御研究センター), 他:岐阜薬科大学他

(医学施設)

1-1 フーリエ変換核磁気共鳴装置 (Bruker Biospin AVANCEIII 5 0 0 ブルカー製)

納入年月日 平成21年 月 日

管理換年月日 平成23年4月1日 (人獣)

年度	区分	教育	地域	医	工	応生	連農	流域	生命セ	情報メ	連創	他	計
23	延検体数 (件)	0	0	40	0	0	0	0	101	0	19	0	160
	延使用时间(H)	0.0	0.0	15.0	0.0	0.0	0.0	0.0	10.5	0.0	119.5	0.0	145.0

1-2 フーリエ変換核磁気共鳴装置 (Bruker Biospin AVANCEIII 6 0 0 ブルカー製)

納入年月日 平成21年 月 日

管理換年月日 平成23年4月1日 (人獣)

年度	区分	教育	地域	医	工	応生	連農	流域	生命セ	情報メ	連創	他	計
23	延検体数 (件)	0	0	10	1	62	0	0	15	0	16	0	104
	延使用时间(H)	0.0	0.0	11.5	1.0	38.0	0.0	0.0	559.0	0.0	577.5	0.0	1,187.0

1-3 フーリエ変換核磁気共鳴装置 (Bruker Biospin AVANCEIII 8 0 0 ブルカー製)

納入年月日 平成21年 月 日

管理換年月日 平成23年4月1日 (人獣)

年度	区分	教育	地域	医	工	応生	連農	流域	生命セ	情報メ	連創	他	計
23	延検体数 (件)	0	0	1	0	14	0	0	6	0	10	0	31
	延使用时间(H)	0.0	0.0	1.0	0.0	289.0	0.0	0.0	255.5	0.0	1,557.5	0.0	2,103.0

2 電界放射型透過電子顕微鏡 (JEOL JEM-2100FGK 日本電子製)

納入年月日 平成20年 月 日

管理換年月日 平成23年4月1日 (人獣)

年度	区分	教育	地域	医	工	応生	連農	流域	生命セ	情報メ	連創	他	計
23	延検体数 (件)	0	0	0	0	0	0	0	0	0	12	0	12
	延使用时间(H)	0.0	0.0	0.0	0.0	0.0	0.0	0.0	0.0	0.0	40.0	0.0	40.0

3 超高輝度X線回折装置 (Rigaku FR-E SuperBright)

納入年月日 平成17年 月 日

管理換年月日 平成23年4月1日 (人獣)

年度	区分	教育	地域	医	工	応生	連農	流域	生命セ	情報メ	連創	他	計
23	延検体数 (件)	0	0	0	0	0	0	0	0	0	0	0	0
	延使用时间(H)	0.0	0.0	0.0	0.0	0.0	0.0	0.0	0.0	0.0	0.0	0.0	0.0

4 ESR (Bruker Biospin EMXmicro ブルカー製)

納入年月日 平成21年 月 日

管理換年月日 平成23年4月1日 (人獣)

年度	区分	教育	地域	医	工	応生	連農	流域	生命セ	情報メ	連創	他	計
23	延検体数 (件)	0	0	0	0	0	0	0	0	0	0	0	0
	延使用时间(H)	0.0	0.0	0.0	0.0	0.0	0.0	0.0	0.0	0.0	0.0	0.0	0.0

5 ルーチン用クリオスタット (LEICA CM1850)

納入年月日 平成21年 月 日 管理換年月日 平成23年4月1日 (人獣)

年度	区分	教育	地域	医	工	応生	連農	流域	生命セ	情報メ	連創	他	計
23	延検体数(件)	0	0	0	0	0	0	0	0	0	1	0	1
	延使用時間(日)	0.0	0.0	0.0	0.0	0.0	0.0	0.0	0.0	0.0	2.0	0.0	2.0

別表

平成23年度 機器分析装置登録者数

(柳戸施設)

機器名	教育	地域	医	工	応生	生命セ	流域	連創	合計
	計	計	計	計	計	計	計	計	
核磁気共鳴装置									
400MHz	14	0	0	113	65	1	0	3	196
500MHz溶液	14	0	0	92	63	1	0	2	172
500MHz固体	0	0	0	24	15	1	0	0	40
600MHz	14	0	0	111	63	1	0	2	191
計	42	0	0	340	206	4	0	7	599
電子スピノ共鳴装置									
ESR	0	0	0	73	2	0	0	1	76
計	0	0	0	73	2	0	0	1	76
質量分析装置									
JMS-700	11	0	1	29	15	1	0	2	59
JMS-K9	0	0	0	44	11	1	0	0	56
GcmateII	0	0	0	21	2	0	0	0	23
AccuTOF	0	0	0	13	0	0	0	0	13
液体クロマトグラフ	8	0	0	0	8	1	0	0	17
計	19	0	1	107	36	3	0	2	168
電子顕微鏡									
TEM(日立H-7000)	0	0	0	17	5	0	0	0	22
TEM(日本電子JMS-2100)	0	0	0	94	2	1	0	0	97
オスキューター	2	0	0	81	21	4	0	0	108
イオンミリング	0	0	0	37	0	0	0	0	37
精密イオンポリッシング	0	0	0	40	0	0	0	0	40
SEM-4800	0	0	0	172	22	4	0	0	198
SEM-4300	7	0	0	169	17	4	5	0	202
SEM-3000	0	0	0	136	33	0	0	0	169
計	9	0	0	746	100	13	5	0	873
X線光電子分析装置									
Quantera	0	0	0	156	0	1	0	0	157
計	0	0	0	156	0	1	0	0	157
円二色性分散計									
CD	0	0	4	50	17	1	0	2	74
計	0	0	4	50	17	1	0	2	74
誘導結合プラズマ発光分析装置									
ICP(堀場)	1	0	0	83	7	0	4	0	95
計	1	0	0	83	7	0	4	0	95
赤外分光光度計									
FT-IR	8	0	0	67	28	1	0	1	105
顕微IR	0	0	3	42	11	1	0	1	58
React IR	0	0	0	17	11	0	0	0	28
Illuminat IR	6	0	0	16	11	0	0	0	33
計	14	0	3	142	61	2	0	2	224
紫外可視分光光度計									
UV-Vis	8	0	4	84	17	1	0	0	114
計	8	0	4	84	17	1	0	0	114
超高速現象解析システム									
	0	0	0	33	5	0	0	0	38
計	0	0	0	33	5	0	0	0	38
時間分解蛍光光度計									
NAES	0	0	3	57	0	0	0	1	61
計	0	0	3	57	0	0	0	1	61
走査型プローブ顕微鏡									
SPM(各自対応)	0	0	0	129	5	1	0	1	136
計	0	0	0	129	5	1	0	1	136
有機微量元素分析装置									
MT-6(各自対応)	10	0	6	40	4	1	0	0	61
計	10	0	6	40	4	1	0	0	61
顕微レーザーラマン分光システム									
NRS-1000	0	0	0	71	5	0	0	0	76
計	0	0	0	71	5	0	0	0	76

機 器 名	教育	地域	医	工	応生	生命セ	流域	連創	合計
	計	計	計	計	計	計	計	計	
熱分析システム (各自対応)	0	0	0	123	13	0	0	2	138
DSC・TMA・TG-DTA	0	0	0	123	13	0	0	2	138
計	0	0	0	123	13	0	0	2	138
フェムト秒ファイバーレーザー	0	0	0	6	0	0	0	0	6
計	0	0	0	6	0	0	0	0	6
テラヘルツ分光走査型顕微鏡	0	0	0	33	14	0	0	0	47
計	0	0	0	33	14	0	0	0	47
X線マイクロCTスキャン	0	0	0	33	14	0	0	0	47
計	0	0	0	33	14	0	0	0	47
合計	103	0	21	2,306	506	27	9	18	2,990

(医学施設)

機 器 名	教育	地域	医	工	応生	生命セ	流域	連創	合計
	計	計	計	計	計	計	計	計	
核磁気共鳴装置	0	0	11	10	17	1	0	1	40
500MHz	0	0	11	10	17	1	0	1	40
600MHz	0	0	5	0	28	2	0	2	37
800MHz	0	0	5	10	33	2	0	2	52
計	0	0	21	20	78	5	0	5	129
電子スピンの共鳴装置	0	0	0	7	17	0	0	1	25
ESR	0	0	0	7	17	0	0	1	25
計	0	0	0	7	17	0	0	1	25
超高輝度X線回折装置	0	0	0	5	1	1	0	1	8
XRD	0	0	0	5	1	1	0	1	8
計	0	0	0	5	1	1	0	1	8
電子顕微鏡	0	0	0	5	0	0	0	1	6
TEM(日本電子JEM-2100FGK)	0	0	0	5	0	0	0	1	6
計	0	0	0	5	0	0	0	1	6
ルーチン用クリオスタット	0	0	2	0	0	5	0	2	9
計	0	0	2	0	0	5	0	2	9
合計	0	0	46	78	192	24	0	20	360

2. 講習会・講演会等

1. 機器分析分野協力員会議

- * 質量分析装置(JMS-700・JMS-K9・GCmate II)
第1回質量分析装置協力員会議
平成23年4月19日(火)
議題(1)平成23年度講習会について
(2)その他
- * 電子スピン共鳴装置
第1回電子スピン共鳴装置協力員会議
平成23年4月18日(月)
議題(1)平成23年度講習会について
(2)その他
- * 電子顕微鏡
第1回電子顕微鏡協力員会議
平成23年4月21日(木)
議題(1)平成23年度講習会について
(2)その他
- * 誘導結合プラズマ発光分析装置
第1回誘導結合プラズマ発光分析装置協力員会議
平成23年4月22日(金)
議題(1)平成23年度講習会について
(2)その他
- * フェムト秒ファイバーレーザー
- * テラヘルツ分光走査型顕微鏡
第1回フェムト秒ファイバーレーザー・テラヘルツ分光走査型顕微鏡協力員会議
平成23年4月18日(月)
議題(1)平成23年度講習会について
(2)その他
- * 超高速現象解析システム
第1回超高速現象解析システム協力員会議
平成23年4月25日(月)
議題(1)平成23年度講習会について
(2)その他
- * X線光電子分析装置
第1回X線光電子分析装置協力員会議
平成23年4月19日(火)
議題(1)平成23年度講習会について
(2)その他
- * フーリエ変換核磁気共鳴装置
第1回フーリエ変換核磁気共鳴装置協力員会議
平成23年4月20日(水)
議題(1)平成23年度講習会について
(2)その他
- * 走査型プローブ顕微鏡システム
第1回走査型プローブ顕微鏡システム協力員会議
平成23年4月20日(水)
議題(1)平成23年度講習会について
(2)その他
- * 有機微量元素分析装置
第1回有機微量元素分析装置協力員会議
平成23年4月25日(月)
議題(1)平成23年度講習会について
(2)その他
- * 時間分解蛍光光度計
第1回時間分解蛍光光度計協力員会議
平成23年4月18日(月)
議題(1)平成23年度講習会について
(2)その他
- * 顕微レーザーラマン分光システム
第1回顕微レーザーラマン分光システム協力員会議
平成23年4月22日(金)
議題(1)平成23年度講習会について
(2)その他
- * 熱分析システム装置
第1回熱分析システム協力員会議
平成23年4月26日(火)
議題(1)平成23年度講習会について
(2)新規導入機器(レオメーター・動的粘弾性測定装置)の測定料について
(3)その他
- * 小型機器(IR・UV・CD・旋光計)
第1回小型機器協力員会議
平成23年4月25日(月)
議題(1)平成23年度講習会について
(2)新規導入機器(旋光計)の測定料について
(3)その他
- * 3次元物質微細構造解析システム(X線マイクロCTスキャン・粒子径・ゼータ電位・分子量測定装置・デジタルマイクロスコープ・フロー式粒子像解析装置)
第1回3次元物質微細構造解析システム協力員会議
平成23年4月26日(火)
議題(1)平成23年度講習会について
(2)利用料金について
(3)その他

- * 超高輝度X線回折装置 (XRD)
 - 第1回超高輝度X線回折装置協力員会議
 - 平成23年4月21日(木)
 - 議題(1)平成23年度講習会について
 - (2)利用料金について
 - (3)その他

2. 第15回国立大学機器・分析センター会議

- 平成23年10月28日(金)
- 場所: 岡山口イタルホテル 光楽の間
- 当番校: 国立大学法人 岡山大学
- 自然生命科学研究支援センター
- 分析計測・極低温部門
- 議題: (1)会計監査報告
- (2)幹事会報告
- (3)アンケート集計結果報告
- (4)大型連携研究設備ネットワーク
- 分野長近江靖則出席

3. センター見学

- * 平成23年6月1日(水)
 - 日本インシュレーション(株) 計1名
- * 平成23年6月7日(火)
 - アピ(株) 計1名
- * 平成23年6月22日(水)
 - 東海地区高等学校 教員 計14名
- * 平成23年9月6日(火)
 - 弘前大学 教授 計1名
- * 平成23年10月24日(月)
 - 朝日大学 歯学部教員 計1名
- * 平成24年3月2日(金)
 - 名古屋工業大学 技術職員 計1名

4. 各種講習会及びセミナー

- * 講習会 (別表参照)
- * 平成23年度
 - 機器分析分野 (医学施設) の機器紹介 1
 - ～有機化合物自動分取精製システムおよび
 - 超高輝度X線回折装置について～
 - 平成23年6月8日(水)
 - 参加人数 7名 (職員4名 学生3名)
- 機器分析分野 (医学施設) の機器紹介 2
- ～800MHz NMR装置・FE-TEM等について～
- 平成23年6月15日(水)
- 参加人数 6名 (職員5名 学生1名)

★平成23年度第17回大型精密機器高度利用公開セミナー

- 平成23年度 中学生のための公開セミナー
- 最先端の装置で見える世界—
- 平成23年8月11日(木)
- 参加人数 36名 (保護者13名含む)
- 講師: 高橋 周平/工学部 機械システム工学科
- 講師: 大矢 豊/工学部 機能材料工学科
- 講師: 櫻田 修/工学部 機能材料工学科
- 講師: 吉田 道之/工学部 機能材料工学科
- 講師: 西津 貴久/応用生物科学部
- 講師: 近江 靖則/機器分析分野

★平成23年度第18回大型精密機器高度利用公開セミナー

- 『～機能性材料・食品分析の基礎と応用～』
- 平成23年12月17日(水)
- 参加人数 61名 (学外5名 学内56名)
- 1. 「電子顕微鏡の前処理法
- ～切断からコーティングまで～」
- 鈴木 正隆/メイワフォーシス株式会社
- フロンティアサイエンス
- 2. 「最新の3次元X線マイクロ/ナノCTスキャナのご紹介」
- 志方 浩/株式会社東陽テクニカ
- 分析システム営業部
- 3. 「粘弾性測定 of 基礎と応用」
- 高野 雅嘉/TA インスツルメント
- EM アプリケーショングループ
- 4. 生命科学総合研究支援センター機器分析
- 分野 見学会
- (希望者のみ)

* メーカー講習会

* 新規導入機器講習会

- UV-vis
- 平成23年4月6日(水)
- 講師: 石橋 孝/パーキンエルマージャパン
- 対象: 職員 2名
- 学生 1名

レオメーター

- 平成23年4月22日(金)
- 講師: 船木 薫/ティー・エイ・インスツルメント・ジャパン
- 対象: 職員 5名
- 学生 0名

動的粘弾性

平成23年 5月11日 (金)

講師:田隣 康司/ティー・エイ・インスツル
メント・ジャパン

対象:職員 5名
学生 0名

ダイヤモンドワイヤソー

平成23年 5月20日 (金)

講師:清水 聖子/メイワフォーシス

対象:職員 4名
学生 1名

カーボンコーター

平成23年 5月20日 (金)

講師:清水 聖子/メイワフォーシス

対象:職員 1名
学生 1名

UV-vis

平成23年 5月20日 (金)

講師:大町 敏雄/アイランド

対象:職員 2名
学生 1名

AccuTOF

平成23年 6月23日 (火)

講師:堀口 千人/日本電子

対象:職員 14名
学生 8名

サーモカメラ

平成23年 8月8日 (月)

講師:生尾 和行/セキテクノトロン

対象:職員 5名
学生 4名

量子収率・蛍光寿命

平成23年 8月25日 (木)

講師:伊藤 孝/浜松ホトニクス
坂本 泰斗/オックスフォード・インス
トゥルメンツ

対象:職員 7名
学生 1名

分光蛍光光度計

平成23年 8月26日 (金)

講師:西川 孝/日本分光

対象:職員 6名
学生 3名

有機微量元素分析装置

平成23年 9月2日 (金)

講師:田中 範弘/ジェイ・サイエンス東海

対象:職員 19名
学生 11名

有機微量元素分析装置 (硫黄分析ユニット)

平成24年 1月20日 (金)

講師:田中 範弘/ジェイ・サイエンス東海

対象:職員 4名

5. 機器分析分野受託試験等依頼実績

質量分析装置

X線マイクロCT スキャナ

絶対量子収率測定装置

電子スピン共鳴装置

計 4 件

6. 機器分析分野機関誌の原稿作成等

生命科学総合研究支援センター年報 第8号
ホームページ

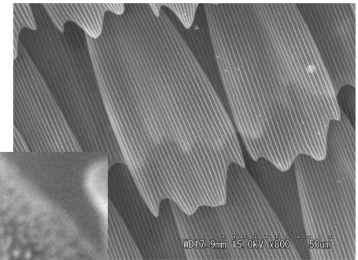
(<http://www1.gifu-u.ac.jp/~lsrc/dia>)

平成23年度 中学生のための公開セミナー —最先端の装置で見える世界—

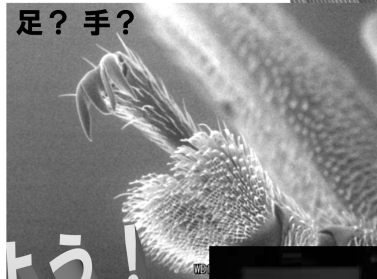
岐阜大学生命科学総合研究支援センター
機器分析分野 協賛：日本化学会（予定）



未来を見つめるテクノロジー



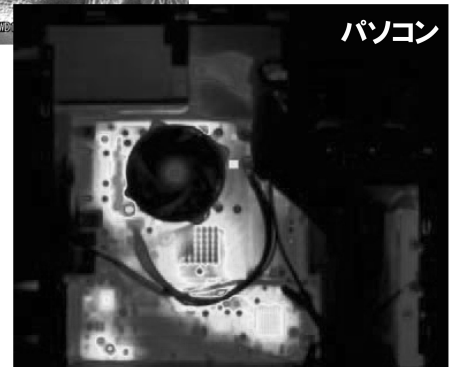
蝶の鱗粉



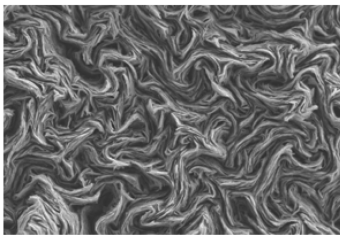
足？手？

最先端機器を使ってみよう！

走査型電子顕微鏡
デジタルマイクロスコープ
高速度カメラ
サーモカメラ
X線マイクロCTスキャン
を公開します。



パソコン



シャーペンの芯(グニャグニャ)

参加費無料！

あたたかい！



蟻



岐阜大学
生命科学総合研究支援センター
機器分析分野

日時：平成23年8月11日(木) 12:00～16:00
場所：岐阜大学生命科学総合研究支援センター機器分析分野
対象：中学生、小学生(高学年)(保護者、先生の参加も歓迎します)
定員：30名程度(締切：平成23年7月22日(金))
申し込み・問い合わせ：E-mail: kiki@gifu-u.ac.jp
TEL:058-293-2035、FAX:058-293-2036
HP:<http://www1.gifu-u.ac.jp/~lsrc/dia>

平成23年度 第18回大型精密機器高度利用公開セミナー ～機能性材料・食品分析の基礎と応用～

主催：岐阜大学生命科学総合研究支援センター 機器分析分野
日時：平成23年12月7日（水）13:30～
場所：岐阜大学工学部101番教室(〒501-1193 岐阜市柳戸1-1)

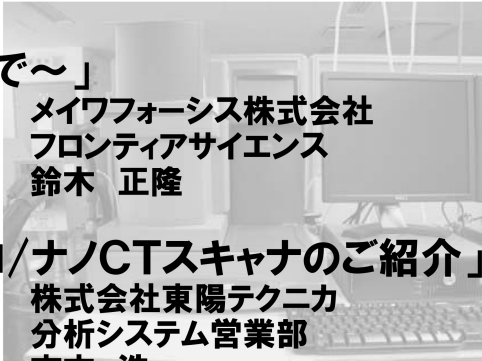
講演内容

1. 「電子顕微鏡の前処理法 ～切断からコーティングまで～」



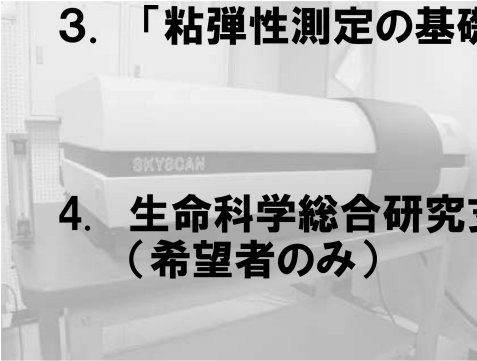
メイワフォーシス株式会社
フロンティアサイエンス
鈴木 正隆

2. 「最新の3次元X線マイクロ/ナノCTスキャナのご紹介」



株式会社東陽テクニカ
分析システム営業部
志方 浩

3. 「粘弾性測定の基礎と応用」



TAインスルツメント
EMアプリケーショングループ
高野 雅嘉

4. 生命科学総合研究支援センター機器分析分野 見学会 (希望者のみ)

参加費：無料

申込み：下記の項目を明記の上、E-mail (宛先:kiki@gifu-u.ac.jp) にて参加申込をお願いします。(学外者のみ、当日参加も可能)

- ①氏名, ②所属, ③参加人数,
- ④連絡先(住所, TEL, メールアドレス)



岐阜大学
GIFU UNIVERSITY

岐阜大学 生命科学総合研究支援センター 機器分析分野

TEL : 058-293-2035 FAX : 058-293-2036

E-mail : kiki@gifu-u.ac.jp

URL : <http://www1.gifu-u.ac.jp/~lsrc/dia>

3. 利用者研究論文一覧 (2010年)

(順不同)

1. K. Mitsukura, M. Suzuki, S. Shinoda, T. Kuramoto, T. Kuramoto, T. Yoshida, T. Nagasawa. Purification and Characterization of Novel (*R*)-Imine Reductase from *Streptomyces* sp. GF3587, *Biosci. Biotechnol. Biochem.*, **75**, 1778-1782 (2011): (NMR)
2. M. Yamada, F. Yoshida, H. Ando, H. Ishida, M. Kiso, M. Tako, Synthesis of 6-deoxy-D-altrose used as an authentic sample to identify an unknown monosaccharide isolated from the fruiting body of an edible mushroom, *HETEROCYCLES*, **82**, 1699-1704 (2011): (NMR)
3. N. Yasuda, N. Takahashi, N. Hidayah, H. Ohwa, O. Sakurada, Y. Tachi, K. Fujita, Y. Yamashita, M. Iwata, H. Terauchi, Y. Ishibashi, Domain switching in nanometer scale in Bismuth-based relaxor solid solution, *J. Phys., Conf. Ser.* 320012091 (2011): (AFM)
4. N. Yasuda, T. Fuwa, H. Ohwa, Y. Tachi, Y. Yamashita, K. Fujita, M. Iwata, H. Terauchi, Y. Ishibashi, Hierarchical Domain Structures in Relaxor $24\text{Pb}(\text{In}_{1.2}\text{Nb}_{1.2})\text{O}_3\text{-}46\text{Pb}(\text{Mg}_{1.3}\text{Nb}_{2.3})\text{O}_3\text{-}30\text{PbTiO}_3$ near a Morphotropic Phase Boundary Composition Grown by Bridgman Method, *Jpn. J. Phys.*, **50**, 09NC01 (2011): (AFM)
5. N. Yasuda, R. Osawa, H. Ohwa, Z. Czapla, The effect of pressure on the ferroelectric-paraelectric phase transition in the guanidinium compound $[\text{C}(\text{NH}_2)_3]_4\text{Cl}_2\text{SO}_4$, *Current Applied Physics*, **11**, S 45-S47 (2011): (AFM)
6. N. Yasuda, N. Miyazono, H. Ohwa, Y. Tachi, Y. Yamashita, K. Fujita, M. Iwata, Y. Ishibashi, The Effect of Pressure on the Poling Condition in Lead-based Relaxor Ferroelectric Solid Solutions, *J. the Korean Physical Society*, **59**, 2486-2491 (2011): (SEM)
7. H. Shimizu, Y. Iwayama, A. Imamura, H. Ando, H. Ishida, M. Kiso, Synthesis of the disialic acid-embedded glycan part of ganglioside HPG-1. *Biosci. Biotech. Biochem.*, **75**, 2079-2082 (2011): (NMR)
8. H. H. M. Abdu-Allah, K. Watanabe, S. Daikoku, O. Kanie, T. Tsubata, H. Ando, H. Ishida, M. Kiso, Design and synthesis of a multivalent heterobifunctional CD22 ligand as a potential immunomodulator, *Synthesis*, **18**, 2968-2974 (2011): (NMR)
9. M. Sadagopan, H. Ando, T. Tsubata, H. Ishida, M. Kiso, High-affinity ligands of siglec receptors and their therapeutic potentials, *Current Medicinal Chemistry*, **18**, 3537-3550 (2011): (NMR)
10. Y. Iwayama, H. Ando, H. Tanaka, H. Ishida, M. Kiso, Synthesis of the glycan moiety of ganglioside HPG-7 with an unusual trimer of sialic acid as the inner sugar residue, *Chem. Comm.*, **47**, 9726-9728 (2011): (NMR)
11. M. Sadagopan, S. Sriwilajaroen, S. Moriya, H. Ando, T. Miyagi, Y. Suzuki, H. Ishida, M. Kiso, Evaluation of a set of C9 N-acyl Neu5Ac2en mimetics as viral sialidase selective inhibitors, *Int. J. Med. Chem.*, 1-7 (2011): (NMR)
12. M. Yamada, F. Yoshida, H. Ando, H. Ishida, M. Kiso, M. Tako, Synthesis of 6-deoxy-D-altrose used as an authentic sample to identify an unknown monosaccharide isolated from the fruiting body of an edible mushroom, *HETEROCYCLES*, **82**, 1699-1704 (2011): (NMR)
13. K. Fujikawa, S. Nakashima, M. Konishi, T. Fuse, N. Komura, T. Ando, H. Ando, N. Yuki, H. Ishida, M. Kiso, The first total synthesis of ganglioside GalNAc-GD1a, a target molecule for autoantibodies in Guillain-Barré syndrome, *Chem. Eur. J.*, **17**, 5461-5651 (2011): (NMR)
14. H. Tamai, H. Ando, H. Tanaka, R. Hosoda-Yabe, T. Yabe, H. Ishida, M. Kiso, The total synthesis of the neurogenic ganglioside LLG-3 isolated from the starfish *Linckia laevigata*, *Angew. Chem. Int. Ed. Engl.*, **50**, 2330-2333 (2011): (NMR)
15. H. H. M. Abdu-Allah, K. Watanabe, G. C. Completo, M. Sadagopan, K. Hayashizaki, C. Takaku, T. Tamanaka, H. Takematsu, Y. Kozutsumi, J. C. Paulson, T. Tsubata, H. Ando, H. Ishida, M. Kiso, CD

- 22-Antagonists with nanomolar potency: The synergistic effect of hydrophobic groups at C-2 and C-9 of sialic acid scaffold, *Bioorg. Med. Chem.*, **19**, 1966-1971 (2011): (NMR)
16. S. Nakashima, H. Ando, A. Imamura, N. Yuki, H. Ishida, M. Kiso, A first total synthesis of a hybrid-type ganglioside associated with amyotrophic lateral sclerosis-like disorder, *Chem. Eur. J.*, **17**, 588-597 (2011): (NMR)
 17. Y. Atoji, Immunohistochemical localization of vesicular glutamate transporter2 (vGluT2) in the central nervous system of the pigeon (*Columba livia*), *J. Comp. Neurol.*, **519**, 2887-2905 (2011): (TEM)
 18. S. Kusuda, A. Iwasawa, O. Doi, Y. Ohya, N. Yoshizaki, Diversity of the cuticle layer of avian eggshells, *J. Poult. Sci.*, **48**, 119-124 (2011): (SEM, TEM)
 19. T. Ito, N. Yoshizaki, T. Tokumoto, H. Ono, T. Yoshimura, A. Tsukada, N. Kansaku, T. Sasanami, Progesterone is a sperm-releasing factor from the sperm-storage tubules in birds, *Endocrinology*, **152**, 3952-3962 (2011): (SEM, TEM)
 20. T. Sasanami, N. Yoshizaki, H. Dohra, H. Kubo, Sperm acrosin is responsible for the sperm binding to the egg envelope during fertilization in Japanese quail (*Coturnix japonica*), *Reproduction*, **142**, 267-276 (2011): (TEM)
 21. K. Ohta, E. Koketsu, Y. Nagase, N. Takahashi, H. Watanabe, M. Yoshimatsu, Lewis Acid-Catalyzed Propargylic Etherification and Sulfanylation from Alcohols in MeNO₂-H₂O, *Chem. Pharm. Bull.*, **59**, 1133-1140 (2011): (NMR, MS, CHNO, FT-IR)
 22. M. Tomizawa, K. A. Durkin, I. Ohno, K. Nagura, M. Manabe, S. Kumazawa, S. Kagabu, *N*-Halooacetylmino Neonicotinoids: Potency and Molecular Recognition at the Insect Nicotinic Receptor, *Bioorg. Med. Chem. Lett.*, **21**, 3583-3586 (2011): (MS, NMR, IR, HPLC)
 23. S. Kagabu, Discovery of Imidacloprid and Further Developments from Strategic Molecular Designs, *J. Agric. Food. Chem.*, **59**, 2887-2896 (2011): (MS, NMR, IR, HPLC)
 24. S. Kagabu, Proneonicotinoid, *J. Agric. Food. Chem.*, **59**, 2918-2922 (2011): (MS, NMR, IR)
 25. K. Ando, T. Egami, Facile synthesis of α -amino phosphonates in water by Kabachnik-Fields reaction using magnesium dodecyl sulfate, *Heteroatom. Chem.*, **22**, 358-362 (2011): (MS)
 26. H. Yamanichi, S. Matsukawa, S. Kojima, K. Ando, Y. Yamamoto, Structure and Dynamic Behavior of Neutral Hexacoordinate Antimony Compounds with Intramolecular Coordination, *Heteroatom. Chem.*, **22**, 553-561 (2011): (MS)
 27. K. Ando, K. Sato, Z-Selective intramolecular Horner-Wadsworth-Emmons reaction for the synthesis of macrocyclic alkenes, *Tetrahedron Lett.*, **52**, 1284-1287 (2011): (MS)
 28. K. Ando, K. Yamada, Highly E-selective solvent-free Horner-Wadsworth-Emmons reaction catalyzed by DBU, *Green Chem.*, **13**, 1143-1146 (2011): (MS)
 29. T. Goto, K. Takeda, N. Shimada, H. Nambu, M. Anada, M. Shiro, K. Ando, S. Hashimoto, Highly Enantioselective Cyclopropanation Reaction of 1-Alkynes with α -alkyl- α -diazoesters Catalyzed by Dirhodium (II) Carboxylates, *Angew. Chem. Int. Ed.*, **50**, 6803-6808 (2011): (MS)
 30. T. Goto, K. Takeda, M. Anada, M. Shiro, K. Ando, S. Hashimoto, Enantio- and diastereoselective cyclopropanation with *tert*-butyl α -diazopropionate catalyzed by dirhodium (II) tetrakis [*N*-tetrabromophthaloyl-(*S*)-*tert*-leucinate], *Tetrahedron Lett.*, **52**, 4200-4203 (2011): (MS)
 31. Y. Naruse, Y. Todo, M. Shiomi, Geminal Bond Participation in Carroll Rearrangement, *Tetrahedron Lett.*, **52**, 4456-4460 (2011): (MS)
 32. T. Murai, K. Matsushita, Sequential One-pot Reactions of Thioformamides with Organolithium and $-Zinc$ Reagents, *Phosphorus, Sulfur, and Silicon*, **186**, 1094-1103 (2011): (MS)
 33. T. Murai, T. Ohashi, F. Shibahara, Sequential One-pot Reactions of Thioformates with Lithium Silylacetylides, Arylmagnesium Halides, and Electrophiles Leading to Formation of Propargyl Sulfides, *Chem. Lett.*, **40**, 70-71 (2011): (MS)

34. T. Murai, F. Hori, T. Maruyama, Intramolecular Cyclization of in situ Generated Adducts Formed between Thioamide Dianions and Thioformamides Leading to Generation of 5-Amino-2-thiazolines and 5-Aminothiazoles, and Their Fluorescence Properties, *Org. Lett.*, **13**, 1718-1721 (2011): (MS)
35. T. Kimura, J. Hosokawa-Muto, K. Asami, T. Murai, K. Kuwata, Synthesis of 9-substituted 2, 3, 4, 9-tetrahydro-1H-carbazole Derivatives and Evaluation of Their Anti-prion Activity in TSE-infected Cells, *European Journal of Medicinal Chemistry*, **46**, 5675-5679 (2011): (MS)
36. X.-L. Jiang, L. W. Lim, T. Takeuchi, Vitamin U-bonded Stationary Phase in Capillary Ion Chromatography, *ANALYTICAL SCIENCES DECEMBER*, **27**, 1203-1206, (2011): (MS, CHNO, SEM)
37. Y. Kubota, H. Hara, S. Tanaka, K. Funabiki, M. Matsui, Synthesis and Fluorescence Properties of Novel Pyrazine-Boron Complexes Bearing a β -Iminoketone Ligand, *Org. Lett.*, **13**, 6544-6547 (2011): (NMR, MS, CHNO, FL, QY)
38. S. Higashijima, H. Miura, T. Fujita, Y. Kubota, K. Funabiki, T. Yoshida, M. Matsui, Highly efficient new indoline dye having strong electron-withdrawing group for zinc oxide dye-sensitized solar cell, *Tetrahedron*, **67**, 6289-6293 (2011): (NMR, MS, CHNO, FL)
39. M. Matsui, M. Kotani, Y. Kubota, K. Funabiki, J. Jin, T. Yoshida, S. Higashijima, H. Miura, Comparison of performance between benzoindoline and indoline dyes in zinc oxide dye-sensitized solar cell, *Dyes Pigment.*, **91**, 145-152 (2011): (NMR, MS, CHNO)
40. K. Funabiki, H. Mase, A. Hibino, N. Tanaka, N. Mizuhata, Y. Sakuragi, A. Nakashima, T. Yoshida, Y. Kubota, M. Matsui, Synthesis of a novel heptamethine-cyanine dye for use in near-infrared active dye-sensitized solar cells with porous zinc oxide prepared at low temperature, *Energ. Environ. Sci.*, **4**, 2186-2192 (2011): (NMR, MS, CHNO)
41. K. Funabiki, Y. Itoh, Y. Kubota, M. Matsui, Organocatalytic Asymmetric Direct Aldol Reactions of Trifluoroacetaldehyde Ethyl Hemiacetal with Aromatic Methyl Ketones, *J. Org. Chem.*, **76**, 3545-3550 (2011): (NMR, MS, CHNO)
42. K. Funabiki, K. Matsunaga, H. Gonda, H. Yamamoto, T. Arima, Y. Kubota, M. Matsui, Reversal of diastereoselectivity in reactions of the trifluoroacetaldehyde ethyl hemiacetal with enamines and imines. Metal-free complementary, anti- and syn-selective synthesis of 4, 4, 4-trifluoro-1-aryl-3-hydroxy-2-methyl-1-butanones, *J. Org. Chem.*, **76**, 285-288 (2011): (NMR, MS, CHNO)
43. K. Raman, M. Ninomiya, T. K. N. Nguyen, Y. Tsuzuki, M. Koketsu, B. Kuberan, Novel glycosaminoglycan biosynthetic inhibitors affect tumor-associated angiogenesis, *Biochem. Biophys. Res. Commun.*, **404**, 86-89 (2011): (NMR, MS)
44. D. R. Garud, M. Makimura, M. Koketsu, Synthetic approaches to selenacephams and selenacephams via a cleavage of diselenide and selenium anion, *New J. Chem.*, **35**, 581-586 (2011): (NMR, MS, IR)
45. M. Ninomiya, K. Tanaka, Y. Tsuchida, Y. Muto, M. Koketsu, K. Watanabe, Increased bioavailability of tricin-amino acid conjugates via a prodrug approach, *J. Med. Chem.*, **54**, 1529-1536 (2011): (NMR, MS, IR, CHNO)
46. T. Mori, M. Hidaka, Y.-C. Lin, I. Yoshizawa, T. Okabe, S. Egashira, H. Kojima, T. Nagano, M. Koketsu, M. Takamiya, T. Uchida, A dual inhibitor against prolyl isomerase Pin1 and cyclophilin discovered by a novel real-time fluorescence detection method, *Biochem. Biophys. Res. Commun.*, **406**, 439-443 (2011): (NMR, MS)
47. K. Komura, Y. Nakano, M. Koketsu, Mesoporous silica MCM-41 as a highly active, recoverable and reusable catalyst for direct amidation of fatty acids and long-chain amines, *Green Chem.*, **13**, 828-831 (2011): (NMR)
48. M. Adfa, Y. Hattori, T. Yoshimura, K. Komura, M. Koketsu, Antifeedant and termiticidal activities of 6-alkoxycoumarins and related analogs against *Coptotermes formosanus* Shiraki, *J. Chem. Ecol.*,

- 37, 598-606 (2011): (NMR, MS, CHNO)
49. K. Akuzawa, R. Yamada, Z. Li, Y. Li, H. Sadanari, K. Matsubara, K. Watanabe, M. Koketsu, Y. Tuchida, T. Murayama, Inhibitory effects of tricin derivative from *Sasa albo-marginata* on replication of human cytomegalovirus, *Antiviral Res.*, **91**, 296-303 (2011): (NMR, MS)
 50. N. Tanahashi, M. Koketsu, Synthesis of 5-amino-2-selenoxo-1, 3-imidazole-4-carboselenoamides by the reaction of isoselenocyanates with aminoacetonitriles, *Tetrahedron Lett.*, **52**, 4650-4653 (2011): (NMR, MS, IR, CHNO)
 51. K. Yazawa, M. Kurokawa, M. Obuchi, Y. Li, R. Yamada, H. Sadanari, K. Matsubara, K. Watanabe, M. Koketsu, Y. Tuchida, T. Murayama, Anti-influenza virus activity of tricin, 4', 5, 7-trihydroxy-3', 5'-dimethoxyflavone, *Antivir. Chem. Chemother.*, **22**, 1-11 (2011): (NMR, MS)
 52. H. Hara, Y. Nakamura, M. Ninomiya, R. Mochizuki, T. Kamiya, E. Aizenman, M. Koketsu, T. Adachi, Inhibitory effects of chalcone glycosides isolated from *Brassica rapa* L. 'hidabeni' and their synthetic derivatives on LPS-induced NO production in microglia, *Bioorg. Med. Chem.*, **19**, 5559-5568 (2011): (NMR, MS, IR)
 53. A. Nishina, H. Kimura, K. Kozawa, G. Sommen, F. Favero, H. Heimgartner, M. Koketsu, S. Furukawa, 3-(2, 6-Dimethylphenyl)-2-selenoxo-1, 3-thiazolidin-4-one suppresses hydrogen peroxide-induced cytotoxicity on PC12 cells via activation of MAPK, *Int. J. Toxicol.*, **30**, 690-699 (2011): (NMR, MS)
 54. M. Ninomiya, H. Satoh, Y. Yamaguchi, H. Takenaka, M. Koketsu, Antioxidant activity and chemical constituents of edible terrestrial alga *Nostoc commune* Vauch., *Biosci. Biotechnol. Biochem.*, **75**, 2175-2177 (2011): (NMR, MS, IR)
 55. A. Nishina, H. Kimura, K. Kozawa, G. Sommen, T. Nakamura, H. Heimgartner, M. Koketsu, S. Furukawa, A superoxide anion-scavenger, 1, 3-selenazolidin-4-one suppresses serum deprivation-induced apoptosis in PC12 cells by activating MAPkinase, *Toxicol. App. Pharmacol.*, **257**, 388-395 (2011): (NMR, MS)
 56. K. Ichinose, Y. Kimikado T. Yoshida, The Effect of Pre-treatments of F-Doped SnO₂ Substrates for Cathodic Nucleation of Zn Crystals in Aqueous ZnCl₂ Solution with Dissolved O₂, *Electrochemistry*, **79**, 146-155 (2011): (SEM, EDX)
 57. L. Sun, K. Ichinose, T. Sekiya, T. Sugiura, T. Yoshida, Cathodic electrodeposition of p-CuSCN nanorod and its dye-sensitized photocathodic property, *Physics Procedia*, **14**, 12-24 (2011): (SEM, TEM)
 58. T. Zhang, A. Kouyama, M. Miura, T. Sugiura, Photoelectrochemical Properties of GaN Synthesized by the Reaction of Ga with LiNH₂, *Transactions of the Materials Research Society of Japan*, **36**, 513-516 (2011): (SEM, XPS)
 59. M. Yamaga, T. Nakamura, Y. Oda, J.-P. R. Wells, T. P. J. Han, Dynamics and energy transfer of Sm²⁺ in KY₃F₁₀ crystals, *J. Ceram. Proc. Res.*, **12**, s241-s245 (2011): (UV, FL)
 60. M. Yamaga, T. Ishikawa, M. Yoshida, T. Hasegawa, E. G. Villora, K. Shimamura, Polarization of optical spectra in transparent conductive oxide β-Ga₂O₃, *Phys. Status Solidi*, **C8**, 2621-2624 (2011): (UV, IR, FL)
 61. S. Kageyama, M. Akagawa, H. Fujiwara, Dielectric function of a-Si:H based on local network structures, *Phys. Rev. B*, **83**, 195205-1~11 (2011): (IR)
 62. T. Kato, Y. Sago, H. Fujiwara, Optoelectronic properties of Mg₂Si semiconducting layers with high absorption coefficients, *J. Appl. Phys.*, **110**, 063723-1~5 (2011): (SEM)
 63. M. Akagawa, H. Fujiwara, High-precision characterization of textured a-Si:H/SnO₂:F structures by spectroscopic ellipsometry, *J. Appl. Phys.*, **110**, 073518-1~9 (2011): (SEM, AFM)
 64. 菊地聡、中川徹、今尾茂樹、小里泰章、地面効果翼の空力特性におよぼす翼型と翼端板の影響、日本機械学会論文集 (B編)、第77巻、2105-2116、(2011) : (PIV)

65. Y. Uematsu, T. Kakiuchi, T. Teratani, Y. Harada, K. Tokaji, Improvement of corrosion fatigue strength of magnesium alloy by multilayer diamond-like carbon coatings, *Surface and Coatings Technology*, **205**, 2778-2784 (2011): (SEM, EDX)
66. M. Akita, T. Kakiuchi, Y. Uematsu, Microstructural Changes of High-Chromium Ferritic Stainless Steel Subjected to Cyclic Loading in 475°C Embrittlement Region, *Procedia Engineering*, **10**, 100-105 (2011): (TEM)
67. Y. Uematsu, K. Tokaji, Y. Tozaki, Y. Nakashima, T. Shimizu, Fatigue behaviour of dissimilar friction stir spot welds between A6061-T6 and low carbon steel sheets welded by a scroll grooved tool without probe, *Fatigue and Fracture of Engineering Materials and Structures*, **34**, 581-591 (2011): (SEM)
68. 秋田正之、植松美彦、柿内利文、戸梶恵郎、中島正貴、高Crフェライト系ステンレス鋼の疲労挙動におよぼす σ 相ぜい性の影響、*材料*、**60**、879-884 (2011) : (SEM, EDX)
69. K. Yamaguchi, T. Matsumoto, K. Kuwata, Proper calibration of ultrasonic power enabled the quantitative analysis of the ultrasonication-induced amyloid formation process, *Protein Sci.*, **21**, 38-49 (2011): (CD)
70. T. Kimura, J. Hosokawa-Muto, K. Asami, T. Murai, K. Kuwata, Synthesis of 9-substituted 2, 3, 4, 9-tetrahydro-1H-carbazole derivatives and evaluation of their anti-prion activity in TSE-infected cells, *Eur. J. Med. Chem.*, **46**, 5675-5679 (2011): (MS)

特許

1. 利部伸三、三富正明、橘田繁輝、野村昌弘、中村哲、山本一美、PEST CONTROL AGENT、特願 WO2012005216、2011 : (NMR、IR、MS)
2. 利部伸三、三富正明、橘田繁輝、堀越亮、野村昌弘、小野崎保道、Noxious organism control agent、特願 WO2012029672、2011 : (NMR、IR、MS)
3. 利部伸三、熊沢智、渡邊積、三宅泰司、イミノ誘導体とその製造方法、並びにこれを含有する殺虫剤、特願 WO2011083810A1、2011 : (MS、NMR、IR)
4. 瀬瀬守、二ノ宮真之、山口裕司、竹中裕行、イソプレノイド化合物、その製造方法、及び抗酸化剤、特願2011-093184、2011 : (MS、NMR、IR)
5. 星野正人、瀬瀬守、新規クマリン誘導体及びそれらを有効成分とするシロアリ防除剤、特願2011-237740、2011 : (MS、NMR、IR、CHNO)

4. 分野教員の教育・研究活動等

1) 教育活動

〈工学研究科・工学部〉

- 「機器分析特論」(選択科目、対象学生：工学研究科、2単位) (近江)
- 「量子化学」(必須科目、対象学生：機能材料工学科、2単位) (近江)
- 「機器分析」(必須科目、対象学生：機能材料工学科、2単位) (近江)
- 「卒業研究」(必須科目、対象学生：機能材料工学科、8単位) (近江)
- 「スペクトル有機化学」(選択科目、対象学生：応用化学科、2単位) (犬塚)
- 「工学基礎実験」(必修科目、対象学生：応用化学科、2単位) (犬塚)

2) 研究活動

〈原著論文・著書等〉

1. Unique surface property of surfactant-assisted mesoporous calcium phosphate, N. Ikawa, H. Hori, T. Kimura, Y. Oumi, T. Sano, *Micropor. Mesopre. Mater.*, **141**, 55-60 (2011).
2. Synthesis and crystal structure of a layered silicate HUS-1 with a halved sodalite-cage topology, T. Ikeda, Y. Oumi, K. Honda, T. Sano, F. Izumi, K. Momma, *Inorganic Chem.*, **50**, 2294-2301 (2011).

3. Selective formation of p-Xylene in aromatization of propane over silicalite-1-coated GaAIMFI, K. Mabuchi, M. Miyamoto, Y. Oumi, S. Uemiya, J. Jpn. Petro. Instit., 54, 275-276 (2011).
4. Preparation of thin and dense electroless-plated Pd membrane by controlling Pd deposition behavior, M. Miyamoto, H. Okuda, Y. Oumi, S. Uemiya, H. Konno, Trans. Mater. Research Soc. Jpn., 36, 229-232 (2011).
5. Incorporation of highly dispersed aluminum into inner surfaces of supermicroporous silica using anionic surfactant, S. Sumiya, J. Fujiwara, Y. Oumi, M. Sadakane, T. Sano, J. Porous Mater. 18,493-500 (2011).
6. Cavity hydration as a gateway to unfolding: An NMR study of hen lysozyme at high pressure and low temperature, Y. O. Kamatari, L. J. Smith, C. M. Dobson, K. Akasaka, Biophys. Chem. 156, 24-30 (2011).
7. Synthesis of GN8 derivatives and evaluation of their antiprion activity in TSE-infected cells, T. Kimura, J. Hosokawa-Muto, Y. O. Kamatari, K. Kuwata, Bioorg. Med. Chem. Lett. 21, 1502-1507 (2011).
8. Synthesis of lipophilic bisanthracene fluorophores: versatile building blocks toward the synthesis of new light-harvesting dendrimers, M. Takahashi, A. Yamamoto, T. Inuzuka, T. Sengoku, H. Yoda, Tetrahedron, 67, 9484-9490 (2011).
9. New synthetic methodology toward macrolides/macrolactams via palladium-catalyzed carbon-heteroatom bond-forming reactions, T. Sengoku, T. Hamamatsu, T. Inuzuka, M. Takahashi, H. Yoda, Synlett, 1766-1768 (2011).
10. Total synthesis and absolute stereochemistry of (+)-batzellaside B and its C8-epimer, a new class of piperidine alkaloids from the sponge Batzella sp. J. Wierzejska, M. Ohshima, T. Inuzuka, T. Sengoku, M. Takahashi, H. Yoda, Tetrahedron Lett., 52, 1173-1175 (2011).

〈学会発表〉

(国際学会)

1. "Steam Reforming of Ethanol Using Hydrogen-Permeable Membrane Reactor (S. Uemiya, H. Yoshikawa, M. Miyamoto, Y. Oumi, S. Yamaura), 10th International Conference on Catalysis in Membrane Reactors (ICCMR10), Saint-Petersburg, Russia, June 20-24, 2011.
2. Binary mixture adsorption of methanol and dimethylcarbonate on various zeolite (Y. Oumi, H. Ueda, M. Miyamoto, S. Uemiya, T. Inuzuka, T. Sano), The 5th International Federation of European Zeolite Associations Conference (FEZA2011), Valencia, Spain, July 3-7, 2011.
3. Low-lying excited state of prion protein directly linked to pathogenic conversion (Y. O. Kamatari, K. Yamaguchi, & K. Kuwata), The International Symposium on Nuclear Magnetic Resonance 2011 (ISNMR2011), Yokohama, Japan, November 15-18, 2011.
4. Cavity hydration as a gateway to unfolding: An NMR study of hen lysozyme at high pressure and low temperature (Y. O. Kamatari, L. J. Smith, C. M. Dobson, K. Akasaka), 6th International Meeting on Biomolecules under Pressure (IMBP 2011), Otsu, Japan, December 12-16, 2011.

(国内学会)

1. 日本化学会第91春季年会・ゼオライト吸着剤による水/ブタノール/アセトン系におけるブタノールの選択性吸着分離 (中村竜也・根岸英之・池上徹・榊啓二・姫野嘉之・大谷内健・近江靖則) 2011年
2. 日本化学会第91春季年会・耐有機酸性を有するゼオライト膜の合成 (松野大志・根岸英之・池上徹・榊啓二・姫野嘉之・大谷内健・近江靖則) 2011年
3. 化学工学会第43回秋季大会・各種アミノシランを用いたアミン修飾 MCM-41のCO₂吸着特性 (樋口達大・宮本学・近江靖則・余語克則・上宮成之) 2011年

4. 化学工学会第43回秋季大会・Silicalite/GaAlMFI 触媒合成プロセスがプロパン芳香族化におけるパラキシレン選択性に与える影響 (馬淵公太・宮本学・近江靖則・上宮成之)
5. 第27回ゼオライト研究発表会・Silicalite 被覆触媒のパラキシレン選択性に反応物が及ぼす影響 (馬淵公太・宮本学・廣田雄一郎・近江靖則・西山憲和・上宮成之) 2011年
6. 第27回ゼオライト研究発表会・ブタノール吸着分離におけるゼオライトの構造の影響 (近江靖則・中村竜也・根岸秀之・池上徹・榊啓二・宮本学・上宮成之) 2011年
7. 第49回日本生物物理学会年会・Cavity hydration as a gateway to unfolding: An NMR study of hen lysozyme at high pressure and low temperature (Y. O. Kamataria, K. Akasaka) 2011年
8. 第11回日本蛋白質科学会年会・SPR スクリーニングによる抗プリオン化合物探索のヒット率向上 (鎌足雄司、桑田一夫) 2011年
9. 日本化学会第91春季年会・渦鞭毛藻 *Amphidinium* sp.が産生する巨大分子の構造解析研究 (犬塚俊康・山本裕・上村大輔) 2011年
10. 第53回天然有機化合物討論会・渦鞭毛藻 *Amphidinium* sp.由来新規ポリオール化合物 amdigenol A の構造 (犬塚俊康・山本裕・上村大輔) 2011年
11. 日本化学会第90春季年会・Preyssler 型リンタンゲステン酸の酸触媒としての応用 (犬塚俊康・山本裕・山田薫・上村大輔) 2011年

3) 補助金関連採択状況

1. 平成21年度 科学研究費補助金若手研究 (A)「新規反応分離場の創製を目指した層状珪酸塩に用いたゼオライト配向膜調製法の確立」(継続)

4) その他

1. 岐阜大学生命科学総合研究支援センター公開講座 講師 (鎌足・犬塚)
2. ゼオライト学会幹事 (近江)
3. 触媒学会西日本幹事 (近江)

●編集後記

平成15年に生命科学総合実験センターとして設置されてから、早10年目を迎えました。岐阜大学第二期目標・中期計画に基づき、当センターの更なる充実が進められています。その一環として、昨年4月に人獣感染防御研究センターから大型分析機器が移管され、機器分析分野医学施設の設置されました。

また、昨年岐阜薬科大学との間で、当センター利用に関する覚書が締結され、当センターの役割も一層高まり、また両校の教育研究活動の発展が期待されています。今後、当センターは大学や地域の教育研究を支えるべく、スタッフ一同、今後も更なる努力をしていく所存でございます。センターの利用者および支援者の皆様に再度お礼を申し上げるとともに、引き続きご指導・ご支援賜りますようお願い申し上げます。

末筆ながら、本号を作成するにあたり、ご多忙中にもかかわらず多大なるご協力を頂きましたが学内外の関係者の方々に、この場をお借りしまして厚く御礼申し上げます。

平成24年 7月

編集担当 生命科学総合研究支援センター
機器分析分野
近江 靖則